

27.57

UNIVERSIDAD NACIONAL AUTONOMA DE MEXICO

FACULTAD DE CIENCIAS

MODELACION NUMERICA DE ALGUNOS  
PROCESOS VOLCANICOS.

TESIS PROFESIONAL QUE PARA OBTENER EL  
TITULO DE:

F I S I C O

PRESENTAN:

JUAN VELAZQUEZ TORRES

CELSO GARCIA LOPEZ

1987



## **UNAM – Dirección General de Bibliotecas Tesis Digitales Restricciones de uso**

### **DERECHOS RESERVADOS © PROHIBIDA SU REPRODUCCIÓN TOTAL O PARCIAL**

Todo el material contenido en esta tesis está protegido por la Ley Federal del Derecho de Autor (LFDA) de los Estados Unidos Mexicanos (México).

El uso de imágenes, fragmentos de videos, y demás material que sea objeto de protección de los derechos de autor, será exclusivamente para fines educativos e informativos y deberá citar la fuente donde la obtuvo mencionando el autor o autores. Cualquier uso distinto como el lucro, reproducción, edición o modificación, será perseguido y sancionado por el respectivo titular de los Derechos de Autor.

## INDICE GENERAL.

INTRODUCCION	.....	2
CAPITULO I		
ASPECTOS GENERALES DEL VULCANISMO EXPLOSIVO	.....	4
CAPITULO II		
CONDUCTO VOLCANICO	.....	12
CAPITULO III		
COLAPSO DE UNA COLUMNA ERUPTIVA	....	32
CAPITULO IV		
ERUPCIONES VOLCANICAS EXPLOSIVAS	....	44
CAPITULO V		
BALISTICA EXTERNA DE EXPLOSIONES VOLCANICAS	.....	61
APENDICE 1	.....	74
APENDICE 2	.....	88
APENDICE 3	.....	93
APENDICE 4	.....	94

## I N T R O D U C C I O N .

---

Muchos fenómenos de la superficie de la Tierra están relacionados con la vida interna de ésta. Ejemplos de ésto son la actividad volcánica y sismológica cuya acción siempre ha sido destructiva.

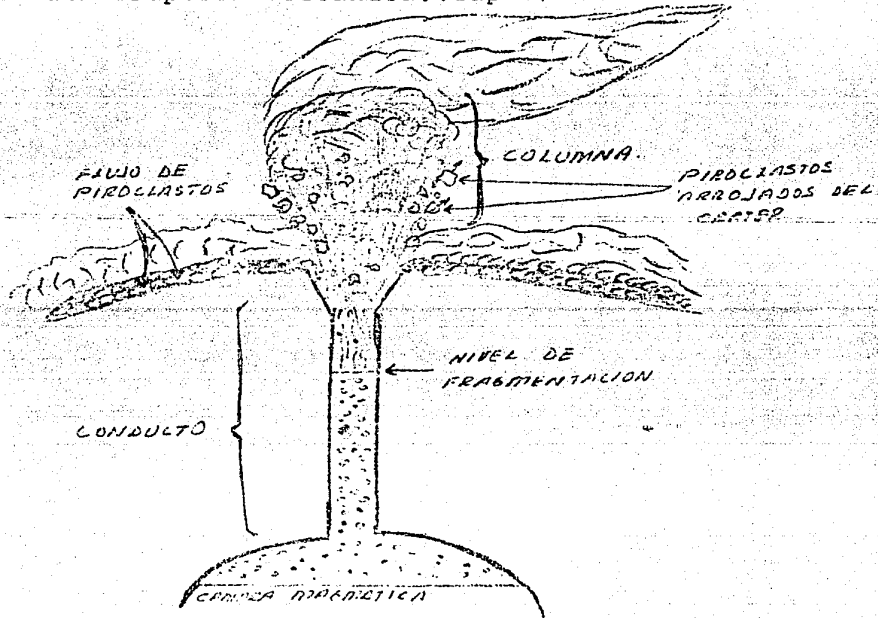
Dada la gran cantidad de volcanes existentes en nuestro país y que algunos de éstos presentan diferente grado de actividad consideramos necesario el desarrollo del presente trabajo.

Este trabajo consiste de 5 capítulos:

En el primero se explica un tipo de clasificación de las erupciones volcánicas y sus productos. El objetivo de este capítulo es familiarizar al lector con estos eventos volcánicos.

En los siguientes 4 capítulos se modelan numéricamente cuatro tipos de procesos volcánicos que son:

- 1) El flujo de magma en un conducto volcánico. (Cap. II)
- 2) El desplazamiento de los flujos piroclásticos en las laderas de un volcán. (Cap III)
- 3) La dinámica de la parte inferior de una columna eruptiva. (Cap IV)
- 4) El movimiento de los fragmentos que son arrojados desde el cráter en una erupción volcánica. (Cap V)



Para los modelos 1 y 4 se utilizó el método de Runge-Kutta y para los demás el método de diferencias finitas.

Cada capítulo contiene:

- a) Desarrollo matemático.
- b) Discretización de las ecuaciones.
- c) Desarrollo y uso del programa de computación.
- d) Resultados.

En el apéndice 1 se encuentran los programas usados en cada uno de los 4 últimos capítulos.

En el apéndice 2 de este trabajo se muestran una serie de tablas sobre productos volcánicos.

En el apéndice 3 se da la explicación sobre el uso general del sistema de computación propio de este trabajo.

En el apéndice 4 se muestra la forma de resolver la ecuación 15 del capítulo II.

La idea básica de esta tesis es iniciar una biblioteca de programas que sirvan para resolver problemas afines al volcánismo ya que actualmente en nuestro país no se cuenta con una infraestructura necesaria en esta área.

## Capítulo I.

### ASPECTOS GENERALES DEL VULCANISMO EXPLOSIVO.

#### Erupciones explosivas.

Las erupciones volcánicas presentan un grado variable de peligrosidad. De entre ellas, las de tipo explosivo son las que presentan mayor riesgo. En este trabajo trataremos la modelación numérica de algunos de los procesos característicos de estos tipos de erupciones.

En este capítulo se hará una exposición general sobre el fenómeno volcánico y sus productos, especialmente de las erupciones de tipo explosivo, como base para la discusión posterior sobre la modelación numérica de algunos de los procesos implicados en estos tipos de erupciones.

La viscosidad y el contenido de gases de un magma juegan un papel importante en la explosividad de una erupción. Anteriormente la clasificación de los diferentes tipos de erupciones fue principalmente descriptiva y sujeta a ambigüedad y controversia; con los estudios recientes (de unos 15 años a la fecha) de los productos volcánicos, se ha logrado una cierta unificación en la terminología empleada, pero persiste aún cierta ambigüedad y ésta sólo se ha reducido en lo que respecta a los productos depositados por las diferentes erupciones. A continuación presentaremos las clasificaciones usuales para los diferentes tipos de erupciones volcánicas, aunque debe aclararse que éstas están en continua revisión. A este respecto debe tenerse en cuenta las palabras de William y Mc Birney (1979): "una clasificación rígida de las erupciones es imposible". Basicamente las erupciones han sido clasificadas de acuerdo con su semejanza a erupciones ocurridas en algunos volcanes muy conocidos. De acuerdo a este esquema se tienen los siguientes tipos de erupciones:

#### Islándico.

Este tipo de actividad se caracteriza por la rápida expulsión, a través de una fisura, de grandes flujos de lava basáltica que se desplazan fácilmente formando a su paso anchos planos horizontales de lava. En algunas ocasiones, al final de la erupción, se forma a lo largo de la fisura una cadena de pequeños conos.

#### Hawaiano.

El tipo hawaiano se caracteriza por la emisión lenta de lava líquida caliente poco viscosa. No hay escape explosivo de gases ni efusión de materiales sólidos. El magma basáltico es arrojado como en el caso Islándico, pero la actividad es más intensa. Algunas veces, las erupciones comienzan formando una cortina de fuego de lava espumosa sobre de las fisuras, pero en cuestión de horas o días la mayoría de las fisuras se cierran de modo que la erupción continúa sólo a través de puntos aislados. Ese tipo de erupción abunda en las islas de Hawái; el más conocido es el volcán Mauna-Loa, con una altura de 4168

m; también es de este tipo el volcán Nirogongo en el Congo.

#### Estromboliano.

Este tipo de erupción se caracteriza por expulsión de lava aunque no tan fluida como la del tipo hawaiano y explosiones de baja intensidad. Ocurre expulsión de gases y material sólido. Las erupciones estrombolianas, que toman su nombre del volcán Estromboli en las Islas Lipari, se caracterizan por la formación de una nube blanca de vapor emitida por el cráter. Sus depósitos volcánicos consisten de lava y piroclastos alterados.

Tanto las erupciones hawaianas como las estrombolianas tienen un bajo grado de peligrosidad por lo que muchos vulcanólogos han tenido la oportunidad de observarlas desde lugares próximos a la erupción y han podido realizar buenas estimaciones sobre variables tales como tamaño del cráter, velocidad de salida, temperatura y viscosidad del magma y contenido de gases.

Las observaciones directas del evento proporcionan información de gran interés para aclarar y entender mejor los mecanismos de erupción.

#### Vulcaniano.

El tipo vulcaniano, cuyo nombre proviene del volcán Vulcano de las Islas Lipari, se caracteriza por explosiones muy violentas, con proyección a gran altura de cenizas, escoria y bombas volcánicas. La lava es muy viscosa y antes de fluir por las laderas del cono volcánico se solidifica tapando el cráter e impidiendo la salida de los gases; la acumulación de éstos provoca una explosión. Esto produce mucha ceniza volcánica y los gases se elevan verticalmente, desde el cráter, formándose una nube densa obscura y en forma de coliflor.

#### Vesubiano.

Las erupciones de este tipo son más violentas que las vulcanianas; en ellas una nube de ceniza es arrojada a gran altura y dispersada sobre una gran área. Esta nube es incandescente y luminosa en la noche. El volcán Vesubio de Italia, es un ejemplo de este tipo de erupción.

#### Pliniano.

Este tipo de erupción es mucho más violenta que las de tipo vesubiano y produce una columna de varios kilómetros de altura. La cantidad de ceniza producida es suficiente como para sepultar una superficie como de 5000 Km<sup>2</sup>, tal como aconteció en la erupción del Vesubio en 79 D.C. Las erupciones se conocen con este nombre después de que Plinio El Mayor murió mientras investigaba la erupción del Vesuvio en 79 D.C.

#### Peleano.

Erupciones caracterizadas por explosiones de gran violencia expulsión de magma muy viscoso y por la formación de nubes ardientes compuestas por fragmentos sólidos y gases a elevadas temperaturas. El volcán más característico de este tipo

es el Monte Pelée de la isla Martinica; otro volcán de este tipo muy conocido es el Merapí de la isla de Java.

Dada la extrema violencia de las erupciones plinianas y pélitas, la probabilidad de observar una de ellas es prácticamente nula. Por lo tanto, para el entendimiento de estos eventos explosivos se debe de confiar en el estudio de los productos piroclásticos, producidos durante el evento y en otras evidencias indirectas obtenidas con otros métodos.

#### Variables vulcanológicas.

En un esfuerzo por caracterizar las erupciones volcánicas, Walker y colaboradores (1981) han definido una serie de variables de gran interés para estudios volcánicos. Estas variables son: la magnitud, la intensidad, el poder dispersivo, la violencia y el potencial destructivo.

La magnitud se refiere a la cantidad total de material (lava o roca) emitido o de energía liberada por la erupción.

La intensidad se refiere a la razón de liberación de material o energía.

El poder dispersivo se refiere a la extensión sobre la cual los materiales arrojados son dispersados.

La violencia se refiere a la cantidad de movimiento del flujo piroclástico producto de la erupción.

El potencial destructivo se refiere a la extensión de la devastación causada por la erupción. Esta tiende a aumentar cuando aumenta la magnitud.

Todos estos parámetros son de gran utilidad en la descripción de cada uno de los tipos de erupciones mencionados anteriormente.

#### Productos volcánicos.

##### Emissions gaseosas.

Los gases son los primeros productos volcánicos que alcanzan la superficie y de hecho, predominan en las etapas iniciales de la erupción. Su emisión puede prolongarse, pero en una forma no violenta, una vez terminada la actividad efusiva.

Es importante conocer en cada caso el origen de los volátiles, ya que se han planteado serias dudas sobre su carácter magmático. Hasta hace pocos años sólo se había estudiado la composición de los gases emitidos en emanaciones post o interparoxísticas, ya que es difícil recoger muestras de gases emitidos en una fase explosiva o muy próximos a un volcán activo. Por esta razón es importante distinguir los volátiles emitidos a gran presión y temperatura, generalmente asociados a eventos explosivos, del resto de las emanaciones que se manifiestan en períodos de inactividad efusiva o incluso en épocas de actividad, pero alejados de las bocas eruptivas. En estos últimos parece indudable la influencia de gases atmosféricos y de elementos contaminantes procedentes de aguas subterráneas o rocas corticales.

En las emanaciones no relacionadas con bocas eruptivas, el vapor de agua constituye más del 90% del volumen del gas emitido mientras que en los gases procedentes de bocas eruptivas el agua no alcanza el 50%.

Además del vapor de agua el resto de los volátiles varía con la temperatura de salida. Cuando la temperatura es muy elevada (500-1200°C) los componentes principales son: ClH, SO<sub>3</sub>, CO<sub>2</sub>, H<sub>2</sub>SH<sub>2</sub>, FH, N<sub>2</sub>. Entre 100 y 500°C predominan: SO<sub>2</sub>, SH<sub>2</sub>, CO<sub>2</sub>, N<sub>2</sub> y H<sub>2</sub>, mientras que por debajo de los 60°C el principal componente es CO<sub>2</sub>.

Entre los numerosos tipos de emanaciones relacionadas con el volcanismo destacan por su frecuencia las sulfatargas de alta temperatura (100-300°C), se caracterizan por su elevado contenido en SO<sub>2</sub>, el cual al contacto con la atmósfera forma cristales de azufre.

Las emanaciones que no contienen una proporción elevada de gases sulfurosos se denominan genéricamente fumarolas y presentan una amplia variedad en cuanto a localización, composición y temperatura, recibiendo denominaciones locales tales como mofetas (ricas en CO<sub>2</sub>), soffonis, ausoles, etc. Los volátiles constituyen, sin duda, una de las facetas más importantes del vulcanismo y su influencia debió ser mucho mayor en las primeras etapas de desgasificación del planeta, siendo en parte responsables de la constitución de nuestra atmósfera e hidrosfera. Aún en las erupciones actuales, el volumen de gases emitido es generalmente muy superior al de la fracción líquida; sin embargo, el estudio detallado de las fases volátiles se ve dificultado por el carácter fugitivo de los mismos y la imposibilidad de medir en cada caso su volumen, presión, temperatura, etc.

Los volátiles son el principal vehículo de transporte hacia la superficie de la energía almacenada en el magma y condiciona en gran medida su presión y viscosidad, determinando la explosividad de las erupciones. Los magmas poco viscosos permiten una fácil separación de los elementos volátiles al disminuir la presión hidrostática durante el ascenso del magma. La presión de salida de los gases depende también en parte de la relación entre su volumen y las dimensiones de la boca eruptiva. Aunque la fase volátil es más ligera que el resto de los materiales magnéticos, se mueve con mayor facilidad que éstos, escapando a través de pequeñas fisuras y realizando a veces un complejo recorrido. Por este motivo la actividad fumarólica, suele ser muy intensa en las cercanías del volcán en los períodos de mayor efusión lávica.

#### Lava.

El carácter de la actividad volcánica y las particularidades morfológicas y estructurales de las construcciones volcánicas que surgen como resultado de ésta, dependen de muchos factores. Uno de los principales es la composición del material magnético arrojado. Con relación a la composición química y la acidez del magma, la relación entre las manifestaciones efusivas y explosivas del volcanismo varía bruscamente. Durante las erupciones de magma basáltico dominan las erupciones de lava, mientras que durante las erupciones de magma de composición ácida predominan los productos de actividad explosiva. Esto se explica por existir en el magma de composición ácida un contenido inicial muy elevado de componentes volátiles, cuya separación impetuosa de la masa fundida al disminuir la presión, comunica a sus erupciones un carácter explosivo.

Las lavas de diferente composición se distinguen primordial-

mente por su viscosidad y fluidez. Como regla general las lavas básicas de basalto a temperaturas de más de 1200 C son de menor viscosidad que las basálticas y por lo tanto de movilidad superior. Las lavas de composición media, andesitas, son de menor movilidad y las ácidas son de máxima viscosidad y de movilidad mínima. Mientras que las lavas básicas basálticas y andesito-basálticas pueden formar coladas de 100 Km o más de longitud, las lavas más viscosas de composición neutra forman generalmente coladas cuya longitud es de sólo unas decenas de Km. La longitud de las coladas ácidas más viscosas no excede de algunos Km.

#### Piroclastos de proyección aérea.

---

Cuando escapan los gases durante una erupción volcánica arrastran en su salida materiales fundidos y sólidos fragmentados que caen posteriormente en forma de lluvia, después de haberse enfriado total o parcialmente en el aire. El transporte de estos materiales fragmentarios es siempre rápido y conservan generalmente su forma, dimensión y mineralogía iniciales. Todos estos piroclastos de proyección aérea reciben el nombre genérico de tefra y se clasifican según su tamaño en bombas, lapillis y cenizas, aunque esta tabulación dimensional no responde a medidas estrictas. Otra nomenclatura incluye los términos escoria, cinder, arena, etc. El predominio de alguno de estos tipos de piroclastos depende del carácter de la erupción, composición del magma, viscosidad, explosividad, etc.

Las bombas adquieren sus formas subredondeadas o de huso al girar durante su trayectoria, aplastándose ligeramente al caer, miden entre 3 y 30 cm., aunque se han encontrado ejemplos de varios metros de diámetro y algunas toneladas de peso. La superficie de la bomba se enfriaba antes que el núcleo, por lo que al contraerse este último se forman unas grietas en la parte externa de la bomba, que recuerdan la corteza del pan.

Las formas regulares las presenta una pequeña parte de los fragmentos expulsados, ya sea porque su trayectoria sea corta o bien porque su contenido en volátiles sea muy elevado.

Al material piroclástico o vesicular, que no puede clasificarse como bombas por su forma irregular, se le agrupa generalmente bajo el término de escoria.

Algunos fragmentos son lanzados en estado sólido y se caracterizan por su geometría angulosa, se denominan bloques y están constituidos casi siempre por materiales arrancados del conducto volcánico.

Los fragmentos piroclásticos cuyo tamaño está comprendido entre 3 y 30 mm se denominan lapillis, término que se restringe más específicamente a piroclastos finos de composición basáltica, llamándose pómex a los de composición ácida de cualquier tamaño, de color claro, muy porosos y ligeros. La porosidad se debe a una intensa vesiculación, quedando los huecos separados por ligeras membranas vítreas; a ésto se debe el que la pómex y los lapillis muy ligeros floten en el agua.

Las formas del lapilli dan lugar a nuevas denominaciones, conociéndose como cabellos de Pelé finamente aciculares (en forma de agujas) y lágrimas de Pelé a los goterones vítreos.

Las cenizas y arenas son fragmentos pulverizados, esencialmente vitreos, que por su poco peso se mantienen en suspensión durante mucho tiempo y son arrastrados largas distancias por corrientes de aire. Este material extraordinariamente fino, forma "pisolitos" o gotas de lluvia cuando se concentra en torno a núcleos húmedos y rueda adquiriendo forma esferoidal.

El nombre de cinder se aplica preferentemente a los depósitos en los que predominan las escorias sueltas y lapilli. Estos materiales suelen acumularse en las proximidades de las bocas eruptivas, constituyendo el cono volcánico.

En los depósitos de tefra existe una cierta selección granulométrica, puesto que los fragmentos más pesados son los primeros que caen y ocupan la base del depósito cuyo techo está formado por una capa de piroclastos más finos. Esta disposición permite distinguir los piroclastos originados en diferentes fases explosivas cuyos productos se depositan en capas sucesivas, dando lugar a una estratificación que tiende a la horizontalidad. La continuidad y gran extensión de estas placas de tefra permite en algunos casos utilizarlas como niveles guía de gran valor estratigráfico y cronológico. En el mecanismo de estos depósitos interviene además el medio de transporte encontrándose a veces una estratificación cruzada de origen edílico o marino. Por otra parte, cuando el material piroclástico acumulado no se ha consolidado es fácilmente removible y se forman depósitos volcánico-sedimentarios lejos del emplazamiento original.

Cuando los piroclastos son masivos y tienen elevadas temperaturas pueden soldarse, adquiriendo gran consistencia. Este fenómeno de compactación puede desarrollarse en un proceso posterior al circular fluidos y formarse un cemento que consolida el depósito; estos depósitos soldados reciben el nombre de "tobas". Si predominan los cantos angulosos heterogéneos se denominan brechas volcánicas, reservándose el término de aglomerado volcánico para las acumulaciones de bombas y lapilli.

#### Mecanismos de transporte.

---

Después del estudio de los productos volcánicos, la siguiente tarea es identificar la forma en la cual el material piroclástico fue transportado desde el cráter y depositado en el lugar en donde ahora es visto.

Existen tres mecanismos principales de transportación: a) material de caída libre, b) flujo de piroclastos, c) oleada. En el primero, los piroclastos caen a través del aire (y algunas veces a través del agua) desde el penacho eruptivo para acumularse como depósitos de caída, moviéndose sobre las laderas del volcán, debido a alguna combinación de viento violento, expansión lateral en el penacho eruptivo y la velocidad de expulsión de dichos piroclastos. En el segundo los piroclastos se mueven sobre el terreno como un flujo concentrado de partículas caliente (llamado flujo de cenizas, o flujo piroclástico en el sentido estricto), con una mayor proporción de partículas. En el tercero los piroclastos son transportados lateralmente, mezclados en un gas turbulento como un flujo de partículas diluido con baja proporción de partículas a gas.

Los depósitos formados por cada uno de estos mecanismos de

transporte poseen características que permiten distinguir a unos de otros. Es necesario aclarar, sin embargo, que no existe un sistema único de clasificación para depósitos piroclásticos.

R E F E R E N C I A S .

=====

- Wright, J.V., Smith A.L. and Self S., 1980. A TERMINOLOGY FOR PIROCLASTIC DEPOSITS. *J. Volcano & Geotherm Res.*, in press. p. 457-463 .
- Belousov, V. 1979. GEOLOGIA ESTRUCTURAL. Editorial Mir-Moscow
- Moore, J.G. ,1967 BASE SURGE IN RECENT VOLCANIC ERUPTIONS.  
U.S. Geological Survey, Menlo Park, California, Bu 11.  
*Volcano* 1, 30, p. 337-363 .
- Wilson, C.J.N. and Walker G.P.L. 1981. VIOLENCE IN PYROCLASTIC FLOW ERUPTION. TEFRA STUDIES p. 441-448 .
- Walker, G.P.L. 1981. VOLCANOLOGICAL APPLICATIONS AND VOLCANIC HAZARD RESEARCH. Departament of Geology p. 391-403.
- Araña, S.V. y López R.J. ,1976. VOLCANISMO,  
DINAMICA Y PETROLOGIA DE SUS PRODUCTOS. Ediciones Istmo p. 13-96 .
- Oliver, C. 1972 . VOLCANOES. The MIT Press p. 7-34
- Weast, R.C. ,Selby, S. and Hodgman, C.D. ,1962  
HANDBOOK OF CHEMISTRY AND PHYSICS. The chemical Rubber Co.

## Capítulo II.

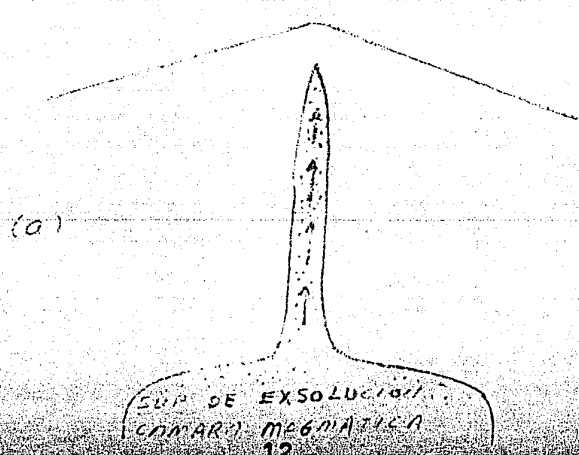
### CONDUCTO VOLCANICO.

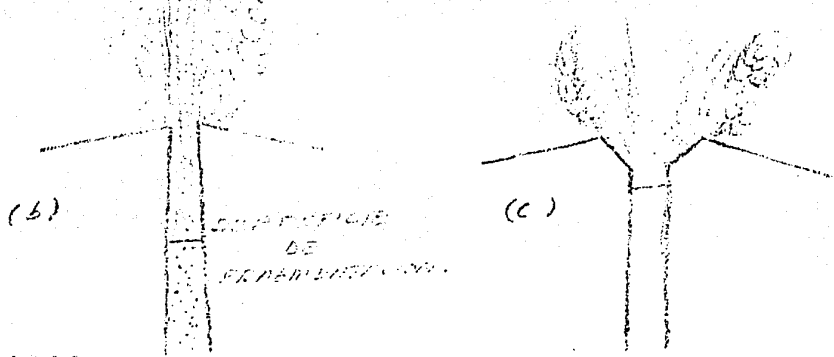
#### R E S U M E N .

En este capítulo se presenta el modelo físico-matemático que simula el flujo de magma en un conducto volcánico. El modelo se basa esencialmente en los trabajos de Wilson y colaboradores (1980) que utilizan la ecuación de Bernoulli con términos de fricción. Haciendo uso de esta ecuación, la ley de los gases perfectos y una relación de densidades, se deducen las ecuaciones para obtener la variación de la velocidad y de la presión con la profundidad. Se presentan también resultados numéricos para algunos casos de interés que muestran como pueden determinarse velocidades y presiones de salida a partir de las fracciones por peso de agua y la geometría del conducto volcánico.

#### I N T R O D U C C I O N .

Estudios sobre los procesos volcánicos han demostrado que las condiciones en el cráter determinan el estilo de la actividad. En particular, el radio del cráter, la composición y contenido del gas, la velocidad del gas y el grado de fragmentación son factores importantes en la determinación de la altura de la columna eruptiva. En este capítulo se examina la influencia del contenido de volátiles, la viscosidad del magma y la forma del conducto sobre las velocidades y presiones de salida del magma. Aunque el modelo presentado utiliza las propiedades físicas de la riolita, por ser el tipo más común de magma de alta viscosidad, puede aplicarse a cualquier otro tipo de magma de alta viscosidad. Para la obtención de las soluciones se hicieron una serie de suposiciones que a continuación se mencionan. La figura 1 muestra la geometría del problema.





En la figura se muestra una cámara magmática localizada bajo la superficie. La erupción se inicia por la formación de una fractura (fig 1a) que conecta el magma con la superficie (fig 1b). En la figura 1c la erupción ha avanzado originando un ensanchamiento en el cráter debido a la erosión. Para los cálculos se considera una fractura con sección circular. La región de movimiento de material eruptivo se ha dividido en tres zonas: una zona inferior donde la presión es muy alta y todos los volátiles están completamente disueltos en el magma líquido; una zona media donde la presión es menor, aquí puede ocurrir alguna exsolución de volátiles. En esta parte el magma está constituido por líquido y burbujas de gas. Finalmente una zona superior donde la presión es muy baja y el magma ha llegado a separarse en una mezcla de piroclastos y gas liberado. La frontera entre las zonas inferior y media se conoce con el nombre de superficie de exsolución y la frontera entre las zonas media y superior recibe el nombre de superficie de fragmentación.

Se supone también que el flujo hacia la superficie es un proceso estacionario, que en la cámara magmática y en la parte más baja del conducto la presión es cercana a la litostática y por último que el contacto térmico entre líquidos, piroclastos y gas es suficientemente bueno como para asignar una misma temperatura a la mezcla. (\*)

(\*) Mayor información sobre el modelo puede encontrarse en Wilson, Sparks y Walker (1980).

## T E O R I A .

---

Para comenzar se hará mención de todas las variables involucradas en el modelo:

- h: coordenada espacial vertical.
- u: velocidad del flujo.
- P: presión en el fluido.
- $\rho$ : densidad de la mezcla.
- $\sigma$ : densidad del gas.
- r: radio del conducto.
- f: factor de fricción.
- n: fracción por peso del magma consistente de gases.
- R: constante gaseosa para el gas exsueltos.
- $\sigma_l$ : densidad de la fase líquida
- T: temperatura absoluta de la mezcla.
- g: aceleración de la gravedad.

Las ecuaciones básicas son:

$$-\frac{dP}{\rho} = g dh + \rho u du + \frac{f u^2}{4r} dh \quad \dots \dots \dots (1)$$

que expresa la conservación de la energía y,

$$\dot{m} = \rho u \pi r^2 \quad \dots \dots \dots (2)$$

que es la ecuación de continuidad.

El último término de la ecuación (1) representa las pérdidas por fricción y  $\dot{m}$  en la ecuación (2) es el cambio de masa con respecto al tiempo.

La ecuación (2) se arreglará de la siguiente forma. Tomando logaritmos a ambos lados y diferenciando;

$$\dot{m} = \rho u \pi r^2$$

$$\ln \dot{m} = \ln (\rho u \pi r^2) = \ln \rho + \ln u + 2 \ln \pi r$$

$$\ln \dot{m} = \ln \rho + \ln u + \ln \pi r + 2 \ln r$$

$$(\ln \dot{m})' = \frac{d\rho}{\rho} + \frac{du}{u} + \frac{2dr}{r}$$

como  $d\ln = 0$

$$\frac{d\rho}{\rho} + \frac{du}{u} + \frac{2dr}{r} = 0 \quad \dots \dots \dots (3)$$

La ley de los gases perfectos es una aproximación adecuada para el comportamiento del agua y dióxido de carbono, bajo las condiciones encontradas en las erupciones explosivas, así la ecuación de estado para el gas es:

$$P = \sigma RT \quad \dots \dots \dots (4)$$

y la relación entre las densidades de la mezcla, líquido y gases;

$$\frac{1}{\rho} = \frac{n}{\sigma} + \frac{(1-n)}{\sigma_r} \quad \dots \dots \dots \quad (5)$$

Las ecuaciones (1), (2), (3), (4) y (5) se combinarán para obtener las ecuaciones que serán resueltas finalmente para determinar la forma en que la presión y la velocidad del flujo cambian con la profundidad.

Antes que nada demostraremos que :

$$\frac{dP}{ds} = \frac{RT}{n} \left( n + \frac{(1-n)P}{\sigma_r RT} \right)^2 = u_c^2; \quad u_c = \sqrt{\frac{RT}{n}} \left( n + \frac{(1-n)P}{\sigma_r RT} \right)$$

De (5).

$$\frac{1}{\rho} - \frac{(1-n)}{\sigma_r} = \frac{n}{\sigma} \Rightarrow \frac{\sigma_r - \rho(1-n)}{\rho \sigma_r} = \frac{n}{\sigma}$$

$$\frac{n \rho \sigma_r}{\sigma_r - \rho(1-n)} = \sigma \quad \dots \dots \dots \quad (5')$$

sustituyendo en (4)

$$P = \frac{n \rho T \sigma_r \rho}{\sigma_r - (1-n)\rho} \quad \dots \dots \dots \quad (4')$$

diferenciando (4') respecto a  $\rho$ ,

$$\begin{aligned} \frac{dP}{d\rho} &= \frac{(\sigma_r - (1-n)\rho)n \rho T \sigma_r + n \rho T \sigma_r \rho(1-n)}{(\sigma_r - (1-n)\rho)^2} \\ &= \frac{\sigma_r^2 n \rho T - (1-n)\rho n \rho T \sigma_r + (1-n)\rho n \rho T \sigma_r}{(\sigma_r - (1-n)\rho)^2} \\ &= \frac{\sigma_r^2 n \rho T}{(\sigma_r - (1-n)\rho)^2} \\ &= \frac{RT}{n} \frac{\sigma_r^2 n^2}{(\sigma_r - (1-n)\rho)^2} \\ &= \frac{RT}{n} \left( \frac{\sigma_r n}{\sigma_r - (1-n)\rho} \right)^2 \\ &= \frac{RT}{n} \left( \frac{n \sigma_r - n \rho(1-n) + n \rho(1-n)}{\sigma_r - \rho(1-n)} \right)^2 \\ &= \frac{RT}{n} \left( \frac{n(\sigma_r - \rho(1-n)) + n \rho(1-n)}{\sigma_r - \rho(1-n)} \right)^2 \\ &= \frac{RT}{n} \left( n + \frac{n \rho(1-n) \sigma_r RT}{\sigma_r \rho(1-n) \sigma_r RT} \right)^2 \\ &= \frac{RT}{n} \left( n + \frac{(1-n)}{\sigma_r RT} \frac{n \sigma_r RT \rho}{\sigma_r - \rho(1-n)} \right)^2 = \left( \frac{RT}{n} n + \frac{(1-n)}{\sigma_r RT} P \right)^2 \end{aligned}$$

$$\frac{dp}{ds} = u^2 \cos \theta = \sqrt{\frac{RT}{n}} \left( n + \frac{(1-n)P}{\sigma r RT} \right) \quad (6)$$

de (3)

$$\frac{du}{dh} = u \left( -\frac{2}{r} \frac{dr}{dh} - \frac{1}{r} \frac{dp}{dh} \right)$$

de (1)

$$\frac{du}{dh} = \frac{1}{u} \left( -\frac{1}{P} \frac{dp}{dh} - g - \frac{fu^2}{4r} \right)$$

por tanto

$$\frac{1}{u} \left( -\frac{1}{P} \frac{dp}{dh} - g - \frac{fu^2}{4r} \right) = u \left( -\frac{2}{r} \frac{dr}{dh} - \frac{1}{P} \frac{dp}{dh} \right)$$

$$\frac{1}{P} \frac{dp}{dh} + g + \frac{fu^2}{4r} = 2 \frac{u^2 dr}{r dh} + \frac{u^2 dp}{P dh}$$

$$\frac{1}{P} \frac{dp}{dh} - \frac{u^2 dp}{P dh} = 2 \frac{u^2 dr}{r dh} - g - \frac{fu^2}{4r}$$

pero como

$$\frac{dp}{ds} = u^2 \Rightarrow dp = u^2 ds \Rightarrow \frac{dp}{dh} = u^2 \frac{dp}{ds}$$

entonces

$$\frac{1}{P} \frac{dp}{dh} - \frac{u^2}{P} \frac{1}{u^2} \frac{dp}{ds} = 2 \frac{u^2 dr}{r dh} - g - f \frac{dp}{dh}$$

$$\frac{1}{P} \left( 1 - \frac{u^2}{u^2} \right) \frac{dp}{dh} = 2 \frac{u^2 dr}{r dh} - g - f \frac{u^2}{4r}$$

Nuevamente de (1) y (3)

$$\frac{1}{P} = \frac{nRT}{P} + \frac{(1-n)}{\sigma r}$$

Por tanto

$$\left( \frac{nRT}{P} + \frac{(1-n)}{\sigma r} \right) \left( 1 - \frac{u^2}{u^2} \right) \frac{dp}{dh} = 2 \frac{u^2 dr}{r dh} - g - f \frac{u^2}{4r}$$

$$\left( 1 - \frac{u^2}{u^2} \right) \left( \frac{nRT}{P} + \frac{(1-n)}{\sigma r} \right) \frac{dp}{dh} = 2 \frac{u^2 dr}{r dh} - g - f \frac{u^2}{4r} \quad (7)$$

Por otro lado, de (1)

$$-\frac{1}{P} \frac{dp}{dh} = g + f \frac{u^2}{4r} + f \frac{u^2}{4r}$$

$$-\frac{u}{P} \frac{dp}{dh} = \left( g + f \frac{u^2}{4r} \right) u + u^2 \frac{du}{dh}$$

Dividiendo (6)

$$-\frac{u}{\rho} u_c^2 \frac{dp}{dh} = \left( g + f \frac{u^2}{4r} \right) u + u^2 \frac{du}{dh}$$

$$-\frac{u}{\rho} \frac{dp}{dh} = \left( g + f \frac{u^2}{4r} \right) \frac{u}{u_c^2} + \frac{u^2}{u_c^2} \frac{du}{dh}$$

De (3)

$$-\frac{1}{\rho} \frac{dp}{dh} = \frac{1}{u} \frac{du}{dh} + \frac{2}{r} \frac{dr}{dh}$$

$$-\frac{u}{\rho} \frac{dp}{dh} = \frac{du}{dh} + \frac{2u}{r} \frac{dr}{dh}$$

por tanto:

$$\frac{du}{dh} + 2 \frac{u}{r} \frac{dr}{dh} = \left( f \frac{u^2}{4r} + g \right) \frac{u}{u_c^2} + \frac{u^2}{u_c^2} \frac{du}{dh}$$

$$\frac{du}{dh} - \frac{u^2}{u_c^2} \frac{du}{dh} = \left( f \frac{u^2}{4r} + g \right) \frac{u}{u_c^2} - 2 \frac{u}{r} \frac{dr}{dh}$$

$$\left( 1 - \frac{u^2}{u_c^2} \right) \frac{du}{dh} = \left( f \frac{u^2}{4r} + g \right) \frac{u}{u_c^2} - 2 \frac{u}{r} \frac{dr}{dh} \quad \dots (8)$$

Las ecuaciones (7) y (8) representan la solución al problema planteado en este capítulo y se resolverán numéricamente utilizando el método de Runge-Kutta.

Antes de pasar al desarrollo numérico de las ecuaciones (7) y (8) es necesario hacer algunas consideraciones sobre el factor de fricción y la relación entre las variables n, P y la profundidad.

#### i) Fricción en las paredes.

El número de Reynolds, Re, para un flujo en un conducto es definido como:

$$Re = \frac{\pi r \rho u}{\eta}$$

donde  $\eta$  la viscosidad del fluido tiene un fuerte cambio en la vecindad del nivel de fragmentación del magma. Antes de la superficie de fragmentación, la viscosidad corresponde a la de la fase líquida y es del orden de  $10^4$  a  $10^5$  Pa seg para riolita; después de la fragmentación corresponde la de la fase gaseosa que es alrededor de  $2 \times 10^{-5}$  Pa seg.

Antes de la fragmentación del magma, el alto valor de la viscosidad del líquido lleva a un flujo con bajo número de Reynolds y alto valor del factor de fricción f. Por el contrario, después de la fragmentación, la baja viscosidad del gas conduce a un flujo con alto número de Reynolds y bajo valor del factor de fricción f.

La expresión general para f, según Wilson (1980), que se toma aquí es la siguiente:

$$f = \frac{64}{Re} + f_0 \quad \dots \dots \dots (9)$$

con  $f_0 = 0.01$ ; sustituyendo la expresión para Re, la ecuación (9) resulta:

$$f = \frac{324}{\gamma P} + f_0 \quad \dots \dots \dots (10)$$

ii) Relación entre  $n, P$ , y la profundidad.

Considere un magma cuyo principal componente volátil es agua. Sea  $n'$  la fracción por peso de agua total.

La solubilidad del agua en riolita esta dada por :

$$n_d = S \sqrt{P} \quad \dots \dots \dots (11)$$

donde  $n_d$  es la fracción por peso disuelta a la presión  $P$  y la constante  $S$  es igual a  $4.1 \times 10^{-6}$  mN% (i.e.  $s=0.0013$  si  $P$  esta expresado en bars).

A profundidades muy grandes  $n_d$  es mayor que  $n'$  de modo que toda el agua permanece en solución. Cuando  $n_d$  es igual a  $n'$  comienza la exsolución del gas. Si se denota por  $D_e$  la profundidad a la cual sucede ésto y la presión se toma como la litostática, se tiene:

$$\sigma_{cr} g D_e = \left(\frac{n'}{s}\right)^2 - P_s^2 \quad \dots \dots \dots (12)$$

donde  $\sigma_{cr}$  es la densidad de las rocas de la corteza y  $P_s$  es la presión en la superficie de la Tierra.

A profundidades entre  $D_e$  y la superficie de fragmentación, la fracción de gas exsueltos  $n$ , es igual a  $n' - n_d$ , es decir;

$$n = n' - n_d \quad \dots \dots \dots (13)$$

Mediante el análisis de pímez de muchas erupciones se ha observado que el magma se fragmenta cuando la fracción de volumen ocupado por el gas,  $X$ , se aproxima a 0.77. Es fácil mostrar que  $X$  y  $n$  están relacionados por la siguiente ecuación:

$$\left(\frac{n}{1-n}\right) = \left(\frac{X}{1-X}\right) \frac{P}{RT} \frac{1}{\sigma_r} \quad \dots \dots \dots (14)$$

de tal forma que al nivel donde la fragmentación ocurre, se tiene:

$$X' = S \sqrt{P_f} + \frac{\left(\frac{X}{1-X}\right) \frac{P_f}{RT}}{\sigma_r + \left(\frac{X}{1-X}\right) \frac{P_f}{RT}} \quad \dots \dots \dots (15)$$

En el apéndice 4 de este trabajo se muestra la forma de resolver la ecuación (15).

La presión en la superficie de fragmentación puede ser menor que la presión litostática local por una cantidad igual al esfuerzo crítico de las paredes del conducto, cuyo valor varía de 0 a 300 bars, de modo que,

$P_{lf} = P_f + \text{esfuerzo de tensión} \dots \dots \dots (16)$   
y la profundidad de fragmentación estará dada por :

$$\sigma_{cr} g D_f = P_{lf} - P_s \quad \dots \dots \dots (17)$$

SOLUCION NUMERICA.

Se muestra ahora, la forma en que serán resueltas las ecuaciones (7) y (8).

$$\left(1 - \frac{u^2}{u_c^2}\right) \frac{du}{dh} = \left(\frac{u^2 f}{4r} + g\right) \frac{u}{u_c^2} - 2 \frac{u}{r} \frac{dr}{dh} \quad \dots \dots (7)$$

$$\left(1 - \frac{u^2}{u_c^2}\right) \left(\frac{NRT}{P} + \frac{(1-n)}{Or}\right) \frac{dp}{dh} = 2 \frac{u^2}{r} \frac{dr}{dh} - g - \frac{fu^2}{4r} \quad \dots \dots (8)$$

despejando  $du/dh$  de (7), se obtiene

$$\frac{du}{dh} = \frac{u_c^2}{u_c^2 - u^2} \left( \left( \frac{u^2 f}{4r} + g \right) \frac{u}{u_c^2} - 2 \frac{u}{r} \frac{dr}{dh} \right)$$

$$\frac{du}{dh} = \frac{2}{u_c^2 - u^2} \left( \left( \frac{u^2 f}{4r} + g \right) u - 2 u_c^2 \frac{u}{r} \frac{dr}{dh} \right),$$

$$\frac{du}{dh} = \frac{\left( f/4r \right) u^3 + \left( g - \frac{2u_c^2}{r} \frac{dr}{dh} \right) u}{u_c^2 - u^2} \quad \dots \dots (7a)$$

Para la ecuación (8) hay que considerar lo siguiente:

$$\frac{NRT}{P} + \frac{(1-n)}{Or} = \frac{RT}{P} \left( 1 + \frac{(1-n)}{Or RT} \right) = \frac{RT}{P} \left( u_c \sqrt{\frac{N}{RT}} \right) = \frac{u_c \sqrt{NRT}}{P}$$

por lo que,

$$\begin{aligned} \left(1 - \frac{u^2}{u_c^2}\right) \left(\frac{NRT}{P} + \frac{(1-n)}{Or}\right) &= \left(1 - \frac{u^2}{u_c^2}\right) \left(\frac{u_c \sqrt{NRT}}{P}\right) \\ &= \frac{u_c^2 - u^2}{u_c} \frac{\sqrt{NRT}}{P} \end{aligned}$$

así la ecuación (8) se puede reescribir como:

$$\frac{u_c^2 - u^2}{u_c} \frac{\sqrt{NRT}}{P} \frac{dp}{dh} = \left( \frac{2}{r} \frac{dr}{dh} - \frac{f}{4r} \right) u^2 - g$$

despejando  $dp/dh$ ,

$$\frac{dp}{dh} = \frac{u_c \left( \left( \frac{2}{r} \frac{dr}{dh} - \frac{f}{4r} \right) u^2 - g \right)}{\sqrt{NRT} (u_c^2 - u^2)} \quad \dots \dots (8a)$$

Aplicaremos el método de Runge-Kutta para un sistema de ecuaciones, para la obtención de  $u(h)$  y  $P(h)$ .  
Sean,

$$F(h, u, P) = \frac{du}{dh} \quad y \quad G(h, u, P) = \frac{dp}{dh}$$

$\frac{du}{dh}$  y  $\frac{dp}{dh}$  dadas por (7a) y (8a)

Las discretizaciones para  $u$  y  $P$  son:

$$U_{i+1} = U_i + \frac{H}{6} (k_{i0} + 2k_{i1} + 2k_{i2} + k_{i3}) \quad \dots \quad (7b)$$

$$P_{i+1} = P_i + \frac{H}{6} (m_{i0} + 2m_{i1} + 2m_{i2} + m_{i3}) \quad \dots \quad (8b)$$

donde

$$k_{i0} = F(h_i, U_i, P_i)$$

$$k_{i1} = F\left(h_i + \frac{H}{2}, U_i + k_{i0} \frac{H}{2}, P_i + m_{i0} \frac{H}{2}\right)$$

$$k_{i2} = F\left(h_i + \frac{H}{2}, U_i + k_{i1} \frac{H}{2}, P_i + m_{i1} \frac{H}{2}\right)$$

$$k_{i3} = F\left(h_i + H, U_i + k_{i2} H, P_i + m_{i2} H\right)$$

$$m_{i0} = L(h_i, U_i, P_i)$$

$$m_{i1} = L\left(h_i + \frac{H}{2}, U_i + k_{i0} \frac{H}{2}, P_i + m_{i0} \frac{H}{2}\right)$$

$$m_{i2} = L\left(h_i + \frac{H}{2}, U_i + k_{i1} \frac{H}{2}, P_i + m_{i1} \frac{H}{2}\right)$$

$$m_{i3} = L\left(h_i + H, U_i + k_{i2} H, P_i + m_{i2} H\right)$$

Las ecuaciones (7b) y (8b) dan la variación de la velocidad y la presión con la profundidad y por tanto la velocidad y presión en la superficie.

Cuando se suponga que la presión  $P$  es la litostática en todas partes, la ecuación que se utiliza para su cálculo es simplemente:

$$\frac{dP}{dh} = -\sigma_{cr} g \quad \dots \quad (18)$$

por tanto

$$P(h) = -\sigma_{cr} gh + P_0 \quad \dots \quad (19)$$

donde  $P_0$  es la presión en la superficie de exsolución, y la velocidad  $u$  se obtiene por medio de la ecuación (7a).

$$\frac{du}{dh} = \frac{\left(\frac{F}{g}\right) u^3 + \left(g - \frac{2\sigma_{cr}}{r} \frac{dP}{dh}\right)}{u_c^2 - u^2} \quad \dots \quad (7a)$$

En este caso se aplica el método de Runge-Kutta para una ecuación diferencial.

La discretización para la velocidad  $u$  es:

$$u_{i+1} = u_i + \frac{H}{6} (K_{i1} + 2K_{i2} + 2K_{i3} + K_{i4})$$

donde

$$K_{i1} = F(h_i, u_i)$$

$$K_{i2} = F\left(h_i + \frac{H}{2}, u_i + K_{i1} \frac{H}{2}\right)$$

$$K_{i3} = F\left(h_i + \frac{H}{2}, u_i + K_{i2} \frac{H}{2}\right)$$

$$K_{i4} = F\left(h_i + H, u_i + HK_{i3}\right)$$

con,

$$F(h, u) = \frac{du}{dh}$$

A continuación se muestran los ejemplos de la geometría del conducto que fueron utilizados y que fueron usados para evaluar el algoritmo aquí presentado.

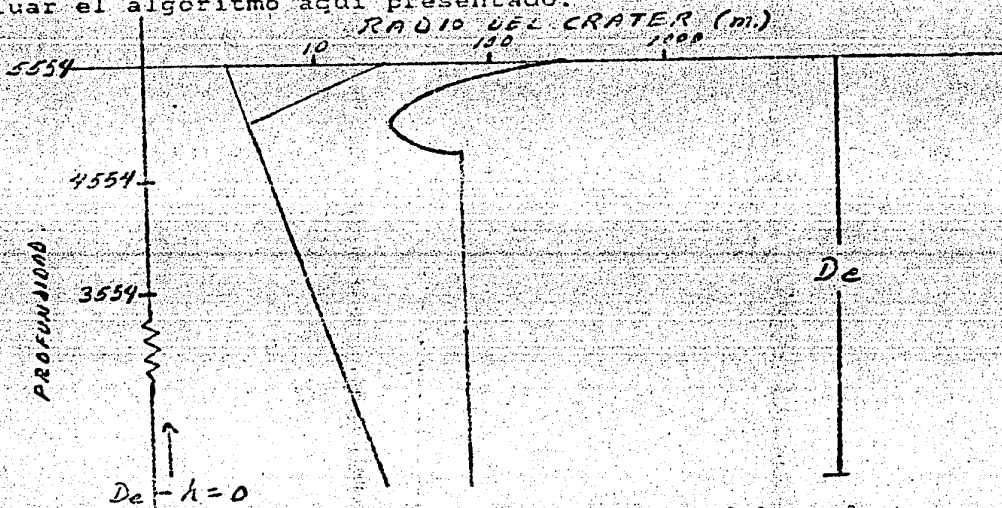


Fig 2-Tres modelos sobre la variación del conducto con la profundidad debajo de la superficie.

El primer modelo corresponde a un conducto que se estrecha linealmente (Fig 3); el segundo a un conducto que se estrecha linealmente y se abre también linealmente a algunas centenas de metros abajo de la superficie (Fig 4); el tercero a un conducto de radio constante y que forma una bóveda también a algunas centenas de metros abajo de la superficie (Fig 5).

Fig 3

Fig 4

Fig 5

Para el caso B se considera que la presión es la litostática a cualquier profundidad, por lo que  $P$  será deducida con la ecuación (19) y  $u$  con la (7c).

Para los casos A1 y A2 la presión y la velocidad son deducidas con las ecuaciones (7b) y (8b).

Es necesario aclarar que todos los cálculos se realizaron a partir de la superficie de exsolución y  $h$  será medida positiva hacia arriba. Por tanto, en todos los casos  $h=0$  a la profundidad de exsolución  $D_e$ .

Teniendo en cuenta ésto y usando las gráficas de la figura 2 se deducen las expresiones para  $r(h)$  y  $dr/dh$ .

Caso A1.

$$\left. \begin{array}{l} r = -3.4572 \times 10^{-3} h + 23.6 \\ \frac{dr}{dh} = -3.4572 \times 10^{-3} \end{array} \right\} \begin{array}{l} \text{desde } h=0 \text{ m.} \\ \text{hasta } h=555 \text{ m.} \end{array}$$

$r_0$  es el radio del conducto en la superficie de exsolución.

Caso A2.

$$\left. \begin{array}{l} r = -3.4572 \times 10^{-3} h + 23.6 \\ \frac{dr}{dh} = -3.4572 \times 10^{-3} \end{array} \right\} \begin{array}{l} \text{desde } h=0 \text{ m.} \\ \text{hasta } h=5224 \text{ m.} \end{array}$$

$$\left. \begin{array}{l} r = 2.498432 \times 10^{-2} h - 125.2629 \\ \frac{dr}{dh} = 2.498432 \times 10^{-2} \end{array} \right\} \begin{array}{l} \text{desde } h=5224 \text{ m.} \\ \text{hasta } h=5554 \text{ m.} \end{array}$$

Caso B.

$$\left. \begin{array}{l} r = 70 \\ \frac{dr}{dh} = 0 \\ r = 59305.69 - 32.8h + 0.0021832h^2 \\ \frac{dr}{dh} = -22.8 + 0.0043664h \end{array} \right\} \begin{array}{l} \text{desde } h=0 \text{ m.} \\ \text{hasta } h=5183.8 \text{ m.} \\ \text{desde } h=5183.8 \text{ m.} \\ \text{hasta } h=5554 \text{ m.} \end{array}$$

Los coeficientes  $k_0, k_1$  y  $k_2$  se obtienen con la rutina que se ha insertado en el programa y haciendo uso de la tabla de datos siguiente:

$r(m)$	70	65	67	78	100	130	175	300
$h(m)$	5183	5200	5250	5300	5350	5400	5450	5554

## D E S A R R O L L O D E L P R O G R A M A .

---

### PROGRAMA CONDUCTO.BAS

---

Este programa consta de tres partes;

i) Una rutina para encontrar los coeficientes de la curva que describe la forma del conducto volcánico, es decir encuentra los coeficientes  $k_0, k_1, k_2$  de una ecuación de segundo grado que se aplicará en la rutina iii).

ii) Una rutina que encuentra las presiones y profundidades iniciales dadas las condiciones iniciales, es decir, encuentra otros parámetros que se usarán en la rutina iii).

iii) Una rutina general para calcular velocidades y presiones en cada paso con condiciones iniciales dadas y encontradas en las dos anteriores rutinas.

El encabezado y menú principales están colocados en el bloque de líneas 10-220.

La rutina de elección está en las líneas 290-350.

El bloque correspondiente a la rutina que encuentra los coeficientes de la curva se encuentra en las líneas 430-770.

Esta última rutina funciona con un número  $n$  de puntos  $(x, y)$  que pide el programa.

El siguiente bloque correspondiente a la rutina para encontrar presiones y profundidades iniciales se encuentra en las líneas 830-1430.

Cabe notar que se utilizan los coeficientes encontrados en la rutina anterior de la curva que representa el conducto volcánico.

La lista de variables que se utilizarán se encuentra en las líneas 870-990 con sus respectivas unidades.

El desarrollo principal de esta rutina se encuentra en las líneas 1210-1430.

El tercer y último bloque correspondiente a la rutina para encontrar velocidades y presiones en función de la profundidad se divide en dos grandes partes, la primera, que es el cálculo en sí mismo se encuentra en las líneas 1500-2860 y la segunda de graficación en las líneas 2880-3646.

La lista de variables a usar con sus respectivas unidades está en las líneas 1620-1780.

Se utiliza un archivo de datos en disco para grabar los datos obtenidos y así poder usar dichos resultados en futuras ocasiones. La apertura de dicho archivo se encuentra en las líneas 1920-1960.

Las condiciones iniciales se estipulan en las líneas 2030-2110.

El bloque principal de cálculo empieza en las líneas 2170-2290 y continúa con la utilización de la rutina de Runge-Kutta en las líneas 2350-2630.

Los datos se escriben en pantalla y se graban en archivo en las líneas 2690-2750.

Por último la rutina de graficación lee los datos del archivo de disco e imprime 2 gráficas, correspondientes a la velocidad con respecto a la profundidad y la presión con respecto a la profundidad.

Cabe señalar que estas últimas gráficas toman como referencia como la superficie de exsolución y va aumentando la pro-

fundidad positivamente hacia arriba.

#### U S O D E L P R O G R A M A .

=====

Esta rutina se ejecutará oprimiendo la opción número 1 del menú principal.

Una vez que corre el programa, aparecerá el menú siguiente:

#### MENU MAESTRO

C PARA ENCONTRAR COEFICIENTES

P PARA ENCONTRAR PRESIONES Y PROFUNDIDADES INICIALES

V PARA CALCULAR Y GRAFICAR VELOCIDADES Y PRESIONES

F FIN DE SESION

a) Opción C.- Esta rutina sirve para calcular los coeficientes de una ecuación de segundo grado, que representa la forma de la parte superior del conducto volcánico.

Aparece la pregunta siguiente:

DAME EL NUMERO M DE PUNTOS?

Escriba el numero de puntos con los que se cuenta para encontrar la ecuación.

A continuación el programa pide las coordenadas X, Y de cada punto.

Al escribir las coordenadas del M-ésimo punto el programa calculará la ecuación y escribirá los tres coeficientes.

b) Opción P .- Esta rutina no pide ningún dato, sino que escribirá inmediatamente las siguientes tablas:

T a b l a 1 .

Porcentaje de gas exsuelto	Presión de fragmentación	Fracción por peso de agua total
N	PF	N'

Para N entre .005 y .150 con intervalos de .005 entre cada N.

T a b l a 2 .

Porcent.gas exsuelto	Fracc.peso agua total	Presión exsolución	Profundidad - profund. fragmentación exsolución
N	N'	PE	DF

Para un esfuerzo de tensión FT entre 0 y 350 bars con intervalo de 50 bars entre cada paso.

Estos datos serán usados en la rutina V posteriormente por lo que los resultados escogidos para N,N',PE,DF,DE deben de ser apuntados.

c) Opción V.-Esta rutina sirve para calcular la velocidad y la presión a cualquier profundidad del conducto volcánico.

Una vez que la rutina corre aparecerá la siguiente pregunta:

U0,A,KA,KB,KC,KD,KE,KF,N,P0,DE,DF,DC ? .....(A)

Cabe señalar que la rutina tomará los siguientes datos como constantes:

ETAE = 100000 ,viscosidad del magma antes del nivel de fragmentación (riolita) en Pas\*seg

ETAF = .00002 ,viscosidad del magma después del nivel de fragmentación en Pas\*seg (riolita)

F0 = .01 ,coeficiente inicial de fricción (adimensional)

R = 461 ,constante universal del gas (vapor de agua) en Joules/Kg°K

T = 1123 ,temperatura inicial en °K,tipica en este tipo de erupciones.

SR = 2600 ,densidad del magma en fase líquida (riolita) en Kg/m<sup>3</sup>

G = 9.81 ,aceleración de la gravedad en m/seg<sup>2</sup>

RO = 2300 ,densidad del magma en Kg/m<sup>3</sup> ,para riolita.

Estos datos se encuentran en la linea 2860 y podrán ser cambiados cuando se deseé.

Con respecto a la pregunta (A):

U0 = velocidad inicial del magma al nivel de exsolución, se usó un rango de 1 a 60 m/seg

A = intervalo entre cada paso en m.

KA,KB,KC = coeficientes de la ecuación que describe la forma del conducto antes de la profundidad de cambio, esto es, la profundidad donde la forma del conducto cambia.

KD,KE,KF = coeficientes de la ecuación que describe la forma del conducto después de la profundidad de cambio.

N = porcentaje de gas exsuelto, se usó un rango de .03 a .04

P0 = presión al nivel de exsolución en bars

DE = profundidad de exsolución en m.

DF = profundidad de fragmentación en m.

DC = profundidad a la cual la forma del conducto cambia en m.

Para conocer los valores de P0,DE y DF se utiliza la opción P del menú maestro.

Para conocer los coeficientes de las curvas se puede utilizar la opción C del menú maestro.

En los casos tratados en este capítulo se encontró que la convergencia en las soluciones corresponden a valores de A entre 90 y 115 m.

El número de pasos que se realizarán será el cociente resultante de DE/A.

A continuación se imprimirá la tabla con los siguientes resultados:

PROFUNDIDAD	VELOCIDAD	PRESIÓN	# DE PASO
-------------	-----------	---------	-----------

D	V	P	I
---	---	---	---

Finalmente se imprimirá una gráfica de profundidad del conducto contra la velocidad del magma.

Y por último se imprimirá una gráfica de profundidad contra presión.

Como encabezado de estas últimas dos gráficas se imprimen los datos de entrada.

E J E M P L O .

---

CASO A1.

Las soluciones que se presentan fueron obtenidas usando las condiciones iniciales siguientes:

A = 100 m ,intervalo entre cada paso

DE = 5554 m ,profundidad de exsolución

P0 =  $(n'/s) = 1.5265 \times 10^7 \text{ N/m}^2$  ,presión inicial al nivel de exsolución.

N = .035 ,porcentaje de gas exsuelto

KA = 23.6

KB = -.0034572 KA,KB,KC coeficientes de la primera curva.

KC = 0

KD = 23.6

KE = -.0034572 KD,KE,KF coeficientes de la segunda curva.

KD = 0

DF = 3935 m ,profundidad de fragmentación.

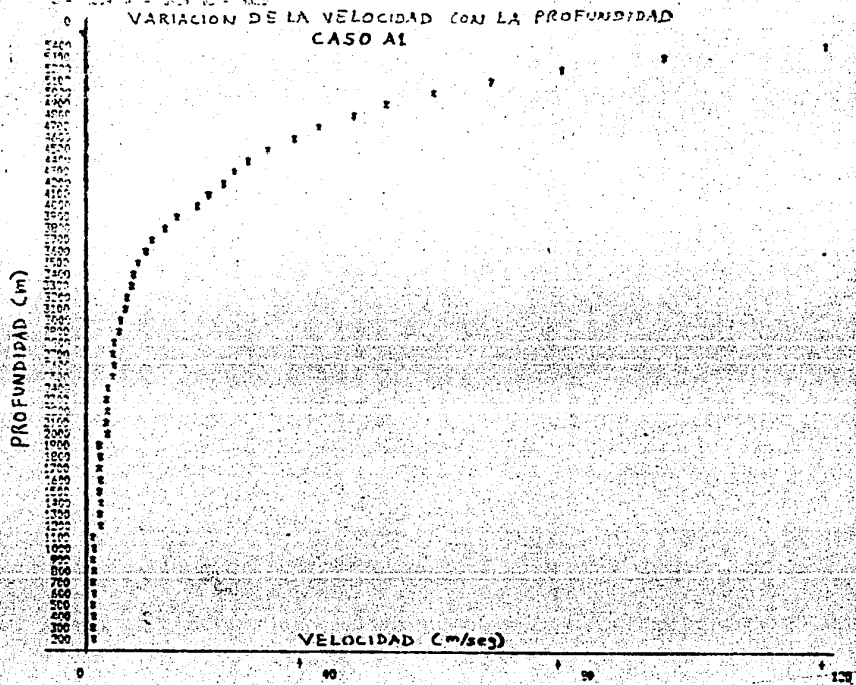
DC = 6325 m ,profundidad de cambio.

U0 = 1.73 m/seg ,velocidad inicial.

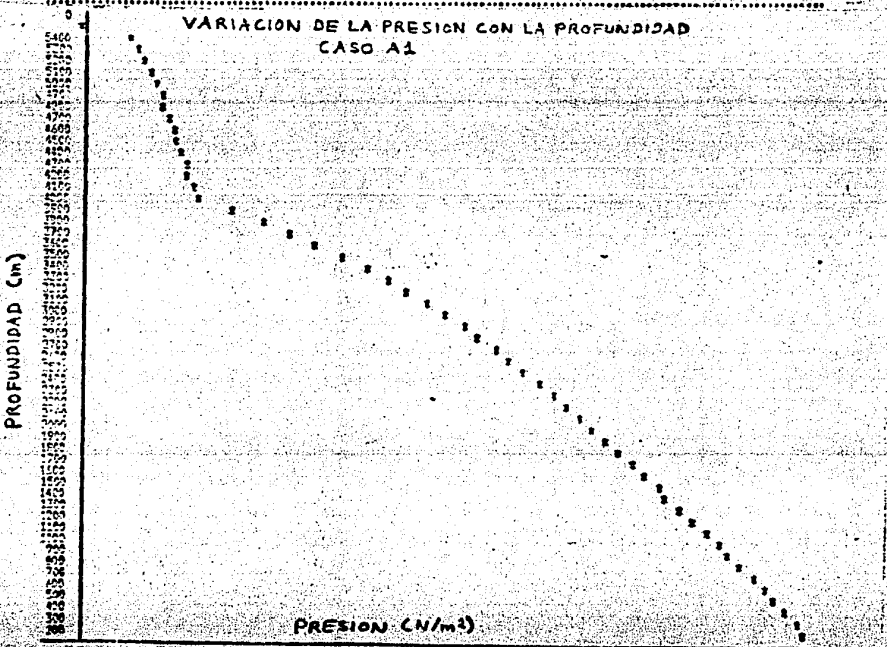
1700	3.265680070459	11379283214815	17
3200	4.3477018391274	9747151195552	23
3900	6.1773111015846	77550141122229	29
5500	9.72622226551	50155643122227	35
4100	29.70140434717	2755214705712	41
4700	39.72317212222	2575314705713	47
5300	94.24015645651	1165517054486	53

$\Delta = -0.00132$   $R^2 = 0.94$   $R = -0.9974572$   $NC = 6$   
 $ST = -0.0013200$   $ST = 0$   $N = 0.035$   $PO = 1.974532460$

## VARIACIÓN DE LA VELOCIDAD CON LA PROFUNDIDAD CASO A1



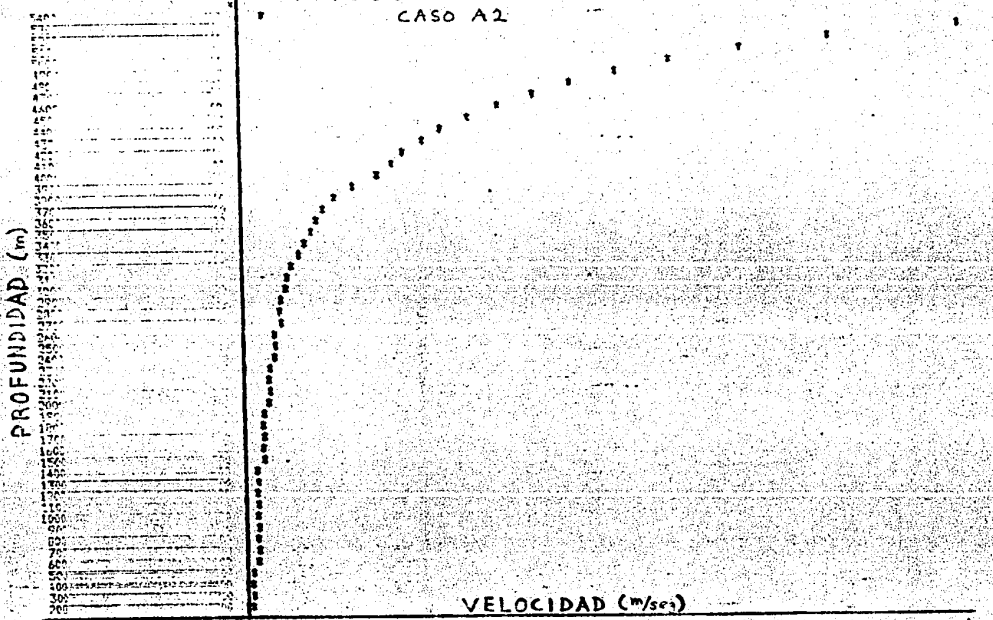
# VARIACION DE LA PRESION CON LA PROFUNDIDAD CASO A1



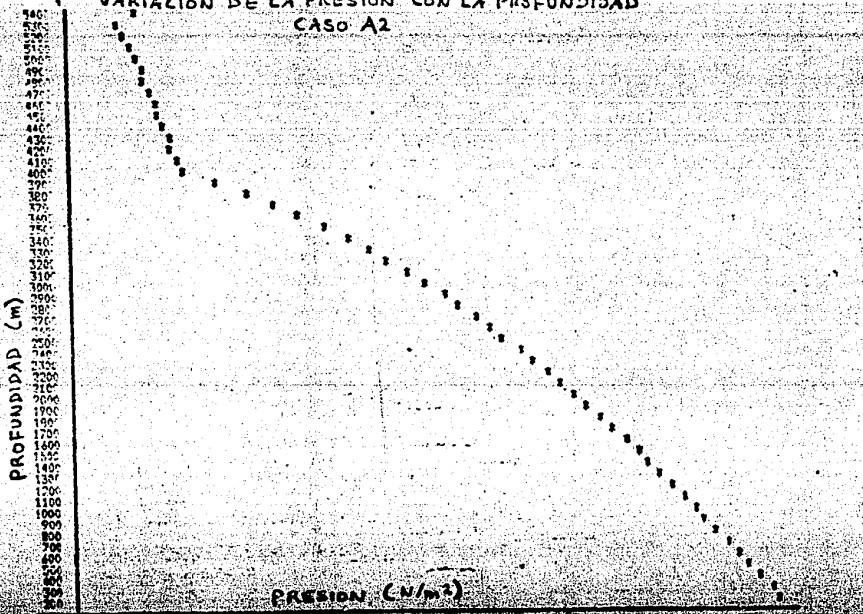
0	2.1774732519	17.7771	5
1100	2.547234700193	17.93032417.9983	11
1700	3.265090070459	11.339372.4815	17
2300	4.337888394274	974.74571.05342	23
2900	6.179311101946	7675.0341.138320	29
3500	9.723052695911	54229541.97727	35
4100	20.70630534763	239521.47.35712	41
4700	30.72937012910	105.50173.46929	47
5300	94.14010549501	1195.8871.84494	53

CG = 1.73 A = 100 SA = 23.6 AS = -0.0024572 ND = 0  
 KG = -195.3429 KE = -0.4274251.02 NT = 0 N = 1.673502E102  
 RC = 0.5554 DP = 1929 DZ = 5224

### VARIACION DE LA VELOCIDAD CON LA PROFUNDIDAD CASO A2



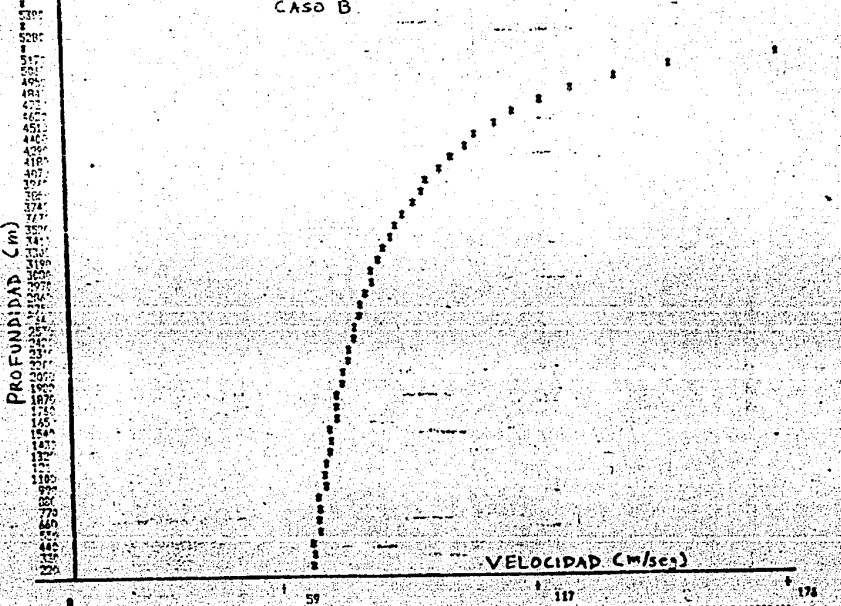
### VARIACION DE LA PRESION CON LA PROFUNDIDAD CASO A2



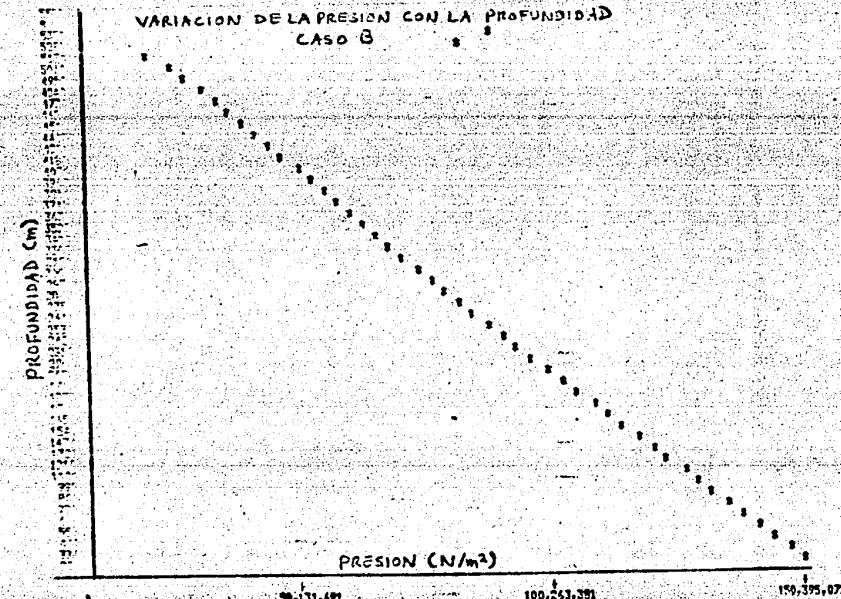
1070	72.39505177892	100210474.0103	11
2570	72.03757723364	0.15794.06444	23
3170	70.38016361010	45049574.42708	29
3670	69.9729463683	4373571.32254	35
4170	111.6144141335	3485514.64752	41
5170	-442.5341273679	10963973.67985	47

VR = 10 A = 119 M = 70 K3 = 0 VTA = 0  
 VR = 19705.82 RE = 22.9151 K7 = .0021832 N = .035 P0 = 1.526532E408  
 RE = 554447 P0 = 55.77 CO = 5.72

VARIACION DE LA VELOCIDAD CON LA PROFUNDIDAD  
 CASO B



VARIACION DE LA PRESION CON LA PROFUNDIDAD  
 CASO B



## R E S U L T A D O S .

=====

El primer modelo considerado se estrecha linealmente de 23.6m. a 5554m. de profundidad a 4.4m. en la superficie. Los perfiles de velocidad de salida y presión como una función de la profundidad se muestran en las curvas de la gráfica A1. El magma se vesicula progresivamente a profundidades que están entre 5554m. y 3935m. donde se fragmenta a una fracción hueca de 0.77. La velocidad de la erupción es aproximadamente de 174m/seg. y la presión de salida alrededor de 64 bars.

Una consecuencia de la alta presión de salida puede ser la rápida ampliación de la región del cráter debido al desplazamiento de materiales flojos o débilmente cohesivos; el modelo A2 muestra el resultado de ampliar la región del cráter, aquí el conducto se expande de un radio de 5.5m. a 5234m. a un radio de 13.5m. en la superficie. En este caso la velocidad de la erupción es aproximadamente de 271m/seg. y la presión de salida de 10.86 bars.

En el modelo B la presión siempre se toma como la litostática. El examen de los valores de la presión a profundidades alrededor de 4954 muestran que las soluciones correspondientes a las curvas A1 y A2 tienen presiones más bajas que los valores litostáticos por más de 250 bars. Es necesario aclarar que los valores de la presión fueron obtenidos por medio de la ecuación  $dP/dz = -SCR \cdot G$ , donde SCR es la densidad de la corteza terrestre. La velocidad alcanzada en este caso es de aproximadamente 490m/seg. y la presión de salida es de alrededor de 10 bars.

Los resultados obtenidos en este capítulo están de acuerdo con los que presenta Wilson (1980).

R E F E R E N C I A S .

=====

- Wilson, L., Sparks, R.S.J. and Walker G.P.L. 1980 . EXPLOSIVE VOLCANIC ERUPTION - IV . THE CONTROL OF MAGMA PROPERTIES AND CONDUIT GEOMETRY ON ERUPTION COLUMN BEHAVIOUR. Geophys. Jour. Roy. Astr. Soc. p. 117-147.
- Carnahan, B., Luther, H.A. and Wilkes, J.O. 1969. APPLIED NUMERICAL METHODS. Wiley and Sons . New York.
- Clenshaw, C.W., 1960. CURVE FITTING WITH A DIGITAL COMPUTER. in Comput J. 2. p. 130-173.
- Rice, J.R., 1960. SPLIT RUNGE-KUTTA METHODS FOR SIMULTANEOUS EQUATIONS. J.Res. Nat.Bur.Sid., 64B p. 151-170 .
- Hugues, W.F. 1978. DINAMICA DE FLUIDOS. Edit. Mc. Graw Hill, México.

### Capítulo III.

#### COLAPSO DE UNA COLUMNA ERUPTIVA.

#### R E S U M E N .

En este capítulo se presenta un modelo físi-co-matemático, así como el algoritmo numérico y el programa basado en éste, que simulan el movimiento de un flujo de piroclastos en sus primeras etapas después del colapso de una columna eruptiva. Las etapas iniciales del flujo son modeladas como una corriente altamente turbulenta y con baja concentración de partículas. Se resuelven las ecuaciones de Navier-Stokes y de continuidad utilizando el método de diferencias finitas explícito. Las soluciones numéricas son presentadas suponiendo propagación radial uniforme desde el cráter. La teoría es esencialmente la expuesta por R.S.J. Sparks y L. Wilson(1976). Las soluciones obtenidas muestran que la velocidad del flujo aumenta inicialmente hasta alcanzar un máximo para posteriormente desacelerar.

#### I N T R O D U C C I O N .

En este capítulo se presenta un modelo físi-co-matemático que simula el movimiento del flujo de piroclastos generado por el colapso de una columna eruptiva. En las etapas inmediatas al colapso el movimiento es modelado como el de un flujo altamente turbulento con baja concentración de partículas, alta velocidad y propagándose en forma radial y uniforme hacia afuera del cráter. Esta consideración exceptúa los flujos pequeños que son guiados a través de aberturas y depresiones del cráter y flancos del volcán.

Se describe el flujo por medio de la ecuación de Navier-Stokes para el caso estacionario combinada con la ecuación de continuidad. La ecuación resultante se resuelve usando el método de diferencias finitas. Se desarrolló un programa en BASIC que contiene rutinas que resuelven la ecuación de movimiento de flujo y una rutina de graficación para la variación de la velocidad con la distancia radial al cráter.

Las soluciones que se presentan al final cubren un amplio rango de velocidades, espesores y distancias iniciales de flujo, suponiendo una morfología típica de un volcán de ignimbrita con un cono de radio de 8 Km, de inclinación de 15° rodeado por una meseta también de ignimbrita con una inclinación de 1°. (Fig 1).

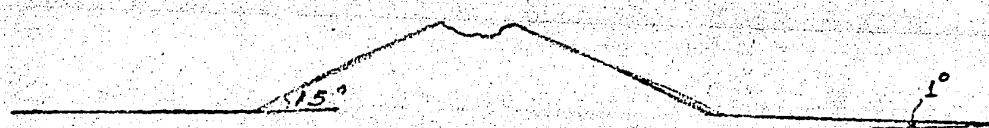


Fig 1

## TEORIA.

### Flujo inicial turbulento después del colapso.

Después del colapso los flujos piroclásticos se propagan radialmente hacia afuera del cráter, exceptuando los pequeños flujos que pueden ser guiados a través de aberturas y depresiones de las paredes del cráter y flancos del volcán, la velocidad inicial  $V_0$ , el espesor inicial  $h_0$ , la densidad inicial  $\rho_0$  y la temperatura  $\Theta_0$  de la mezcla se determinan por las condiciones de la erupción. En las primeras etapas en las que la concentración de partículas es baja, la velocidad alta y grande el espesor del flujo, éste será altamente turbulento y el movimiento a unos Km del cráter puede ser modelado como el movimiento de un fluido no viscoso, en el cual las partículas están uniformemente dispersadas.

Para modelar este proceso se ha supuesto la morfología típica de un volcán de ignimbrita con un cono de 8 km de radio e inclinación de  $15^\circ$ , rodeado de una meseta de  $1^\circ$ .

Se supone además que los flujos se mueven radialmente hacia afuera; ésta es una aproximación razonable para muchas erupciones grandes donde los primeros flujos han llenado depresiones y topografías planas.

El flujo está descrito por la ecuación de Navier-Stokes y la ecuación de continuidad.

$$u \cdot h \cdot y_0 = u \cdot h \cdot r \quad \dots \dots \quad (1)$$

$$\rho \frac{\partial u}{\partial t} + \rho u \frac{\partial u}{\partial r} = g \tan \alpha \Delta \rho - \frac{0.5 C_f \rho u^2}{h} \quad \dots \dots \quad (2)$$

donde  $r$  es la distancia radial desde el cráter,  $h$  es el espesor del flujo,  $u$  es la velocidad,  $\rho$  es la densidad del gas, aire y piroclastos,  $\Delta \rho$  es la diferencia de densidad entre el flujo y la atmósfera,  $\alpha$  es la inclinación y  $C_f$  es el coeficiente de arrastre del terreno.

La ecuación (2) supone que las velocidades normales a la dirección del flujo y en la dirección vertical son pequeños en comparación con la velocidad radial del flujo. Las ecuaciones (1) y (2) son combinadas y simplificadas suponiendo condiciones estacionarias ( $\partial u / \partial t = 0$ ) dando;

$$u \frac{\partial u}{\partial r} = \frac{g \sin \alpha \Delta \rho}{\rho} - \frac{0.5 C_f u^3 r}{r \cdot h \cdot u_0} \quad \dots \dots \quad (3)$$

Esta ecuación se resuelve numéricamente usando el método de diferencias finitas. El coeficiente de arrastre  $C_f$  puede ser estimado de la rugosidad relativa de la superficie sobre la cual el flujo se mueve. Inicialmente, el flujo puede ser tratado como un desarrollo de capa límite y el coeficiente de arrastre se determina con datos sobre la resistencia para el flujo del gas sobre una capa rugosa. A números de Reynolds altos ( $R_e > 10^3$ ) el coeficiente de arrastre, sólo depende de la rugosidad relativa del manto y puede ser aproximado por la siguiente expresión:

$$C_f = \frac{0.04}{\ln(h/k_s)}$$

----- (4)

donde  $k_s$  es el diámetro característico de las partículas del manto. El espesor de la capa límite ( $\delta(r)$ ) esta dado por:

$$\delta(r) = 0.36 r \left( \frac{u_r}{r} \right)^{-0.2} \quad \text{----- (5)}$$

donde  $\nu$  es la viscosidad cinemática del gas. En la práctica, una capa límite se desarrolla completamente a unos pocos kilómetros del cráter para un amplio rango de valores iniciales de  $U_0$  y  $h_0$ . El coeficiente de arrastre para una capa límite desarrollada completamente es derivado modificando el dato para el flujo turbulento de gas a través de tubos rugosas sustituyendo el radio hidráulico del flujo por el radio del tubo, con lo cual:

$$C_f = \frac{0.65}{(\ln(h/k_s))^2} \quad \text{----- (6)}$$

El valor apropiado de  $C_f$  es sustituido en (3), después de cada paso de la integración numérica, usando (4), (5) y (6). Se escogió un valor para  $k_s$  de 1.0 cm después de comparar texturas de superficies típicas de ignimbrita con modelos estándares de rugosidad. Se insiste, sin embargo, que los valores actuales de  $C_f$  varían poco para rangos entre 0.02 y 0.005.

En el modelo se han omitido los pequeños efectos de arrastre atmosférico sobre la frontera superior del flujo. El aire mezclado en lo alto del flujo será rápidamente calentado e iniciará una pluma convectiva arriba del flujo, el cual aislará la frontera superior y se hará difícil de definir.

ALGORITMO NUMERICO.

Para encontrar la variación de la velocidad del flujo con la distancia al cráter se utiliza la ecuación (3).

$$u \frac{\partial u}{\partial r} = \frac{g \rho \sin \Delta \phi}{\rho} - \frac{0.5 C_f u^3 r}{r_0 h_0 k_0}$$

resolviendo para  $\frac{\partial u}{\partial r}$  y aplicando diferencias finitas:

$$\frac{\partial u}{\partial r} = \frac{g \rho \sin \Delta \phi}{\rho h_i} - \frac{0.5 C_f u_i^2 r}{r_0 h_0 k_0}$$

$$\frac{u_{i+1} - u_i}{h_i} = \frac{g \rho \sin \Delta \phi}{\rho h_i} - \frac{0.5 C_f u_i^2 r}{r_0 h_0 k_0}$$

$$u_{i+1} = u_i + h_i \left( \frac{g \rho \sin \Delta \phi}{\rho h_i} - \frac{0.5 C_f u_i^2 r}{r_0 h_0 k_0} \right)$$

Ya que inicialmente el flujo es tratado como una capa límite en desarrollo, el coeficiente de arrastre  $C_f$  se calcula por medio de la siguiente expresión:

$$C_f = \frac{0.04}{\ln(h/k)}$$

una vez que la capa límite se ha desarrollado completamente la expresión para  $C_f$  se cambia a la siguiente aproximación:

$$C_f = \frac{0.65}{(\ln(n/k))^2}$$

El cambio en  $C_f$  se puede determinar haciendo uso de la ecuación que da el espesor de la capa límite,

$$\delta(r) = 0.365 \left( \frac{ur}{V} \right)^{-0.2}$$

la capa límite estará desarrollada completamente cuando  $\delta(r)$  se aproxime a una constante.

DESCRIPCION DEL PROGRAMA.

La lectura de condiciones iniciales se realiza en la linea 220 y el intervalo a usar y el número de pasos que se efectuará se piden en las líneas 230-240.

La lectura de datos se realiza en la linea 210, la descripción de cada dato es hecha en las líneas 130-190 con sus respectivas unidades.

La asignación de espacio en memoria para los valores de cada paso es hecha en la linea 260.

El bloque principal de cálculo donde se aplica el método de diferencias finitas corresponde al bloque de líneas 390-490.

La impresión de la tabla de resultados y de la gráfica correspondiente se encuentra en las líneas 530-680.

## U S O   D E L   P R O G R A M A .

---

Esta rutina se obtiene oprimiendo la opción 2 del menú principal.

Una vez que corre el programa aparecerá la siguiente pregunta:

H0,R0,U0? .....(A)

Cabe señalar que el programa tomará los siguientes datos como constantes:

G = 9.8 , aceleración de la gravedad terrestre en m/seg<sup>2</sup>  
ALFA = .2618 , inclinación en radianes (= 15°) de un cono típico de ignimbrita hasta una distancia de 8 Km y valdrá (6.2832/360) radianes a distancias mayores (= 1°).

R0 = 1300 ,densidad de la mezcla de la columna en kg/m<sup>3</sup>

DRO = 1298.7 ,diferencia de densidades en kg/m<sup>3</sup> entre la mezcla y la atmósfera. El valor de la densidad del aire que se tomó es de 1.3 kg/m<sup>3</sup>.

NU = .0000296 ,viscosidad cinemática del gas (aire) en m<sup>2</sup>/seg.

KS = .01 ,diámetro típico de las partículas en m.  
(se puede tomar de un amplio rango entre .005 y .02 m)

Estos datos se encuentran en la linea 730 y se pueden cambiar cuando se desee.

Con respecto a la pregunta (A):

H0 = espesor inicial del flujo en m.

R0 = distancia inicial del flujo al cráter en m.

U0 = velocidad inicial del flujo en m/seg

Donde R se toma de un rango de 50 a 600 m.

Después de dar los datos anteriores se introduce el intervalo K entre cada paso. En los casos que se trataron en este capítulo se encontró que la convergencia en las soluciones corresponde a valores de K entre 250 y 2000 m.

Posteriormente se introduce el número de pasos N que se calcularán.

A continuación el programa imprimira una tabla con los resultados siguientes:

# paso	velocidad	coeficiente de arrastre	espesor del flujo
I	U	CF	TETA

Por ultimo la rutina imprimirá una gráfica de velocidad contra la distancia al cráter.

## E J E M F L O .

Las gráficas del ejemplo (a) corresponden a los siguientes datos de entrada:

$$H_0 = 300 \text{ m}$$

$$R_0 = 1500 \text{ m}$$

$$U_0 = 250 \text{ m/seg}$$

## R E S U L T A D O S .

Las soluciones que se presentan cubren un amplio rango de condiciones iniciales en la columna eruptiva.

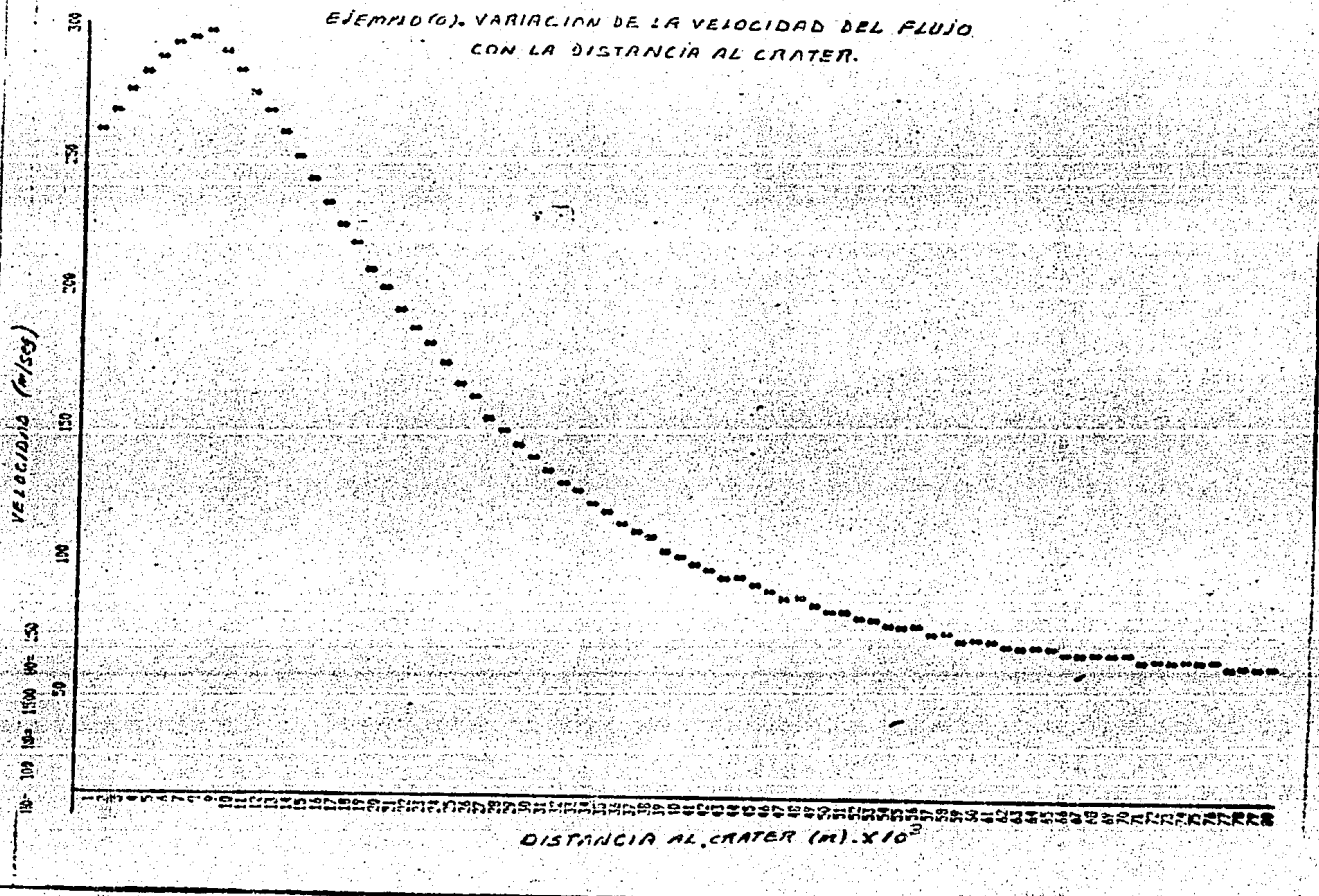
Todas las soluciones muestran que el flujo acelera inicialmente hasta alcanzar una velocidad máxima y después comienza a desacelerar rápidamente. El coeficiente de fricción es relativamente pequeño en un principio y aumenta a medida que el flujo avanza, lo cual explica en parte el comportamiento del flujo que se propaga radialmente. De las gráficas se puede apreciar que la desaceleración se aproxima a cero a distancias mayores de 20 a 40 Km, permaneciendo la velocidad casi constante a partir de tales distancias. Además se muestra que los flujos de piroclastos pueden mantener velocidades mayores de 30 m/seg a distancias de hasta 80 Km del cráter. En el caso de una velocidad inicial de 310 m/seg la velocidad del flujo es aún mayor de los 100 m/seg a una distancia de 60 Km del cráter.

Hacemos énfasis que los resultados obtenidos fueron para un flujo diluido en donde la concentración de partículas es baja y son válidos únicamente si el número de Reynolds es superior a  $10^3$ .

Las soluciones encontradas en este capítulo muestran un comportamiento análogo a las obtenidas por Sparks (1978).

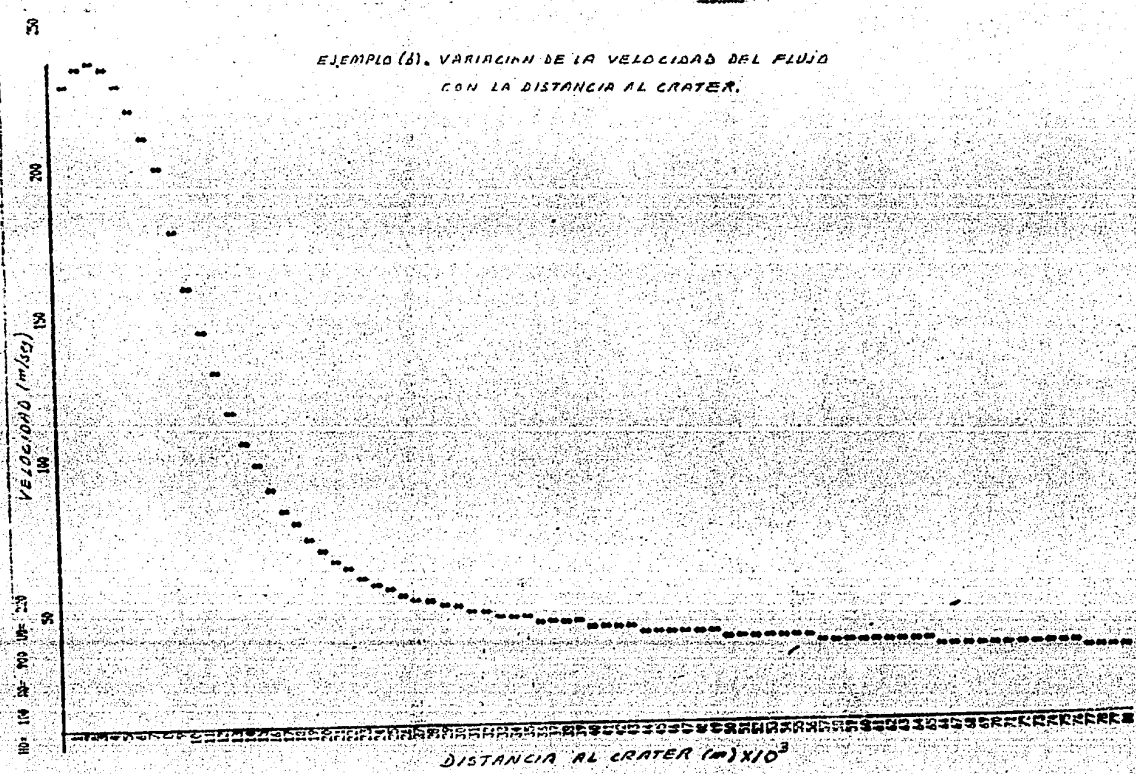
1	259.6847	2.253636E-03	4.723684
11	273.1296	2.253836E-03	24.71971
21	194.4424	2.253836E-03	14.38812
31	134.6938	2.253836E-03	65.29383
41	100.3229	2.253836E-03	86.77286
51	81.60416	2.253836E-03	107.3484
61	71.48321	2.253836E-03	127.9527
71	65.5241	2.253836E-03	147.1123
81	61.53005	2.253836E-03	165.5944

EJEMPLO (g). VARIACION DE LA VELOCIDAD DEL FLUJO  
CON LA DISTANCIA AL CRATER.



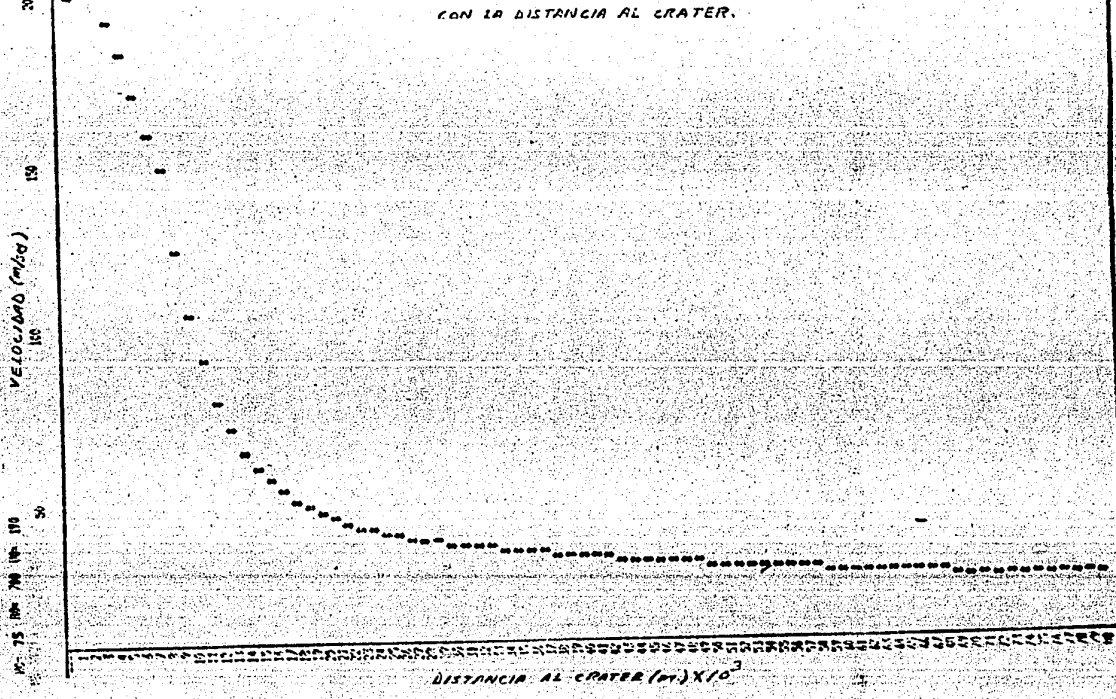
1	229.1832	2.619824E-03	3.620115
11	143.4758	2.619825E-03	27.72318
21	65.31645	2.619826E-03	55.04197
31	47.58102	2.619826E-03	80.43716
41	41.56352	2.619826E-03	103.7848
51	38.03566	2.619826E-03	125.9631
61	35.4753	2.619826E-02	147.3285
71	33.47792	2.619826E-03	168.355
81	31.85336	2.619826E-03	188.9348

EJEMPLO (B). VARIACION DE LA VELOCIDAD DEL FLUJO  
CON LA DISTANCIA AL CRATER.



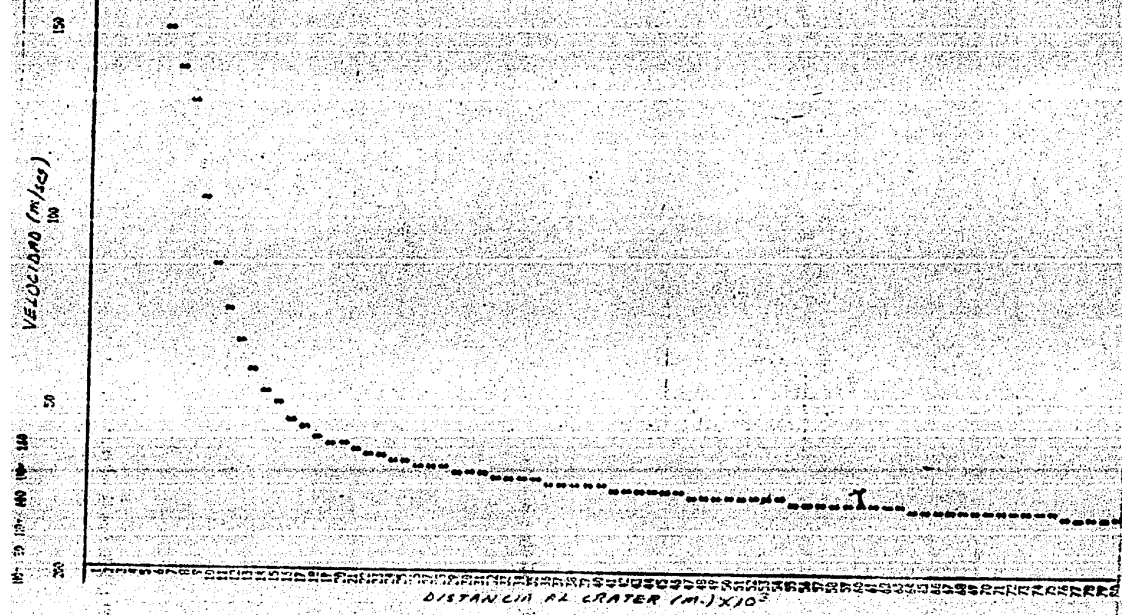
1	199.6629	2.801728E-03	3.933763
11	91.07256	2.801728E-03	30.15334
21	43.4971	2.801728E-03	53.92876
31	35.79132	2.801728E-03	85.49133
41	31.93421	2.801728E-03	109.4215
51	29.37075	2.801728E-03	132.5503
61	27.45233	2.801728E-03	155.095
71	25.93632	2.801728E-03	177.1435
81	24.69472	2.801728E-03	198.8048

EJEMPLO (C). VARIACION DE LA VELOCIDAD DEL FLUJO  
CON LA DISTANCIA AL CRATER.



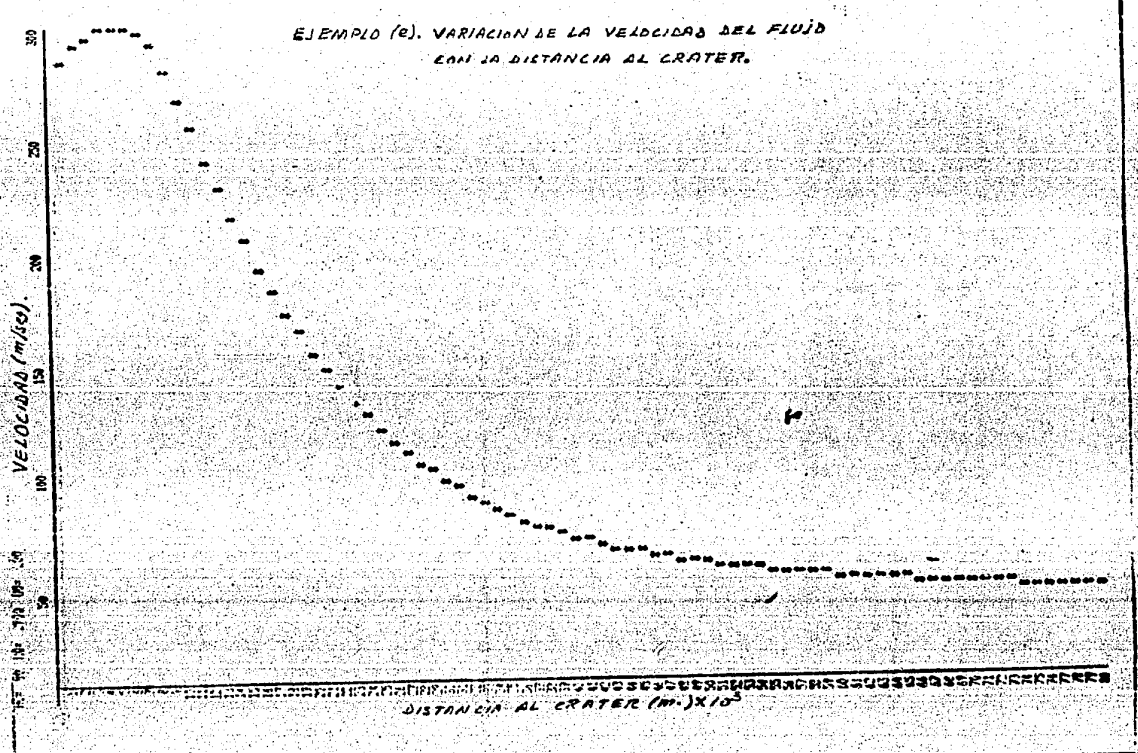
1	172.4173	2.877945E-03	4.071336
11	75.42952	2.877945E-03	31.25232
21	38.44939	2.877945E-03	61.53381
31	32.16612	2.877945E-03	87.25142
41	29.92941	2.877945E-03	111.6089
51	26.63218	2.877945E-03	135.1725
61	24.90387	2.877945E-03	152.1376
71	23.53445	2.877945E-03	160.5211
81	22.41044	2.877945E-03	202.7022

EJEMPLO (d). VARIACION DE LA VELOCIDAD DEL FLUJO  
CON LA DISTANCIA AL CRATER.



	100	80	60	40	20
1	289.0056	2.35627E-03	3.640234		
11	256.7641	2.35627E-03	24.96722		
21	149.8611	2.35627E-03	46.68913		
31	95.47636	2.35627E-03	69.8974		
41	72.1154	2.35627E-03	92.7511		
51	61.62589	2.35627E-03	114.1881		
61	56.0992	2.35627E-03	134.3846		
71	52.47263	2.35627E-03	153.8376		
81	49.71967	2.35627E-03	172.9264		

EJEMPLO (e). VARIACION DE LA VELOCIDAD DEL FLUIDO  
CON LA DISTANCIA AL CRATER.



R E F E R E N C I A S .

=====

- Wilson, L., 1976. EXPLOSIVE VOLCANIC ERUPTIONS-III. PLINIAN ERUPTION COLUMNS. Geophys. J. Roy. Astron. Soc., 45, p. 543-556.
- Sparks, R.S.J., Wilson, L. and Hulme, G., 1978. THEORETICAL MODELING OF THE GENERATION, MOVEMENT AND EMPLACEMENT OF PYROCLASTIC FLOWS BY COLUMN COLLAPSE. J. Geophys. Res. 83, p. 1727-1731.
- Lapidus, L. and Pinder, G.F., 1982. NUMERICAL SOLUTIONS OF PARTIAL DIFFERENTIAL EQUATIONS IN SCIENCE AND ENGINEERING. Wiley and Sons, New York.
- Smith, G.D., 1978. NUMERICAL SOLUTIONS OF PARTIAL DIFFERENTIAL EQUATIONS: FINITE DIFFERENCE METHOD. Clarendon Press, Oxford.
- Tijonov, A.N. and Samarsky, A.A., 1983. ECUACIONES DE LA FISICA MATEMATICA. Edit. Mir-Moscu.
- Weast, R. C., Selby, S. and Hodgman, C.D., 1962. HANBOOK OF CHEMISTRY AND PHYSICS. The chemical Rubber Co.

## Capítulo IV.

### ERUPCIONES VOLCANICAS EXPLOSIVAS. COLUMNAS DE ERUPCIONES PLINIANAS.

#### MODELO NUMERICO DE LA DINAMICA DE LA COLUMNA .

##### R E S U M E N .

En este capítulo se presenta un algoritmo numérico y un programa para describir la dinámica de la parte más baja de una columna eruptiva. Se resuelven las ecuaciones de movimiento para el flujo de la mezcla de gas y partículas sólidas considerando la gravedad e incluyendo la adición de aire en la columna, utilizando el método de diferencias finitas explícito. La teoría es esencialmente la expuesta por Wilson (1976). Las soluciones obtenidas con respecto a la altura muestran un incremento en el radio de la columna, una disminución inicial de la velocidad con un aumento posterior, una disminución en la densidad de la mezcla y una pequeña disminución en la temperatura.

##### I N T R O D U C C I O N .

Una erupción pliniana está definida como un evento explosivo en el que se libera del cráter a gran velocidad un flujo de magma fragmentado y gas magnético. La columna que se forma en este tipo de erupción está constituida por una mezcla de piroclastos, gas magnético y aire transportado. Todas las columnas plinianas alcanzan alturas de por lo menos 30 Km., su diámetro aumenta con la altura y se mantienen algunas decenas de horas. Además existe en ellas un ordenamiento, por tamaño y densidad de los piroclastos que las conforman. Las partículas más pequeñas y menos densas son transportadas a grandes alturas y son arrojadas a grandes distancias del cráter y en general alcanzan mayores rangos de altura y distancia que los fragmentos de mayor densidad y tamaño. Esto se comprueba fácilmente observando la colocación de las partículas en un depósito de tipo pliniano. En él se aprecia una disminución constante del tamaño con la distancia para partículas de una densidad dada y un alcance mayor de las partículas de menor densidad, dado un diámetro. Esto quiere decir que dentro de una zona localizada a cierta distancia del cráter existen tanto fragmentos que lograron su alcance máximo como partículas más pequeñas que representan a los piroclastos liberados de la columna sin haber logrado su alcance máximo.

Finalmente cuando un viento apreciable sopla durante el tiempo de la erupción, las partículas son transportadas por el viento llegando a una distancia mayor las que tengan un menor tamaño y densidad. Este capítulo presenta un modelo simplificado de la parte más baja de una columna de erupción tomando en cuenta el efecto de incorporación de aire en la columna.

T E O R I A .  
=====

Haciendo uso de la teoría para un flujo turbulento propulsado en una tobera se puede realizar un modelo simple para la parte inferior de una columna de erupción.

Suponemos que la corriente de fluido, que consiste de gas y piroclastos sale verticalmente de un cráter circular de radio  $b_0$  con cierta velocidad sobre su eje central,  $u_0$ . La densidad inicial del gas es  $\beta_0$ , la densidad inicial de la mezcla de gas y piroclastos, es  $\beta_0$  y la temperatura inicial de la misma es  $\Theta_0$ .

Si el magma contiene  $n$  por ciento por peso de volátiles, entonces  $\beta_0$  esta relacionado con  $\beta_0$  por:

$$\beta_0 = \frac{100 \beta_0}{n} \quad \dots \dots \quad (1)$$

donde el volumen de piroclastos ha sido despreciado, siendo menor que el 1% del volumen del gas en todos los casos de interés.

Sean  $\Theta$ ,  $\beta$ ,  $\beta$  y  $u$ , la temperatura, la densidad de la mezcla de la columna, la densidad de la mezcla de aire y gas y la velocidad hacia arriba sobre el eje central, respectivamente a cualquier altura  $h$ , por arriba del cráter donde el radio de la columna es  $b$ .

Para el caso de un flujo puramente gaseoso en el cual  $\Theta=\Theta_0$ ,  $\beta=\beta_0$  donde  $\alpha$  es la densidad del gas que rodea al chorro y tanto los efectos debidos a la gravedad como la variación de  $\alpha$  con la altura son despreciados, se encuentran las siguientes ecuaciones que relacionan el radio de la columna  $b$ , con la velocidad  $u$  y la altura  $h$  (Wilson, 1976);

$$b = b_0 e^{h/g} \quad \dots \dots \quad (2)$$

$$u = u_0 \left( \frac{b_0}{b_0 e^{h/g}} \right) \quad \dots \dots \quad (3)$$

Utilizando estas ecuaciones se determina fácilmente la desaceleración de la parte central del flujo, con lo cual se obtiene:

$$\frac{du}{dt} = u \frac{du}{dt} = - \frac{u^2}{gb} \quad \dots \dots \quad (4)$$

Si se consideran los esfuerzos de corte que actúan sobre un elemento en el centro del flujo debido a la incorporación de aire en la columna e incluyendo la gravedad en la derivación se obtiene una nueva expresión para la ecuación (3);

$$u \frac{du}{dh} = - \frac{u^2}{gb} - g \left( 1 - \frac{\alpha}{\beta} \right) \quad \dots \dots \quad (5)$$

En este caso la ecuación de movimiento tomando en cuenta la incorporación de aire, puede escribirse como:

$$- \frac{g}{q^2} \left( 1 - \frac{\alpha}{\beta} \right) = u \frac{du}{dh} + \frac{\left( \frac{1}{2} u^2 + gh \right)}{b^2 \beta} \frac{d(b^2 \beta)}{dh} \quad \dots \dots \quad (6)$$

donda el último término representa el resultado de la adición de aire que aumenta la masa de la columna y  $q$  es la razón del promedio de la velocidad hacia arriba a través del chorro a el valor central, se espera un perfil de velocidades plano por lo

que  $\beta$  puede ser justamente menor que la unidad.

La densidad de la mezcla de la columna,  $\beta$ , puede ser obtenida notando que a cualquier altura  $h$  el gas arrojado que ocupaba inicialmente un volumen  $\pi b_0^2 h$  por unidad de altura a la temperatura  $\Theta_0$ , ocupará un volumen  $\pi b_0^2 \cdot \frac{h}{\Theta} = \pi b_0^2 (\Theta_0/\Theta) (P_0/P)$  donde  $P$  es la presión atmosférica a la altura  $h$ , el volumen restante consiste de aire, también a la temperatura  $\Theta$ , cuya masa es igual a la del gas volcánico multiplicado por el factor  $R_g(b_0^2 - b_1^2)/R_a b_1^2$  donde  $R_g$  y  $R_a$  son las constantes gaseosas para el gas y aire respectivamente. Así la densidad de la mezcla es igual a la masa total dividida por el volumen:

$$\beta = \beta_0 \frac{b_0^2}{b_1^2} \left( 1 + \frac{n}{100} \frac{R_g}{R_a} \left( \frac{b_1^2}{b_0^2} \frac{\Theta_0}{\Theta} \frac{P}{P_0} - 1 \right) \right) \dots \dots (7)$$

Finalmente, la temperatura  $\Theta$  a la altura  $h$  puede ser encontrada usando la ecuación de balance de calor, en la cual se supone que el aire incorporado tiene la misma temperatura  $\Theta_q$  a cualquier altura y que la mezcla con él contenido de la columna ocurre con eficiencia. Si  $F$  es la fracción en peso de piroclastos que son bastantes pequeños para mantener el equilibrio térmico con los gases, entonces:

$$F C_s \Theta_0 \left( 1 - \frac{n}{100} \right) + C_g \Theta_0 \frac{n}{100} + C_a \Theta_q \frac{n}{100} \frac{R_g}{R_a} \left( \frac{b_1^2}{b_0^2} \frac{\Theta_0}{\Theta} \frac{P}{P_0} - 1 \right) = \Theta \left[ F C_s \left( 1 - \frac{n}{100} \right) + \left( g \frac{n}{100} + C_a \frac{n}{100} \frac{R_g}{R_a} \left( \frac{b_1^2}{b_0^2} \frac{\Theta_0}{\Theta} \frac{P}{P_0} - 1 \right) \right) \right] \dots \dots (8)$$

donde  $C_s$ ,  $C_g$  y  $C_a$  son los calores específicos (a presión constante) de la roca, gas volcánico y aire respectivamente.

Esta ecuación se rearranja para dar una ecuación cuadrática en  $\Theta$ .

Eligiendo apropiadamente las constantes  $C_s$ ,  $C_g$ ,  $C_a$ ,  $R_a$ ,  $F$ ,  $\Theta_0$  y  $g$ , las condiciones iniciales  $u_0$ ,  $\Theta_0$ ,  $n$ ,  $b_0$ ,  $\beta_0$ , y  $P_0$  y la variación de  $P$  con la altura, las ecuaciones (1), (5), (6), (7) y (8), se integran usando el método de diferencias finitas para obtener  $b$ ,  $u$ ,  $\Theta$  y  $\beta$  como una función de la altura.

### DISCRETIZACION

---

Para las ecuaciones (5) y (6) se utiliza un esquema explícito en diferencias finitas hacia adelante. Considerese la figura 1.

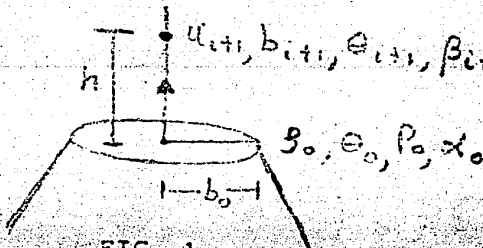


FIG. 1

Nuestro interés consiste en calcular la velocidad  $u_{i+1}$ , el radio  $b_{i+1}$ , la temperatura  $\Theta_{i+1}$  y la densidad de la mezcla  $\beta_{i+1}$  a cualquier altura  $h$ .

Para encontrar la velocidad  $u$  a la altura  $h$  utilizamos la ecuación (5).

$$u \frac{du}{dh} = -\frac{u^2}{\gamma b} - g(1-\frac{\alpha}{\beta}) \quad \dots \dots (5)$$

$$\frac{du}{dh} = -\frac{u}{\gamma b} - \frac{g}{u}(1-\frac{\alpha}{\beta})$$

Aproximando la derivada por medio de diferencias finitas,

$$\frac{u_{i+1} - u_i}{H} = \frac{u_i}{\gamma b_i} - \frac{g}{u_i}(1-\frac{\alpha_i}{\beta_i})$$

$$u_{i+1} = u_i - H \left( \frac{u_i}{\gamma b_i} + \frac{g}{u_i}(1-\frac{\alpha_i}{\beta_i}) \right) \quad \dots \dots (7)$$

La ecuación (9) es utilizada para calcular la velocidad en función de la altura. Hay que notar sin embargo, que para encontrar  $u_{i+1}$  es necesario contar con los valores de  $b_i$ ,  $\beta_i$  y  $\alpha_i$  para cada paso. Para esto, hacemos uso de las ecuaciones (6), (7) y (8).

Los valores de  $b$  son obtenidos con la ecuación (6)

$$-\frac{g}{\gamma^2}(1-\frac{\alpha}{\beta}) = u \frac{du}{dh} + \frac{(\frac{1}{2}u^2 + gh)}{b^2\beta} \frac{d(b^2\beta)}{dh} \quad \dots \dots (6)$$

utilizando (5)

$$-\frac{g}{\gamma^2}(1-\frac{\alpha}{\beta}) + \frac{u^2}{\gamma b} + \frac{g}{\gamma b}(1-\frac{\alpha}{\beta}) = \frac{(\frac{1}{2}u^2 + gh)}{b^2\beta} \frac{d(b^2\beta)}{dh}$$

$$\left[ g(1-\frac{1}{\gamma^2})(1-\frac{\alpha}{\beta}) + \frac{u^2}{\gamma b} \right] \left( \frac{b^2\beta}{\frac{1}{2}u^2 + gh} \right) = \frac{d(b^2\beta)}{dh}$$

de la ecuación (7)

$$\frac{d(b^2\beta)}{dh} = \frac{d}{dh} \left( \beta_0 b_0^2 \left( 1 - \frac{n}{100} \frac{R_g}{R_a} \left( \frac{b^2}{b_0^2} \frac{G_o}{G} \frac{P}{P_o} - 1 \right) \right) \right)$$

$$= \frac{\beta_0 b_0^2}{G} \frac{d}{dh} \left( 1 - \frac{n}{100} \frac{R_g}{R_a} \left( \frac{b^2}{b_0^2} \frac{\Theta_o}{\Theta} \frac{P}{P_o} - 1 \right) \right)$$

$$= \beta_0 b_0^2 \frac{n}{100} \frac{R_g}{R_a} \frac{d}{dh} \left( \frac{b^2}{b_0^2} \frac{G_o}{G} \frac{P}{P_o} - 1 \right)$$

$$= \beta_0 b_0^2 \frac{n}{100} \frac{R_g}{R_a} \frac{G_o}{b_0^2 P_o} \frac{d}{dh} \left( \frac{b^2 P}{\Theta} \right)$$

$$= K \frac{d}{dh} \left( \frac{b^2 P}{\Theta} \right); \quad K = \beta_0 b_0^2 \frac{n}{100} \frac{R_g}{R_a} \frac{G_o}{b_0^2 P_o}$$

$$= \frac{K}{\Theta^2} \left( \Theta \frac{d(b^2 P)}{dh} - b^2 P \frac{d\Theta}{dh} \right)$$

$$= \frac{K}{\Theta^2} \left( 2\Theta b P \frac{db}{dh} + b^2 \Theta \frac{dP}{dh} - b^2 P \frac{d\Theta}{db} \frac{db}{dh} \right)$$

$$\frac{d(b^2\beta)}{dh} = \frac{K}{\Theta^2} \left( 2\Theta b P - b^2 P \frac{d\Theta}{dh} \right) \frac{db}{dh} + \frac{K b^2}{\Theta} \frac{dP}{dh}$$

por tanto

$$\left( \frac{g}{\theta} \left( 1 - \frac{1}{q^2} \right) \left( 1 - \frac{\alpha}{\beta} \right) + \frac{u^2}{8b} \right) \left( \frac{b^2 \theta}{u^2/2 + gh} \right) = \frac{K}{\theta} \left( 2\theta b P - b^2 P \frac{d\theta}{db} \right) \frac{db}{dh} + \frac{kb^2}{\theta} \frac{dp}{dh}$$

$$\left( \frac{\theta^2}{K} \right) \left( g \left( 1 - \frac{1}{q^2} \right) \left( 1 - \frac{\alpha}{\beta} \right) + \frac{u^2}{8b} \right) \left( \frac{b^2 \theta}{u^2/2 + gh} \right) - \theta b^2 \frac{dp}{dh} = \left( 2\theta b P - b^2 P \frac{d\theta}{dh} \right) \frac{db}{dh}$$

$$\left( \frac{\theta^2}{K} \right) \left( g \left( 1 - \frac{1}{q^2} \right) \left( 1 - \frac{\alpha}{\beta} \right) + \frac{u^2}{8b} \right) \left( \frac{b^2 \theta}{u^2/2 + gh} \right) - \theta b^2 \frac{dp}{dh} \left( \frac{1}{2\theta b P - b^2 P \frac{d\theta}{ds}} \right) = \frac{db}{dh}$$

$$W_{1i} W_{2i} = \frac{db}{dh}$$

donde

$$W_{1i} = \left( \frac{\theta^2}{K} \right) \left( g \left( 1 - \frac{1}{q^2} \right) \left( 1 - \frac{\alpha_i}{\beta_i} \right) + \frac{u_i^2}{8b_i} \right) \left( \frac{b_i^2 \beta_i}{u_i^2/2 + gh} \right) - \theta_i b_i^2 \frac{dp}{dh}$$

$$W_{2i} = \frac{2\theta b_i P_i - b_i^2 P_i \frac{d\theta}{db}}{H}$$

aplicando diferencias finitas

$$\frac{b_{i+1} - b_i}{H} = W_{1i} W_{2i} \quad \dots \dots \quad (10)$$

$$\frac{b_{i+1}}{H} = b_i + H W_{1i} W_{2i} \quad \dots \dots \quad (10)$$

La ecuación (10) calcula el valor del radio  $b_{i+1}$  a cualquier altura. La expresión para la derivada  $\frac{d\theta}{db}$  que aparece en (10) se obtiene por medio de la ecuación (8), reorganizando se obtiene la siguiente ecuación cuadrática para  $\theta$ .

$$A\theta^2 + B\theta + C = 0$$

donde

$$A = \left( FC_s \left( 1 - \frac{K}{100} \right) + \frac{n}{100} \left( C_g - Ca \frac{R_g}{R_a} \right) \right) \quad \dots \dots \quad (11)$$

$$B = \left( Ca \frac{n}{100} \frac{R_g}{R_a} \left( \frac{b_o^2}{b_o^2} \frac{P}{P_o} \theta_o + \theta_a \right) - \left( FC_s G_o \left( 1 - \frac{n}{100} \right) + C_g G_o \frac{n}{100} \right) \right) \dots \dots \quad (12)$$

$$C = - \frac{Ca \theta_a n R_g b_o^2 P \theta_o}{100 R_o b_o^2 P_o} \quad \dots \dots \quad (13)$$

así las soluciones a la ecuación cuadrática serán:

$$\theta = \frac{-B \pm \sqrt{B^2 - 4AC}}{2A} \quad \dots \dots \quad (14)$$

La solución que corresponde a la situación física que se está estudiando es:

$$\theta = \frac{-B + \sqrt{B^2 - 4AC}}{2A}$$

De esta forma se obtiene  $\frac{d\theta}{db}$  como:

$$\frac{d\theta}{db} = -\frac{1}{2A} \frac{dB}{db} + \frac{1}{4A} \frac{1}{\sqrt{B^2 - 4AC}} \left( 2B \frac{dB}{db} - 4A \frac{dC}{db} \right) \dots \dots \quad (15)$$

con

$$\frac{d\beta}{db} = 2Ca \frac{n}{100} \frac{R_g}{Ra} \frac{P}{P_0} \frac{b}{b_0^2} \Theta_0 \quad \dots \dots (16)$$

$$\frac{dC}{db} = - \frac{2(Ca\Theta_0 n R_g b P \Theta_0)}{100 Ra b_0^2 P_0} \quad \dots \dots (17)$$

Para encontrar la temperatura  $\Theta$  a la altura  $h$ , se utiliza la ecuación (11) escribiéndola de la siguiente manera:

$$\Theta_{i+1} = \frac{-B_{i+1} + \sqrt{B_{i+1}^2 - 4AC_{i+1}}}{2A}$$

donde,

$$B_{i+1} = Ca \frac{n}{100} \frac{R_g}{Ra} \left( \frac{b_{i+1}}{b_0} \frac{P_{i+1}}{P_0} \Theta_0 + \Theta_a \right) - \left( F(s)\Theta_0 \left( 1 - \frac{n}{100} \right) + g\Theta_0 \frac{n}{100} \right)$$

$$C_{i+1} = \frac{Ca\Theta_0 n R_g b_{i+1}^2 P_{i+1} \Theta_0}{100 Ra b_0^2 P_0}$$

Note que  $A$  no depende de  $b$ . Finalmente para encontrar  $\beta$ , la ecuación (7) se escribe como sigue:

$$\beta_{i+1} = \beta_0 \frac{b_0^2}{b_{i+1}^2} \left( 1 - \frac{n}{100} \frac{R_g}{Ra} \left( \frac{b_{i+1}}{b_0^2} \frac{\Theta_0}{\Theta_{i+1}} \frac{P_{i+1}}{P_0} - 1 \right) \right)$$

Resumiendo, las ecuaciones que se resuelven son:

$$1) U \frac{du}{dh} = -\frac{u^2}{g} - g \left( 1 - \frac{\alpha}{\rho} \right)$$

$$2) \frac{db}{dh} = \left( \left( \frac{\Theta^2}{K} \right) \left( g \left( 1 - \frac{1}{\rho} \right) \left( 1 - \frac{\alpha}{\rho} \right) + \frac{u^2}{g} \right) \left( \frac{b^2 \beta}{2U^2 + gh} \right) - \Theta b^2 \frac{dp}{dh} \right) \left( \frac{1}{2\beta b^2 p^2 \rho^2 g} \right)$$

$$3) \Theta = \frac{-B + \sqrt{B^2 - 4AC}}{2A} \quad \text{con } A, B, C \text{ definidas en (11), (12), (13)}$$

$$4) \beta = \beta_0 \frac{b_0^2}{b^2} \left( 1 + \frac{n}{100} \frac{R_g}{Ra} \left( \frac{b^2}{b_0^2} \frac{\Theta_0}{\Theta} \frac{P}{P_0} - 1 \right) \right)$$

Aplicando el método de diferencias finitas en (1) y (2) obtenemos las ecuaciones análogas:

$$U_{i+1} = U_i - H \left( \frac{u_i}{2b_i} + \frac{g}{U_i} \left( 1 - \frac{\alpha_i}{\rho_i} \right) \right) \quad \dots \dots (i)$$

$$b_{i+1} = b_i + H (W_{1i} - W_{2i}) \quad \dots \dots (ii)$$

Dado que en el programa realizado el índice  $i$  corre desde cero, las ecuaciones (3) y (4) se reescriben de la siguiente forma:

$$\Theta_{i+1} = \frac{-B_{i+1} + \sqrt{B_{i+1}^2 - 4AC_{i+1}}}{2A} \quad \dots \dots (iii)$$

$$\beta_{i+1} = \beta_0 \frac{b_0^2}{b_{i+1}^2} \left( 1 + \frac{n}{100} \frac{R_g}{Ra} \left( \frac{b_{i+1}}{b_0^2} \frac{\Theta_0}{\Theta_{i+1}} \frac{P_{i+1}}{P_0} - 1 \right) \right) \quad (iv)$$

La secuencia que se sigue, es por tanto, calcular la velocidad  $u$ , después el radio de la columna  $b$ , posteriormente la temperatura  $\Theta$  y por último la densidad de la mezcla  $\beta$ . En todas las ecuaciones, las variaciones de  $P$  y  $\rho$  con respec-

to a la altura están dadas por,

$$P(h) = -6.957 h + 92000 \quad \dots \dots (A)$$

$$(h) = -8.5 \times 10E05 h + 1.2 \quad \dots \dots (B)$$

$P$  en  $\text{N/m}^2$  y  $\rho$  en  $\text{Kg/m}^3$

Cabe mencionar que ambas ecuaciones fueron obtenidas utilizando datos de presión y densidad para un rango de alturas de 0 a 10 Km.

DESCRIPCION DEL PROGRAMA.

=====

PROGRAMA COLUMNA.BAS

-----

El primer bloque formado de las líneas 660-680 pertenece a la lectura de datos, dichos datos son descritos en las líneas 260-540 con sus unidades correspondientes.

Las líneas 760-800 pertenecen a la elección del número de pasos y del intervalo entre pasos, así como la asignación de espacio en memoria para cada uno de los arreglos auxiliares que se utilizan.

En la línea 880 se asignan las condiciones iniciales al registro cero de los arreglos auxiliares ya que éstos representan el primer valor de los cuales se obtendrán los siguientes datos para cada paso siguiente.

En las líneas 980-1140 se asignan los valores de la presión atmosférica y de la densidad del aire para cada paso, o sea para cada altura mediante las ecuaciones A y B.

La ecuación i) correspondiente a la obtención del siguiente valor de la velocidad  $u$  para cada paso se desarrolla en las líneas 1440-1460.

El cálculo del valor del radio de la columna b o sea el desarrollo de la ecuación ii) se realiza en las líneas 1560-1980 usando además las ecuaciones 11, 12, 13, 14, 15, 16, 17, 18 para pasos intermedios.

Una vez obtenido el radio  $b(i+1)$  se puede calcular el valor de la temperatura de la columna, ya que  $b(i+1)$  está involucrado en la obtención de  $b(i+1)$ , este bloque corresponde a las líneas 2060-2280 del programa y resuelve la ecuación iii).

Al igual que la ecuación iii), la ecuación iv) que corresponde a la densidad de la mezcla  $t_e(i+1)$  involucra  $b(i+1)$  y se resuelve en las líneas 2350-2420.

Este ciclo se repite el número de veces que se pidió al principio del programa (número de pasos) en las líneas 760 dicho bloque empieza en la línea 1360 y termina en 2440.

La graficación de los datos corresponde a 2780-3360 obteniéndose el eje de las Y's en forma logarítmica con los valores iniciales normalizados en la unidad a la altura  $h=0$ .

## U S O D E L P R O G R A M A .

Esta rutina se ejecutará oprimiendo la opción 3 del menú principal.

Una vez que corre el programa aparecerá la siguiente pregunta:

N, U0, BO? .....(A)

Cabe señalar que el programa tomará los siguientes datos como constantes:

TE0 = 1100 ,temperatura inicial de la columna en °K .  
(temperatura característica de una columna  
de erupción de tipo pliniano).

BEO = 2300 ,densidad inicial de la columna en kg/m<sup>3</sup> .  
(densidad de riolita líquida).

CS = 1300 ,calor específico de la roca en J/kg°k  
(riolita)

CG = 4215.2 ,calor específico del gas volcánico  
en J/kg°k (vapor de agua).

CA = 2377 ,calor específico del aire en J/kg°k

RG = 461 ,constante gaseosa del gas en J/kg°k  
(vapor de agua).

RA = 287 ,constante gaseosa del aire en J/kg°k

F = .6 ,fracción en peso de piroclastos  
(según Sparks y Wilson (1976), F puede variar  
entre .6 y .7).

TEA = 293 ,temperatura del aire en °K  
(temperatura ambiente de 23°C )

q = 1 ,razón promedio de la velocidad de la  
columna a través del chorro respecto del  
valor central.(ya que el perfil de veloci-  
dad es plano y entonces q prácticamente es  
la unidad).

G = 9.8 ,valor de la aceleración de la gravedad  
en m/seg<sup>2</sup>

Estos datos se encuentran en la linea 3460 y pueden cam-  
biarse cuando se deseé.

Con respecto a la pregunta (A) :

N = porcentaje en peso de volátiles.  
(en este capítulo se manejan valores de N entre 1 y  
3 por ciento).

U0 = velocidad inicial de la columna a nivel del cráter  
en m/seg (manejamos velocidades entre 200 y 600 m/seg).

BO = radio inicial de la columna eruptiva en m  
(rango entre 50 y 400 m).

Después de dar los datos anteriores se introduce el número de  
pasos J que se calcularán.

Posteriormente se introduce a la rutina el intervalo k entre  
cada paso. En los casos que se trataron en este capítulo se  
encuentra que la convergencia en las soluciones corresponde a  
valores de k entre 25 y 100 m.

A continuación el programa imprimirá una tabla con los resul-  
tados siguientes:

# de paso	velocidad	radio de la colum.	temperatura la colum.	densidad de la colum.
I	U	B	TE	BE

Finalmente imprimirá una gráfica de radio (+), temperatura (.) velocidad (\*) y densidad de la columna (#) contra la altura de la columna. Estos parámetros se graficaron en un eje logarítmico normalizados en los valores iniciales.

#### E J E M P L O .

---

El ejemplo del cual se obtienen los resultados presentados al final de este capítulo tiene los siguientes datos:

(GRAFICA 1)

Velocidad inicial.  $u_0 = 400 \text{ m/seg}$

Temperatura inicial  $TE_0 = 1100 \text{ K}$   
de la columna.

Porcentaje en peso  $L \ N = .03$   
de volátiles.

Radio inicial de  $B_0 = 400 \text{ m}$   
la columna.

Densidad inicial de  $BE_0 = 2300 \text{ Kg/m}^3$   
la mezcla.

Calor específico a presión constante  
de la roca.  $CS = 1300 \text{ J/Kg K}$

Calor específico a calor constante  
del gas volcánico.  
(vapor de agua)

Calor específico a presión constante  
del aire.

Constante del gas.  $RG = 461 \text{ J/Kg K}$   
(vapor de agua)

Constante del aire.  $RA = 287 \text{ J/Kg K}$   
Fracción en peso  $F = .6$   
de piroclastos

Temperatura del aire  $TEA = 293 \text{ K}$

Razón promedio de la velocidad de la columna  
a través del chorro a la columna central.

Aceleración debido a la gravedad.  $G = 9.8 \text{ m/seg}^2$

Tomando valores de tablas de constantes físicas para rangos de alturas de 0 a 10 km, se ajustó la densidad del aire y la presión atmosférica a las ecuaciones A y B de líneas anteriores.

U	B	TE	DE
.00	400	1100	2700
.00	507.0774	614.5058	824.8358
1000	725.4146	736.0405	879.9189
1600	721.5071	829.2437	535.0106
2000	712.4581	708.7631	444.2232
2200	706.6408	930.9444	703.1433
2700	707.1977	1047.77	714.0367
4200	701.5330	1116.005	325.761
4800	701.2455	1104.518	102.8406
5200	701.0524	1064.055	574.2466
7400	703.740	1239.125	1024.07
6400	706.194	1409.148	1097.832
7200	709.2946	1497.043	1097.478
7800	712.8770	1555.51	1093.472
2400	717.2045	1709.115	1097.212
5000	723.9455	1940.444	1093.150
9500	727.242	2000.151	1093.082

$$W = 400 \quad N = .03 \quad D = 400 \quad WCD = 2700$$

.01

1

1

10

GRAFICA 1.

700  
720  
740  
760  
780  
800  
1200  
1500  
1800  
2100  
2400  
2700  
3000  
3300  
3600  
3900  
4200  
4500  
4800  
5100  
5400  
5700  
6000  
6300  
6600  
6900  
7200  
7500  
7800  
8100  
8400  
8700  
9000  
9300  
9600  
9900

DENSIDAD DE  
LA MEZCLA (B)

VELOCIDAD  
DE LA  
COLUMNNA  
(U)

TEMPERATURA  
DE LA  
COLUMNNA  
(θ)

RADIO DE  
LA COLUMNNA  
(b)

VARIACION DE LOS PARAMETROS B, U, θ, b CON LA ALTURA  
NORMALIZADAS A LA UNIDAD.

	R	TE	RF
0	400	100	2300
400	221	284.7117	245.2773
800	241	354.6693	103.3067
1200	222	397.0470	146.343
1600	285	471.2420	124.1031
2000	265	444.38	108.4524
2400	201	489.1860	96.30212
2800	198	517.5017	84.24344
3200	202	545.7021	77.54840
3600	585	575.1796	69.6948
4000	264	602.7910	72.5845
4400	286	640.9261	56.24519
4800	244	670.8691	50.15097
5200	211	711.5675	44.07451
5600	268	770.72	39.01564
6000	253	820.4595	37.44562
6400	221	850.9393	28.30884

U0= 400 N= .015 D0= 100 RFO= 2300

.01

10

1

1

300

600

900

1200

1500

1800

2100

2400

2700

3000

3300

3600

3900

4200

4500

4800

5100

5400

5700

6000

6300

6600

6900

7200

7500

7800

8100

8400

8700

9000

9300

9600

9900

10200

10500

10800

11100

11400

11700

12000

12300

12600

12900

13200

13500

13800

14100

14400

14700

15000

15300

15600

15900

16200

16500

16800

17100

17400

17700

18000

18300

18600

18900

19200

19500

19800

20100

20400

20700

21000

21300

21600

21900

22200

22500

22800

23100

23400

23700

24000

24300

24600

24900

25200

25500

25800

26100

26400

26700

27000

27300

27600

27900

28200

28500

28800

29100

29400

29700

30000

30300

30600

30900

31200

31500

31800

32100

32400

32700

33000

33300

33600

33900

34200

34500

34800

35100

35400

35700

36000

36300

36600

36900

37200

37500

37800

38100

38400

38700

39000

39300

39600

39900

40200

40500

40800

41100

41400

41700

42000

42300

42600

42900

43200

43500

43800

44100

44400

44700

45000

45300

45600

45900

46200

46500

46800

47100

47400

47700

48000

48300

48600

48900

49200

49500

49800

50100

50400

50700

51000

51300

51600

51900

52200

52500

52800

53100

53400

53700

54000

54300

54600

54900

55200

55500

55800

56100

56400

56700

57000

57300

57600

57900

58200

58500

58800

59100

59400

59700

60000

60300

60600

60900

61200

61500

61800

62100

62400

62700

63000

63300

63600

63900

64200

64500

64800

65100

65400

65700

66000

66300

66600

66900

67200

67500

67800

68100

68400

68700

69000

69300

69600

69900

70200

70500

70800

71100

71400

71700

72000

72300

72600

72900

73200

73500

73800

74100

74400

74700

75000

75300

75600

75900

76200

76500

76800

77100

77400

77700

78000

78300

78600

78900

79200

79500

79800

80100

80400

80700

81000

81300

81600

81900

82200

82500

82800

83100

83400

83700

84000

84300

84600

84900

85200

85500

85800

86100

86400

86700

</

	U	R	T <sub>E</sub>	DE
0	400	100	1100	2300
100	270	2743	1094.3580	504.9363
200	171	2618	1021.754	456.5316
300	147	1575	1039.609	547.844
400	137	2642	1068.49	481.3115
500	138	1924	1087.454	471.4779
600	115	1431	1097.003	390.7275
700	137	404	1086.441	355.9303
800	179	5571	1025.522	322.6861
900	143	2661	1085.594	367.3364
1000	145	2105	1085.245	375.7464
1100	149	6552	1094.537	339.7446
1200	152	51	1084.778	214.2902
1300	158	2681	1061.145	191.2716
1400	140	2604	1084.278	162.122
1500	124	5555	1084.02	146.2977
1600	169	7346	1063.983	124.7075

U<sub>0</sub> = 400 N = 1 R<sub>0</sub> = 100 D<sub>0</sub> = 2700

.1

.1

10

ALTIMETRICO (m)

700  
600  
500  
400  
300  
200  
100  
0

GRAFICA 3.

DENSIDAD  
DE LA MEZCLA:  
( $\beta$ )

VELOCIDAD  
DE LA  
COLUMNAS  
(U)

TEMPERATURA  
DE LA  
COLUMNAS  
(T<sub>E</sub>)

RADIO DE  
LA COLUMNA  
(D)

VARIACION DE LOS PARAMETROS  $\beta$ ,  $U$ ,  $T_E$ ,  $D$  CON LA ALTURA  
NORMALIZADAS A LA UNIDAD.

	U	R	TE	BE
0	500	100	1100	2300
400	391.6123	231.1593	1095.149	451.238
1200	297.1007	282.3561	1092.614	299.3474
1600	249.045	318.2519	1090.846	227.9398
2400	220.2674	344.4115	1089.594	172.4849
3000	207.1122	370.4475	1088.654	168.3472
3400	192.1125	392.5420	1087.847	150.0072
3600	189.2681	413.9714	1087.333	134.2112
4200	182.2177	415.1772	1086.918	121.6432
4800	182.2175	450.3505	1086.593	110.1783
5400	182.2695	462.3164	1086.188	99.40457
6000	187.6173	509.6309	1085.895	89.40625
6400	189.9156	537.9473	1085.64	79.77634
7200	182.9206	570.2629	1085.42	71.00387
7800	196.4987	570.2629	1085.271	62.40597
8400	200.5884	602.9437	1085.177	54.11929
9000	205.1801	653.9253	1084.950	46.07326
9600	210.3069	708.592	1084.950	

$$B = 100 \quad N = 1.03 \quad g = 100 \quad 100 = 2300$$

.01

Altura (m)

300  
600  
900  
1200  
1500  
1800  
2100  
2400  
2700  
3000  
3300  
3600  
3900  
4200  
4500  
4800  
5100  
5400  
5700  
6000  
6300  
6600  
6900  
7200  
7500  
7800  
8100  
8400  
8700  
9000  
9300  
9600  
9900

GRAFICA 4.

DENSIDAD DE  
LA MEZCLA (B)

VELOCIDAD  
DE LA  
COLUMNNA  
(U)

TEMPERATURA  
DE LA  
COLUMNNA  
(T)

RADIO  
DE LA  
COLUMNNA  
(R)

VARIACION DE LOS PARAMETROS B, U, T, g CON LA ALTURA.  
NORMALIZADAS A LA UNIDAD.

	B	TE	DE
100	100.707	100.5519	100.509
150	100.707	100.5520	100.525
200	100.5647	100.4573	100.486
250	100.774	100.8097	100.872
300	100.493	100.2465	100.159
350	100.7822	100.978	100.592
400	100.4045	100.7245	100.0106
450	100.4037	100.0140	100.0051
500	100.774	100.7719	100.766
550	100.5455	100.6930	100.693
600	100.7437	100.8466	100.8677
650	100.4568	100.5020	100.4113
700	100.4568	100.2784	100.118
750	100.5007	100.7334	100.7976
800	100.5029	100.7431	100.7801
850	100.8670	100.5925	100.7661

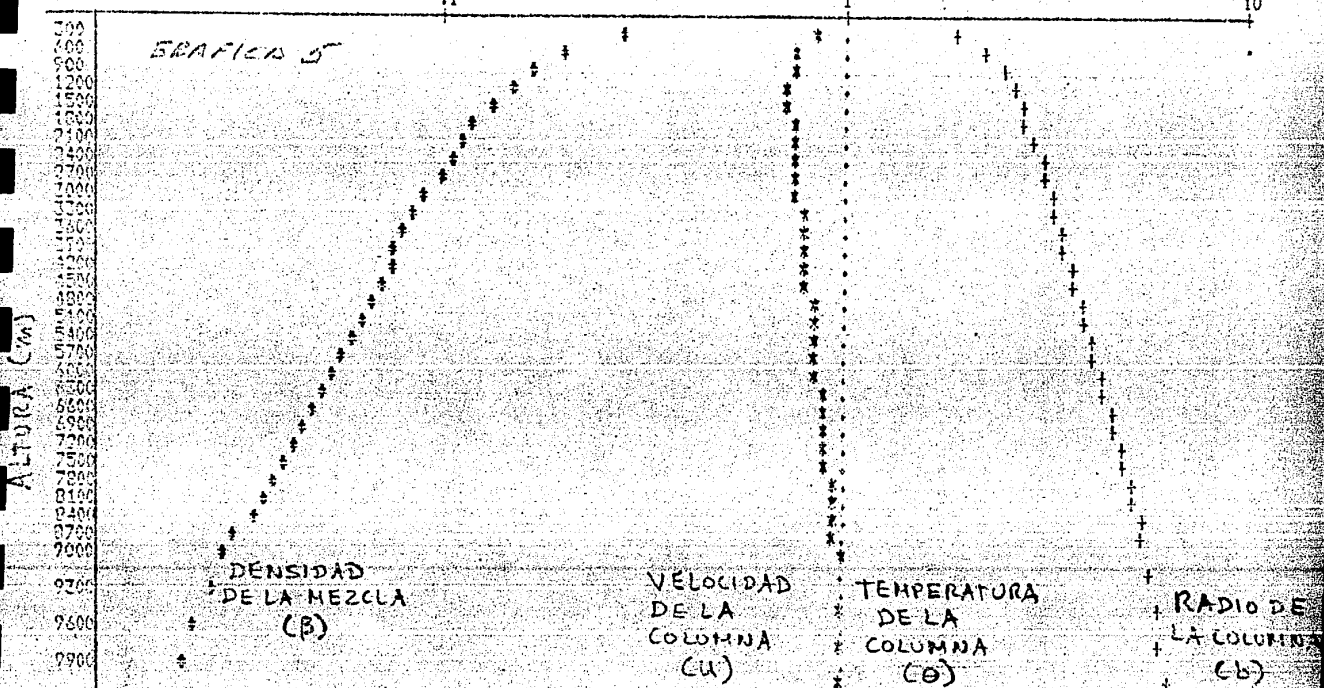
U0= 200 - = .03 DE= 100 DE0= 2300

.01

.1

10

GRÁFICA 5



VARIACION DE LOS PARAMETROS  $\beta$ ,  $u$ ,  $\theta$ ,  $b$  CON LA ALTURA NORMALIZADAS A LA UNIDAD.

## R E S U L T A D O S .

---

Las gráficas muestran la variación de los parámetros  $u, b, \theta$ , y  $G$  con la altura en una columna de erupción para la cual  $b_0 = 100$  m,  $u_0 = 400$  m/sec y  $n = 3$  por ciento en peso de agua.

Todas las funciones están normalizadas a 1.0 a la altura cero.

Se observa para el caso de la velocidad una rápida desaceleración inicial del material arrojado, etapa en la cual puede estar limitada la región de "empuje del gas" de la columna de erupción. Posteriormente ocurre un aumento en la velocidad del material, que por lo general no alcanza un valor cercano al inicial, al ir aumentando la altura de la columna.

La gráfica del radio de la columna con la altura muestra claramente un rápido aumento del primero en unos pocos kilómetros de altura.

Para el caso de la temperatura del material de la columna se aproxima a un valor constante con el incremento de la altura.

Finalmente se aprecia que la densidad total sufre siempre una disminución con el aumento de la altura, aunque más pronunciada a escasos kilómetros de altura.

Todos estos resultados son de suma importancia en la estimación de la máxima altura alcanzada por la columna de erupción dadas ciertas condiciones iniciales.

Los resultados obtenidos en este capítulo concuerdan con los que presenta Wilson (1978).

R E F E R E N C I A S .

=====

- Wilson, L., 1976. EXPLOSIVE VOLCANIC ERUPTIONS-III. PLINIAN ERUPTION COLUMNS. Geophys. J.R. astr. Soc. 45 , p 543-556.
- Lapidus, L. and Pinder G.F. 1982. NUMERICAL SOLUTION OF PARTIAL DIFFERENTIAL EQUATIONS IN SCIENCE AND ENGINEERING Wiley and Sons. New York.
- Smith, G.D., 1978. NUMERICAL SOLUTION OF PARTIAL DIFFERENTIAL EQUATIONS : FINITE DIFFERENCE METHOD. Clarendon Press, Oxford.
- Tijonov, A. and Samarsky, A. 1983. ECUACIONES DE LA FISICA MATEMATICA. Edit. Mir-Moscú.
- Hughes, W. 1978 . DINAMICA DE FLUIDOS . Edit. Mc. Graw Hill. Mexico.
- Weast, R.C., Selby, S. and Hodgman, C.D. 1962. HANDBOOK OF CHEMESTRY AND PHYSICS. The chemical Rubber Co.

## Capítulo V.

### BALISTICA EXTERNA DE EXPLOSIONES VOLCANICAS.

---

#### R E S U M E N .

---

En este capítulo se presenta, además del modelo físico matemático que describe las características del movimiento de los fragmentos que son arrojados desde el cráter en una erupción volcánica, el programa que resuelve el problema de balísticas externas.

Para calcular los ángulos, alturas, velocidades, distancias de expulsión y tiempos de vuelo de los fragmentos, se usa un sistema de ecuaciones de trayectorias balísticas para un cuerpo en el campo gravitacional de la Tierra sujeto a la resistencia de la atmósfera y las soluciones se obtienen por el método de Runge-Kutta. Los resultados obtenidos están de acuerdo con los de Steinberg y Lorenz (1983).

#### I N T R O D U C C I O N .

---

En una erupción explosiva, especialmente de tipo pliniano, se encuentra generalmente que los bloques de mayor masa son lanzados del cráter siguiendo una trayectoria balística, ya que el movimiento de este tipo de cuerpos se ve débilmente afectado por la presencia de la atmósfera, cosa que no sucede con las partículas más pequeñas que son transportadas a alturas considerables por la columna eruptiva para liberarse posteriormente de ella y caer en forma de lluvia. Por ésto, es posible modelar el movimiento de los bloques masivos como el de un cuerpo dentro del campo gravitacional de la Tierra y sujeto a la resistencia del aire.

En este capítulo se ha diseñado un algoritmo y un programa que resuelve un sistema de ecuaciones de trayectorias balísticas, considerando el efecto del aire, en un sistema de coordenadas en movimiento con el bloque que es lanzado desde el cráter. El programa calcula velocidades, ángulos de expulsión, alturas y distancias balísticas de expulsión de los fragmentos.

Puesto que las ecuaciones del problema balístico no se pueden resolver analíticamente, se ha usado el método de solución numérica de Runge-Kutta.

Las condiciones a la frontera que se consideran para la resolución del sistema de ecuaciones son: la velocidad inicial  $v_0$  del fragmento arrojado, el ángulo inicial de expulsión  $\theta_0$ , la altura inicial tomada como  $h=0$  y la distancia balística de expulsión inicial tomada también como  $l=0$ .

Es necesario aclarar que para resolver este problema de balísticas externas se ha supuesto por simplicidad que las formas de los fragmentos son isométricas y que su densidad es constante, de tal modo que el coeficiente balístico depende tan sólo del diámetro  $D$  de los fragmentos.

Las soluciones que se presentan al final cubren un amplio rango de valores de velocidades iniciales, ángulos iniciales de expulsión y coeficientes balísticos.

La importancia del problema de balísticas exteriores, considerando la resistencia del aire, radica en el hecho de que permite encontrar valores más reales de las velocidades iniciales de explosión, lo cual hace posible la determinación de la energía cinética de explosiones volcánicas.

### T E O R I A .

=====

Para describir la mecánica de los fragmentos más masivos que son arrojados del cráter, sujetos a la resistencia de la atmósfera, se resuelve el siguiente sistema de ecuaciones de trayectorias balísticas (Steinberg, 1983).

$$\frac{dV}{dt} = -c_0 \sigma q - g \sin \theta \quad \dots \dots (1)$$

$$\frac{d\theta}{dt} = -g \frac{\cos \theta}{V} + \frac{V}{R+h} \cos \theta \quad \dots \dots (2)$$

$$\frac{dh}{dt} = V \sin \theta \quad \dots \dots (3)$$

$$\frac{dl}{dt} = \frac{V \cos \theta}{R+h} R \quad \dots \dots (4)$$

donde

$V$  = velocidad del fragmento

$h$  = altura de explosión

$g_0$  = aceleración de la gravedad al nivel del mar

$g = g_0 (R/R_h)^2$  = aceleración de la gravedad

$\sigma = S/G = 3c/2 \rho_k D$  = coeficiente balístico

$c$  = coeficiente de arrastre

$S$  = área transversal del fragmento

$G$  = peso del fragmento

$\rho$  = densidad del aire

$q = \rho V^2/2$  = forma de arrastre

$t$  = tiempo

$\theta$  = ángulo de explosión

$l$  = distancia balística de explosión

$R$  = radio de la Tierra

$\rho_k$  = densidad del fragmento

$D$  = diámetro del fragmento

Las ecuaciones (1) a (4) se resuelven utilizando el método de Runge-Kutta. Las discretizaciones para  $V$ ,  $\theta$ ,  $h$  y  $l$  son las siguientes:

$$V_{j+1} = V_j + \frac{\Delta t}{6} (K_c + 2K_1 + 2K_2 + K_3)$$

$$\theta_{j+1} = \theta_j + \frac{\Delta t}{6} (m_0 + 2m_1 + 2m_2 + m_3)$$

$$h_{j+1} = h_j + \frac{\Delta t}{6} (n_0 + 2n_1 + 2n_2 + n_3)$$

$$l_{j+1} = l_j + \Delta t / 6 (S_0 + 2S_1 + 2S_2 + S_3)$$

donde

$$K_0 = F(t_i, v_i, \theta_i, h_i, l_i)$$

$$K_1 = F(t_i + \Delta t / 2, v_i + K_0 \Delta t / 2, \theta_i + m_0 \Delta t / 2, h_i + n_0 \Delta t / 2, l_i + S_0 \Delta t / 2)$$

$$K_2 = F(t_i + \Delta t / 2, v_i + K_1 \Delta t / 2, \theta_i + m_1 \Delta t / 2, h_i + n_1 \Delta t / 2, l_i + S_1 \Delta t / 2)$$

$$K_3 = F(t_i + \Delta t, v_i + K_2 \Delta t, \theta_i + m_2 \Delta t, h_i + n_2 \Delta t, l_i + S_2 \Delta t)$$

$$m_0 = G(t_i, v_i, \theta_i, h_i, l_i)$$

$$m_1 = G(t_i + \Delta t / 2, v_i + K_0 \Delta t / 2, \theta_i + m_0 \Delta t / 2, h_i + n_0 \Delta t / 2, l_i + S_0 \Delta t / 2)$$

$$m_2 = G(t_i + \Delta t / 2, v_i + K_1 \Delta t / 2, \theta_i + m_1 \Delta t / 2, h_i + n_1 \Delta t / 2, l_i + S_1 \Delta t / 2)$$

$$m_3 = G(t_i + \Delta t, v_i + K_2 \Delta t, \theta_i + m_2 \Delta t, h_i + n_2 \Delta t, l_i + S_2 \Delta t)$$

$$n_0 = H(t_i, v_i, \theta_i, h_i, l_i)$$

$$n_1 = H(t_i + \Delta t / 2, v_i + K_0 \Delta t / 2, \theta_i + m_0 \Delta t / 2, h_i + n_0 \Delta t / 2, l_i + S_0 \Delta t / 2)$$

$$n_2 = H(t_i + \Delta t / 2, v_i + K_1 \Delta t / 2, \theta_i + m_1 \Delta t / 2, h_i + n_1 \Delta t / 2, l_i + S_1 \Delta t / 2)$$

$$n_3 = H(t_i + \Delta t, v_i + K_2 \Delta t, \theta_i + m_2 \Delta t, h_i + n_2 \Delta t, l_i + S_2 \Delta t)$$

$$S_0 = L(t_i, v_i, \theta_i, h_i, l_i)$$

$$S_1 = L(t_i + \Delta t / 2, v_i + K_0 \Delta t / 2, \theta_i + m_0 \Delta t / 2, h_i + n_0 \Delta t / 2, l_i + S_0 \Delta t / 2)$$

$$S_2 = L(t_i + \Delta t / 2, v_i + K_1 \Delta t / 2, \theta_i + m_1 \Delta t / 2, h_i + n_1 \Delta t / 2, l_i + S_1 \Delta t / 2)$$

$$S_3 = L(t_i + \Delta t, v_i + K_2 \Delta t, \theta_i + m_2 \Delta t, h_i + n_2 \Delta t, l_i + S_2 \Delta t)$$

$$F = \frac{dv}{dt}, \quad G = \frac{d\theta}{dt}, \quad H = \frac{dh}{dt}, \quad L = \frac{dl}{dt}$$

## R E S T R I C C I O N E S .

---

Para resolver las ecuaciones de trayectorias balísticas fue necesario considerar solamente fragmentos con un diámetro mayor de 40 cm, ya que la trayectoria de éstos no se ve afectada por la acción del viento, por lo que pueden ser usados para cálculos balísticos.

Numerosas observaciones de erupciones han mostrado que las trayectorias de fragmentos con  $\sigma > 10^{-3}$  (diámetro menor de 40 cm) están sujetas a la acción del viento y en general, para  $\sigma > 10^{-3}$  las soluciones llegan a ser inestables para distancias de expulsión de más de 2 a 3 Km. Por tanto, fragmentos con  $\sigma > 10^{-3} \text{ m}^2/\text{kg}$  son inestables para la solución del problema de balísticas externas.

## D E S C R I P C I O N D E L P R O G R A M A .

---

La lectura de datos y la definición de los arreglos auxiliares se encuentran en las líneas 250-280.

Las condiciones iniciales que se usarán se definen en las líneas 340-480.

El desarrollo de las ecuaciones por el método de Runge-Kutta comienza en la línea 530, con la definición de las cuatro ecuaciones principales en las líneas 590-620. El desarrollo principal del método está en las líneas 630-1120. Los valores obtenidos en cada momento se guardan en los arreglos:

TH (ángulo), I. (altura), V (velocidad) y LGT (alcance).

La rutina de graficación que usará estos últimos arreglos viene desplegada en las líneas 1210-1840.

## U S O D E L P R O G R A M A .

Se ejecutará esta rutina cuando escogemos la opción 4 del menú principal. Una vez que corre el programa aparecerá la siguiente pregunta:

V0,TETHA0,S?

.....(A)

Cabe señalar que el programa tomará los siguientes datos como constantes:

W = 10 ,peso del cuerpo en kg

H0 = 0 ,altura inicial en m,tomada a nivel del cráter

G0 = 9.810001 ,aceleración de la gravedad a nivel del mar en m/seg<sup>2</sup>

R = 6372000 ,radio de la Tierra en m

RHOA = 1.22 ,densidad del aire en kg/m<sup>3</sup>

Estos datos se encuentran en la linea 1880 y pueden cambiarse cuando se deseé.

Con respecto a la pregunta (A):

V0 = velocidad inicial de expulsión de los fragmentos en m/seg

TETHA0 = ángulo inicial de expulsión de los fragmentos en grados,posteriormente el programa hace la conversión a radianes en la linea 370.

S = coeficiente balístico de los fragmentos en m<sup>2</sup>/kg

Después de dar los datos anteriores,se introduce el intervalo de tiempo DT en seg,que se usará en cada ejemplo.

Posteriormente se introduce a la rutina el número que indica cada cuantos pasos se escribirán los resultados.

En los casos que se trataron en este capítulo se encontró que las convergencias en las soluciones corresponden a valores de DT entre 0.25 y 2 seg.

A continuación el programa imprimirá una tabla con los resultados siguientes:

Angulo	Altura	Velocidad	alcance
TETHA	H	V	LGT

Finalmente imprimirá una gráfica de alcance a intervalos de tiempo iguales.

E J E M P L O .  
=====

El primer ejemplo del cual se presentan resultados (caso A) corresponde a los siguientes datos de entrada.

$U_0 = 100$  , velocidad inicial de expulsión de los fragmentos  
en m/seg

$\Theta_0 = 45$  , ángulo inicial de expulsión de los fragmentos en  
grados

$S = 0$  , coeficiente balístico de los fragmentos en  $m^2/kg$ .

$V_0 = 100$  m/s  $\theta_0 = 45^\circ$   $D = 1$   
 $C = 0$   $W = 10$   $H_0 = 0$

TIME = 1

0.79	2.60	100.00	0.00
0.71	65.81	93.39	70.71
0.63	121.80	87.24	141.42
0.55	157.09	81.89	212.13
0.47	204.37	77.40	282.83
0.39	230.94	73.95	357.54
0.31	247.70	71.70	424.24
0.23	254.55	70.75	494.95
-0.11	251.00	71.13	565.45
-0.24	239.14	72.84	635.75
-0.37	216.47	75.82	707.07
-0.49	194.32	79.89	777.77
-0.57	162.30	84.20	848.48
-0.63	90.49	90.70	919.19
-0.74	28.68	97.14	989.90
-0.82	-42.82	104.12	1060.61

21.22	63.65	106.11	148.85	190.99	233.43	254.65
0.00	42.44	94.69	127.73	169.77	212.21	

0  
 55.90593  
 121.8037  
 187.3965  
 204.2294  
 220.9702  
 247.7011  
 254.4547  
 251.7993  
 239.1447  
 216.4757  
 194.3252  
 162.3057  
 90.4952  
 28.6852  
 -42.8204

21.22	63.65	94.69	127.73	159.77	212.21	233.43
0.00	42.44	106.11	122.55	190.99	233.43	

CASO A. ALTURA DEL FRAGMENTO A INTERVALOS DE  
 TIEMPOS DE UN SEGUNDO PARA UNA VELOCI-  
 DAD INICIAL DE EXPULSION DE 100 m/s,  
 UN ANGULO INICIAL DE EXPULSION DE  $45^\circ$   
 Y UN COEFICIENTE BALLISTICO DE  $0 \text{ m}^2/\text{kg}$

$V_0 = 50$  TETHAO = .30 DT = 1  
S = .01 N = 10 110 = 0

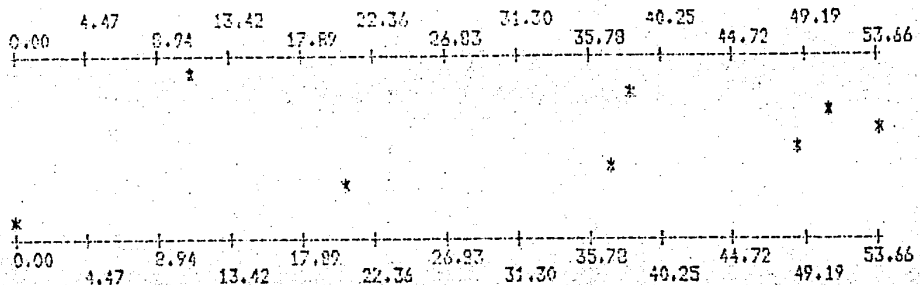
		119.57	
0.52	0.00	50.00	0.00
0.31	17.41	35.35	38.01
-0.00	22.51	22.56	68.64
-0.37	17.75	25.57	74.48
-0.69	4.58	19.16	116.60
-0.93	-15.69	22.10	175.44

CASA B. ALTURA DEL FRAGMENTO A INTERVALOS DE TIEMPOS DE UN SEGUNDO PARA UNA VELOCIDAD INICIAL DE EXPULSION DE 50 M/SEC UN ANGULO INICIAL DE EXPULSION DE 30° Y UN COEFICIENTE BALISTICO DE 0.01 M<sup>2</sup>/KG.

$V_0 = 100$  TETHAO =  $30^\circ$  DT = 1  
 $S = .01$  U = 10 H0 = 0

TIME = 1

0.50	0.00	100.00	0.00
0.49	34.80	59.53	67.44
0.47	56.38	41.63	114.57
0.45	57.66	35.77	150.74
0.43	47.41	32.13	130.74
0.41	38.14	29.31	205.75
0.39	12.19	20.63	270.73
-0.07	-14.21	32.78	244.00



CASO C. ALTURA DEL FRAGMENTO A INTERVALOS DE  
TIEMPOS DE UN SEGUNDO PARA UNA VELOCI-  
DAD INICIAL DE EXPULSION DE 100 M/SEG.  
UN ANGULO INICIAL DE EXPULSION DE  $30^\circ$   
Y UN COEFICIENTE BALISTICO DE  $0.01 m^2/kg$ .

$V_0 = 100$  TETHAO = 45 BT = 1

$C = .001$  W = 10  $M_0 = 0$

TIME = 1

0.72	0.00	100.00	0.00
0.77	53.91	77.00	133.70
0.82	115.96	77.00	194.11
0.88	154.09	62.45	255.78
0.94	155.01	57.77	212.95
0.21	159.26	52.19	340.76
0.04	206.39	53.42	221.47
-0.15	202.37	53.27	474.60
-0.32	191.01	53.27	521.87
-0.49	167.34	54.64	573.57
-0.66	138.74	55.26	620.57
-0.75	99.59	53.26	615.93
-0.88	53.24	57.77	709.29
-0.94	-2.82	72.55	

17.19	51.57	85.95	103.14	120.33	137.52	154.72	171.91	189.10	205.29
0.00	34.38	68.76							

0

\*  
13.90587  
114.7594  
154.0089  
182.0087  
199.7262  
206.2873  
203.4723  
191.0149  
169.3421  
138.7422  
99.57544  
53.2473  
-2.81455

*	*	*	*	*	*	*	*	*	*		
17.19	34.38	51.57	68.76	85.95	103.14	120.33	137.52	154.72	171.91	189.10	205.29
0.00											

CASO D: ALTURA DEL FRAGMENTO A INTERVALOS DE  
TIEMPOS DE UN SEGUNDO PARA UNA VELOCI-  
DAD INICIAL DE EXPULSION DE 100 m/sec,  
UN ANGULO INICIAL DE EXPULSION DE 45°  
Y UN COEFICIENTE BALISTICO DE 0.001 m²/kg

V<sub>0</sub> = 2000.000000 E<sub>0</sub> = 97.91 H<sub>0</sub> = 1  
S = .0001 W = 10 I<sub>0</sub> = 0 TIME = 1

0.74	973.47	440.07	1013.16				
0.57	2922.45	375.08	2852.73				
0.59	2940.24	325.14	2882.38				
0.44	3441.70	201.05	4977.42				
0.19	3251.94	242.02	5403.89				
0.17	4094.06	224.74	4721.79				
-0.01	4155.23	212.24	7184.02				
-0.20	4049.20	245.25	5021.52				
-0.30	3075.50	207.01	5807.08				
-0.35	2455.30	214.02	5558.55				
-0.45	2944.43	275.30	10270.53				
-0.82	3207.82	229.27	10945.43				
-0.92	1554.37	254.53	11582.80				
-1.00	692.42	279.24	12182.44				
	345.27	1038.91	1731.35	2423.90	3116.44	3008.98	
0.00	592.54	1385.08	2077.63	2770.17	3462.71	4155.25	

0

\* \* \*

342.5429

667.7255

773.4754

1241.592

1572.854

1797.834

2027.454

2454.195

2461.995

2650.009

2847.454

3009.472

3114.070

3302.384

7441.701

7451.584

7469.454

7784.291

3051.915

3224.481

3990.253

4043.274

4094.068

4113.164

4139.7

4152.810

4155.050

4147.829

4179.727

4104.100

4063.205

4022.933

3968.481

3904.945

3832.401

3751.120

7461.153

3530.512

3455.560

3339.591

3216.142

3004.993

2944.423

2776.721

2541.299

2470.041

2307.623

2150.057

1945.113

1755.197

1554.378

1348.940

1124.773

910.2123

697.1173

462.5020

225.4307

-37.07556

\* \* CASO E. ALTURA DEL FRAGMENTO A INTERVALOS DE TIEMPOS DE UN SEGUNDO PARA UNA VELOCIDAD INICIAL DE EXPULSION DE 2000 M/S, UN ANGULO DE INICIAL DE EXPULSION DE 45° Y UN COEFICIENTE BALISTICO DE 0.0001 m<sup>2</sup>/s<sup>2</sup>.

0.00 592.54 1385.08 2077.63 2770.17 3462.71 4155.25

## R E S U L T A D O S .

---

Los resultados obtenidos para las alturas y distancias de expulsión alcanzados por los fragmentos considerados, dada su velocidad y ángulo inicial de expulsión y su coeficiente balístico, están de acuerdo con los datos obtenidos por Steinberg y Lorenz (1983) y reportados en su artículo de balísticas externas de explosiones volcánicas. En ellos se muestra:

(1) Que la distancia de expulsión aumenta cuando el diámetro del fragmento también lo hace, manteniendo constante la velocidad y ángulo inicial de expulsión.

(2) Que la distancia de expulsión aumenta cuando la velocidad inicial se incrementa, manteniendo constante el ángulo inicial y el diámetro del fragmento.

(3) Que para fragmentos con diámetros de 0.04 m a 4 m la distancia máxima de expulsión es alcanzada para ángulos de expulsión de 20 a 55 grados, independientemente del valor de la velocidad inicial.

R E F E R E N C I A S .

=====

- Steinberg,G.S. and Lorentz,V. 1983. EXTERNAL BALLISTIC OF VOLCANIC EXPLOSIONS., Bull Volcano 1., Vol 46-4, p.333  
348.
- Carnahan,B., Luther,H.A. and Wilkes., 1969. APPLIED NUMERICAL METHODS. Wiley and Sons. New York.
- Rice,J.R.,1960. SPLIT RUNGE-KUTTA METHOD FOR SIMULTANEOUS EQUATIONS.J.Res.Nat.Bur.Sid.,64B p. 151-170.

A P E N D I C E I

---

PROGRAMAS DE COMPUTACION CORRESPONDIENTES  
A CADA CAPITULO.

# CAPITULO II

```

40 PROGRAMA.COLUMNA.BAS
20 KEY OFF
25 LIPIN1 CHRS(15)
27 WIDTH "LPT1:",132
30 COLOR 7,0
40 CLS
50
60 '*****' PROGRAMA QUE CALCULA LOS COEFICIENTES DE UNA ECUACION DE *****'
70 '*****' SEGUNDO GRADO, APLICA DICHA ECUACION PARA ENCONTRAR LAS *****'
80 '*****' VELOCIDADES Y PRESIONES A LO LARGO DE UN CONDUCTO VOLCANICO *****'
90 '*****' CUYA FORMA ESTA REGIDA POR LA ECUACION DE SEGUNDO GRADO. *****'
100 '*****' 120 '
130 '*****' ENCABEZADO DEL MENU PRINCIPAL *****'
140 '*****' DONDE VIENEN LAS DIFERENTES OPCIONES DEL PROGRAMA *****'
150 '*****' 170 '
160 LOCATE 2,20:COLOR 0,7:PRINT " MENU MAESTRO ":"COLOR 7,0
190 LOCATE 4,10:COLOR 0,7:PRINT " C ":"COLOR 7,0:PRINT " PARA ENCONTRAR COEFICIE
NTE'S"
200 LOCATE 6,10:COLOR 0,7:PRINT " I ":"COLOR 7,0:PRINT " PARA ENCONTRAR PRESIONE
S Y PROFUNDIDADES INICIALES"
210 LOCATE 8,10:COLOR 0,7:PRINT " V ":"COLOR 7,0:PRINT " RUTINA PARA CALCULAR Y
GRAFICAR VELOCIDADES Y PRESIONES
220 LOCATE 10,10:COLOR 0,7:PRINT " F ":"COLOR 7,0:PRINT " FIN DE SESION"
230 '
240 '*****' RUTINA DE ELECCION DE OPCION *****'
250 '*****' PARA DESARROLLAR EL BLOQUE ELEGIDO *****'
260 '*****' 270 '
280 '
290 LOCATE 12,10:PRINT "OPRIMA SU Opcion";
300 US=INPUT$(1)
310 IF US="C" THEN 430
320 IF US="P" THEN 830
330 IF US="V" THEN 1500
340 IF US="F" THEN RUN "SISTEMA"
350 GOTO 300
360 '
370 '*****' RUTINA PARA CALCULAR COEFICIENTES DE UNA *****'
380 '*****' ECUACION DE SEGUNDO GRADO *****'
390 '*****' 400 '
410 '*****' DATOS N PUNTOS DE LA CURVA *****'
420 '
430 CLS
440 LOCATE 2,10:COLOR 0,7:PRINT " RUTINA PARA CALCULAR COEFICIENTES DE UNA ECU
ACI ON DE SEGUNDO GRADO ":"COLOR 7,0
450 LOCATE 4,5:PRINT " EN SIGUIENTE DEME DE ACCESARSE LOS N PUNTOS DE LA CURVA A AJ
USTAR"
460 LOCATE 7,5:INPUT "DARE EL NUMERO N DE PUNTOS"
470 IF N <=0 THEN LOCATE 9,5:COLOR 0,7:PRINT " ERROR, NUMERO ERRONEO, INTENTE DE N
UEVO ":"COLOR 7,0:FOR J=1 TO 3000:NEXT:LOCATE 9,5:PRINT STRING$(60," "):LOCATE 7,
5:PRINT STRING$(70," "):GOTO 460
480 DIM X(N),Y(N)
490 FOR I=1 TO N
500 CGH=0,7:PRINT "PUNTO: "
510 INPUT "DARE LA VARIABLE EN X":X(I)
520 INPUT "DARE LA VARIABLE EN Y":Y(I)
530 NEXT
540 FOR I=1 TO N
550 F1#=I#X(I)
560 F2#=I#Y(I)
570 F3#=F3#+(X(I)*Y(I))
580 F4#=F4#+(X(I))^2
590 F5#=F5#+(X(I)^2)*Y(I)
600 F6#=F6#*(X(I)^3)
610 F7#=F7#*(X(I)^4)
620 NEXT
630 D1#=(X(0)*(F4#*F7#)-(F5#*F6#))-(F1#*(F1#*F7#)-(F4#*(F1#*F6#)))+(F4#*((F1#*F7#)-(F4#
*F6#)))
640 D2#=(F2#*((F1#*F7#)-(F4#*F6#)))-(F1#*((F3#*F7#)-(F5#*F6#)))+(F4#*((F3#*F7#)-(F4#
*F6#)))
650 D3#=(F3#*((F3#*F7#)-(F5#*F6#)))-(F1#*((F1#*F7#)-(F4#*F6#)))+(F4#*((F1#*F5#)-(F
4#*F3#)))
660 D4#=(X(3)*(F4#*F3#)-(F6#*F2#))-(F1#*((F1#*F5#)-(F4#*F3#)))+(F2#*((F1#*F3#)-(F
4#*F2#)))
670 K0#=U3#/U1#:K1#=U3#/U1#:K2#=U4#/U1#
680 '

```

```

590 'CCCCC AQUI ALMACENAMOS LOS RESULTADOS OBTENIDOS PARA LOS COEFICIENTES
600 '
610 PRINT 'LOS COEFICIENTES DEL EQUILIBRIO SON LOS SIGUIENTES: '
620 PRINT 'TERMO CONSTANTE (K0)= ' K0
630 PRINT 'TERMO LINEAL (K1)= ' K1
640 PRINT 'TERMO CUADRATICO (K2)= ' K2
650 COLOR 0,7:PRINT 'OPRIERA CUALQUIER TECLA PARA CONTINUAR ::COLOR 7,0
660 US=INPUT$(1)
670 GUN
680 '
690 'XXXXXXXXXXXXXXXXXXXXXXXXXXXXXXXXXXXXXXXXXXXXXXXXXXXXXXXXXXXXXX
700 'XXXXXXXXXXXXXXXXXXXXXXXXXXXXXXXXXXXXXXXXXXXXXXXXXXXXXXXXXXXXXX
710 'XXXXXXXXXXXXXXXXXXXXXXXXXXXXXXXXXXXXXXXXXXXXXXXXXXXXXXXXXXXXXX
720 'XXXXXXXXXXXXXXXXXXXXXXXXXXXXXXXXXXXXXXXXXXXXXXXXXXXXXXXXXXXXXX
730 'XXXXXXXXXXXXXXXXXXXXXXXXXXXXXXXXXXXXXXXXXXXXXXXXXXXXXXXXXXXXXX
740 'XXXXXXXXXXXXXXXXXXXXXXXXXXXXXXXXXXXXXXXXXXXXXXXXXXXXXXXXXXXXXX
750 'XXXXXXXXXXXXXXXXXXXXXXXXXXXXXXXXXXXXXXXXXXXXXXXXXXXXXXXXXXXXXX
760 'XXXXXXXXXXXXXXXXXXXXXXXXXXXXXXXXXXXXXXXXXXXXXXXXXXXXXXXXXXXXXX
770 'XXXXXXXXXXXXXXXXXXXXXXXXXXXXXXXXXXXXXXXXXXXXXXXXXXXXXXXXXXXXXX
780 'XXXXXXXXXXXXXXXXXXXXXXXXXXXXXXXXXXXXXXXXXXXXXXXXXXXXXXXXXXXXXX
790 'XXXXXXXXXXXXXXXXXXXXXXXXXXXXXXXXXXXXXXXXXXXXXXXXXXXXXXXXXXXXXX
800 'XXXXXXXXXXXXXXXXXXXXXXXXXXXXXXXXXXXXXXXXXXXXXXXXXXXXXXXXXXXXXX
810 'XXXXXXXXXXXXXXXXXXXXXXXXXXXXXXXXXXXXXXXXXXXXXXXXXXXXXXXXXXXXXX
820 '
830 CLS
840 LOCATE 2,10 :COLOR 0,7:PRINT ' * RUTINA PARA ENCONTRAR PRESIONES Y PROFUNDIADORES INICIALES
850 ADES INICIALES * :COLOR 7,0
850 '
860 'XXXXXXXXXXXXXXXXXXXXXXXXXXXXXXXXXXXXXXXXXXXXXXXXXXXXXXXXXXXXXX
870 'XXXXXXXXXXXXXXXXXXXXXXXXXXXXXXXXXXXXXXXXXXXXXXXXXXXXXXXXXXXXXX
880 'XXXXXXXXXXXXXXXXXXXXXXXXXXXXXXXXXXXXXXXXXXXXXXXXXXXXXXXXXXXXXX
890 'XXXXXXXXXXXXXXXXXXXXXXXXXXXXXXXXXXXXXXXXXXXXXXXXXXXXXXXXXXXXXX
900 'XXXXXXXXXXXXXXXXXXXXXXXXXXXXXXXXXXXXXXXXXXXXXXXXXXXXXXXXXXXXXX
910 'XXXXXXXXXXXXXXXXXXXXXXXXXXXXXXXXXXXXXXXXXXXXXXXXXXXXXXXXXXXXXX
920 'XXXXXXXXXXXXXXXXXXXXXXXXXXXXXXXXXXXXXXXXXXXXXXXXXXXXXXXXXXXXXX
930 'XXXXXXXXXXXXXXXXXXXXXXXXXXXXXXXXXXXXXXXXXXXXXXXXXXXXXXXXXXXXXX
940 'XXXXXXXXXXXXXXXXXXXXXXXXXXXXXXXXXXXXXXXXXXXXXXXXXXXXXXXXXXXXXX
950 'XXXXXXXXXXXXXXXXXXXXXXXXXXXXXXXXXXXXXXXXXXXXXXXXXXXXXXXXXXXXXX
960 'XXXXXXXXXXXXXXXXXXXXXXXXXXXXXXXXXXXXXXXXXXXXXXXXXXXXXXXXXXXXXX
970 'XXXXXXXXXXXXXXXXXXXXXXXXXXXXXXXXXXXXXXXXXXXXXXXXXXXXXXXXXXXXXX
980 'XXXXXXXXXXXXXXXXXXXXXXXXXXXXXXXXXXXXXXXXXXXXXXXXXXXXXXXXXXXXXX
990 'XXXXXXXXXXXXXXXXXXXXXXXXXXXXXXXXXXXXXXXXXXXXXXXXXXXXXXXXXXXXXX
1000 'XXXXXXXXXXXXXXXXXXXXXXXXXXXXXXXXXXXXXXXXXXXXXXXXXXXXXXXXXXXXXX
1010 '
1020 'XXXXXXXXXXXXXXXXXXXXXXXXXXXXXXXXXXXXXXXXXXXXXXXXXXXXXXXXXXXXXX
1030 'XXXXXXXXXXXXXXXXXXXXXXXXXXXXXXXXXXXXXXXXXXXXXXXXXXXXXXXXXXXXXX
1040 'XXXXXXXXXXXXXXXXXXXXXXXXXXXXXXXXXXXXXXXXXXXXXXXXXXXXXXXXXXXXXX
1050 'XXXXXXXXXXXXXXXXXXXXXXXXXXXXXXXXXXXXXXXXXXXXXXXXXXXXXXXXXXXXXX
1060 'XXXXXXXXXXXXXXXXXXXXXXXXXXXXXXXXXXXXXXXXXXXXXXXXXXXXXXXXXXXXXX
1070 'XXXXXXXXXXXXXXXXXXXXXXXXXXXXXXXXXXXXXXXXXXXXXXXXXXXXXXXXXXXXXX
1080 '
1090 SCR�=2000:PC$=1.013*(10)^5:G=/.810001
1100 DIM T1$(30),T2$(30),T3$(30),D$(7,30),DE$(7,30)
1110 S#=4,E#10^(-6)
1120 SF=260
1130 X=.77
1140 R=461
1150 T=1123
1160 '
1170 'XXXXXXXXXXXXXXXXXXXXXXXXXXXXXXXXXXXXXXXXXXXXXXXXXXXXXX
1180 'XXXXXXXXXXXXXXXXXXXXXXXXXXXXXXXXXXXXXXXXXXXXXXXXXXXXXX
1190 'XXXXXXXXXXXXXXXXXXXXXXXXXXXXXXXXXXXXXXXXXXXXXXXXXXXXXX
1200 '
1210 PRINT 'N' TAB(20) "PT(LARS)* TAB(40) "N"
1220 FOR I=1 TO 30
1230 N=.005$1
1240 PFF=((1-X)*(NS$*R3$))/((X*(1-N))
1250 MTF=PFF/10$5
1260 NP$=NS$*PFF*(PFF)+N
1270 PRINT USING "###.###";NP$:PRINT TAB(33) USING "####.####";NP$
1280 T1$(I)=R:T2$(I)=PFF:T3$(I)=N:I
1290 NEXT I
1300 FOR J=1 TO 7
1310 SF#+5000000*(J-1)
1320 PRINT TAB(20) "PARA UNA PT= " (J-1)^50 " BARS"
1330 PRINT TAB(3) "N" TAB(15) "N" TAB(30) "PE" TAB(51) "DE" TAB(70) "BS"
1340 FOR K=1 TO 30
1350 PLF#=T2$(K)*PFF
1360 DE$(J,K)=(PLF*(J-1)^50)/(SCR#*G)
1370 DE$(J,K)=(((T3$(K)/S)^2)-(PFS$)*PFF)/(SCR#*G)
1380 PRINT TAB(2) USING "#.###";DE$(J,K):PRINT TAB(10) USING "#.###";T3$(K):PRINT
1390 NT DE$(J,K) USING "#.###";(T3$(K)/S)^2:PRINT TAB(35) USING "#.###";DE
1400 #(J,K):PRINT TAB(55) USING "#.###";DE$(J,K)
1410 NEXT K
1420 NEXT J
1430 COLOR 0,7 : PRINT 'OPRIERA CUALQUIER TECLA PARA CONTINUAR :: COLOR 7,0
1440 US=INPUT$(1)
1450 GOTO 10
1460 '

```

```

1460 '***** RUTINA PARA CALCULAR VELOCIDADES Y PRESIONES ***** 1460
1470 '***** EN FUNCION DE LA PROFUNDIDAD ***** 1470
1480 '***** 1480
1490 '***** 1490
1500 CLS
1510 LOCATE 2,10 :COLOR 0,7:PRINT * * RUTINA PARA CALCULAR VELOCIDADES Y PRESION
1520 EN FUNCION DE LA PROFUNDIDAD 3 ::COLOR 7,0
1530 COLOR 7,0
1540 '*****LECTURA DE DATOS***** 1540
1550 '*****LECTURA DE DATOS***** 1550
1560 '*****LECTURA DE DATOS***** 1560
1570 '*****RESTORE 2360***** 1570
1580 READ ETAE,ETAF,FO,R,T,SR,G,RO
1590 '
1600 INPUT "VELOCIDAD INICIAL:";V0
1602 INPUT "INTERVALO ENTRE CADA PASO";A
1603 INPUT "COEFICIENTES PRIMERA CURVA(KA,KB,KC)":KA,KB,KC
1604 INPUT "COEFICIENTES SEGUNDA CURVA(KD,KE,KF)":KD,KE,KF
1605 INPUT "CONTENIDO DE GAS EXSUOLTO";N
1606 INPUT "PRESION INICIAL";PO
1607 INPUT "PROFUND. DE EXSOLUCION, FRAGMENTACION, CAMBIO DE, DF, DC":DF,DC
1610 '***** 1610
1620 '***** 0=VELOCIDAD INICIAL (m/s) 1620
1630 '***** A=INTERVALO ENTRE CADA PASO (m) 1630
1640 '***** KA,KB,KC COEFICIENTES DE LA PRIMERA CURVA 1640
1650 '***** KD,KE,KF COEFICIENTES DE LA SEGUNDA CURVA 1650
1660 '***** ETAE,ETAF DENSIDADES EN LA SUPERFICIE DE 1660
1670 '***** EXSOLUCION, FRAGMENTACION RESPECTIVAMENTE 1670
1672 '***** EN Pas. 6 seg 1672
1680 '***** FO COEFICIENTE INICIAL DE FRICTION (ADIMENSIONAL) 1680
1690 '***** K: CONSTANTE UNIVERSAL DEL GAS: J/Kg K 1690
1700 '***** T: TEMPERATURA INICIAL (K) 1700
1710 '***** N: CONTENIDO DE PESO (ADIMENSIONAL) 1710
1720 '***** FRACCION DEL MAGNA EN FASE LIQUIDA (kg/m^3) 1720
1730 '***** SH: DENSIDAD DEL MAGNA EN FASE LIQUIDA (kg/m^3) 1730
1740 '***** PO: PRESION INICIAL (PARS) 1740
1750 '***** G: GRAVEDAD TERRESTRE (m/s^2) 1750
1760 '***** DF, DC Y LAS PROFUNDIDADES DE EXSOLUCION, 1760
1770 '***** FRAGMENTACION Y CAMBIO RESPECTIVAMENTE (m) 1770
1780 '***** RD: DENSIDAD DEL MAGNA (kg/m^3) 1780
1790 '***** 1790
1800 '***** 1800
1810 '***** FF, M1 Y Y1: ARREGLOS AUXILIARES 1810
1820 '***** 1820
1830 '***** 1830
1840 '***** 1840
1850 DIM FM(2),M1(500),Y1(2)
1860 '
1870 '*****APERTURA DEL ARCHIVO DONDE SE GUARDAN LOS DATOS QUE 1870
1880 '***** SE GRÁFICARAN MAS ADELANTE 1880
1890 '***** 1890
1900 '***** 1900
1910 OPEN "R",1,"MCASO01.MAT":132
1930 FIELD 1,3 AS XA,15 AS LC,3 AS XR,15 AS DS,3 AS XC,15 AS ES,78 AS RE
1940 LSET LC="PROFUNDIDAD":LSET DS="VELOCIDAD":LSET ES=" PRESION"
1950 LSET XA="":LSET XC="":LSET RE=STRINGS(78," ")
1960 PUT 1,1
1970 '
1980 '*****INICIO DEL BLOQUE DE CALCULO***** 1980
1990 '*****CON LAS CORRECCIONES INICIALES***** 1990
2000 '***** 2000
2010 '***** 2010
2020 '
2030 Z#=0
2040 F1#=0
2050 RA1=SQR(R*T/N)
2060 UC1=(KA*15)*(1-(1-N)*P0)/(SH*G*T)
2070 Y1(1)=U0:Y1(2)=0
2080 M=0
2090 ETAE=ETAE*KA+K1-KM:K2=KC*P2=SQR(N*M*T)
2100 PRINT " ", " ", " ", " "
2110 PRINT Z#,Y1(1),Y1(2)
2120 '
2130 '*****PLANO PRINCIPAL DE CALCULO***** 2130
2140 '***** 2140
2150 '***** 2150
2160 '***** 2160
2170 FOR J=1 TO (M#)/A

```

```

1800 IF J=1 THEN 2200
1890 IF ZP < DOL THEN K0=KA:K1=KD:K2=KC ELSL K0=KD:K1=KE:K2=KF
1970 IF ZP < DFL THEN ETA=ETAF
2210 F0=((K0*ETA)/(((K0*(K1+ZP)+(K2*(ZP/2)))*(K0*Y1(1))))*F0
2220 UC4=(SUS((RNT)/N)):Z=((1-N)*Y4(2))/(SUS(RNT)))
2230 PI=K0*(K1+ZP)+((K2*ZP/2)):M1=K1*(2*K2*S*)
2240 FS=V1/(4*DP4):F12=FS*Y7(1)^3
2250 F2=Z^3*(UC4^2/V1^2)
2260 F3=Z^2*PL4*Z^3+F3*DP4
2270 F4=((UC4^2-(Y1(1)^2))
2280 F1(1)=(F1+((0-(F2*DP4))+Y4(1)))/F4
2290 FM12=((UC4^2*((13-15)*Y1(1)^2)-G)*Y7(2))/(HE*F4))
2300 '
2310 '***** METODO DE RUNGE-KUTTA PARA CADA PASO
2320 '***** METODO DE RUNGE-KUTTA PARA CADA PASO
2330 '
2340 '
2350 ON H+1 GOTO 2360,2440,2500,2570
2360 FOR J1=1 TO 2
2370 SA1(Y1)=Y1(J1)
2380 PH4(J1)=F4(J1)
2390 Y1(J1)=SA1(J1)+(.5)*HE*F1(J1)
2400 NEXT J1
2410 ZT=Z+H*.5*H
2420 H=H*1
2430 GOTO 2350
2440 FOR J1=1 TO 2
2450 PH5(J1)=PH4(J1)+(2*F4(J1))
2460 Y1(J1)=SA1(J1)+(.5*HE*F1(J1))
2470 NEXT J1
2480 H=H*1
2490 GOTO 2350
2500 FOR J1=1 TO 2
2510 PH6(J1)=PH5(J1)+(2*F5(J1))
2520 Y1(J1)=SA1(J1)+(.5*HE*F1(J1))
2530 NEXT J1
2540 ZT=Z+H*.5*H
2550 H=H*1
2560 GOTO 2350
2570 FOR J1=1 TO 2
2580 Y1(J1)=SA1(J1)+((PH5(J1)+F6(J1))*H)/6
2590 NEXT J1
2600 W1(1)=Y1(1)
2610 W1(2)=Y1(2)
2620 M1(3)=Z
2630 H=0
2640 '
2650 '***** ESCRITURA DE DATOS Y GRABADO DE LOS MISMO EN EL ARCHIVO
2660 '***** ESCRITURA DE DATOS Y GRABADO DE LOS MISMO EN EL ARCHIVO
2670 '
2680 '
2690 PRINT W1(1),W1(2),W1(3)
2700 LS1T CS=S1B$((W1(3))):LS1T DS=S1B$((W1(1))):LS1T ES=S1B$((W1(2))):LS1T RES=STRING
$178,""
2710 LS1T XAS="";LS1T XPS="";LS1T XC$=" "
2720 PUT 1,H1
2730 REM PRINT "P,I,S1,N," H;"?";"S1";"N"
2740 NEXT J
2750 CLOSL
2760 '
2770 '***** FIN DE BLOQUE DE CALCULO MEDIANTE RUNGE-KUTTA
2780 '
2790 '
2800 '
2810 '
2820 '
2830 '
2840 '
2850 '
2860 DATA 100000,.00002,.01,451,1123,2400,5.21,2300
2870 '
2880 '
2890 '
2900 '
2910 '
2920 '
2930 '
2940 '
2950 DATA A1,A2,A3,A4,A5,A6,A7,A8,A9,A10,A11,A12,A13,A14,A15,A16,A17,A18,A19,A20,A21,A22,A23,A24,A25,A26,A27,A28,A29,A30,A31,A32,A33,A34,A35,A36,A37,A38,A39,A40,A41,A42,A43,A44,A45,A46,A47,A48,A49,A50,A51,A52,A53,A54,A55,A56,A57,A58,A59,A60,A61,A62,A63,A64,A65,A66,A67,A68,A69,A70,A71,A72,A73,A74,A75,A76,A77,A78,A79,A80,A81,A82,A83,A84,A85,A86,A87,A88,A89,A89,A90,A91,A92,A93,A94,A95,A96,A97,A98,A99,A100,A101,A102,A103,A104,A105,A106,A107,A108,A109,A109,A110,A111,A112,A113,A114,A115,A116,A117,A118,A119,A119,A120,A121,A122,A123,A124,A125,A126,A127,A128,A129,A129,A130,A131,A132,A133,A134,A135,A136,A137,A138,A139,A139,A140,A141,A142,A143,A144,A145,A146,A147,A148,A149,A149,A150,A151,A152,A153,A154,A155,A156,A157,A158,A159,A159,A160,A161,A162,A163,A164,A165,A166,A167,A168,A169,A169,A170,A171,A172,A173,A174,A175,A176,A177,A178,A179,A179,A180,A181,A182,A183,A184,A185,A186,A187,A188,A189,A189,A190,A191,A192,A193,A194,A195,A196,A197,A198,A199,A199,A200,A201,A202,A203,A204,A205,A206,A207,A208,A209,A209,A210,A211,A212,A213,A214,A215,A216,A217,A218,A219,A219,A220,A221,A222,A223,A224,A225,A226,A227,A228,A229,A229,A230,A231,A232,A233,A234,A235,A236,A237,A238,A239,A239,A240,A241,A242,A243,A244,A245,A246,A247,A248,A249,A249,A250,A251,A252,A253,A254,A255,A256,A257,A258,A259,A259,A260,A261,A262,A263,A264,A265,A266,A267,A268,A269,A269,A270,A271,A272,A273,A274,A275,A276,A277,A278,A279,A279,A280,A281,A282,A283,A284,A285,A286,A287,A288,A289,A289,A290,A291,A292,A293,A294,A295,A296,A297,A298,A299,A299,A300,A301,A302,A303,A304,A305,A306,A307,A308,A309,A309,A310,A311,A312,A313,A314,A315,A316,A317,A318,A319,A319,A320,A321,A322,A323,A324,A325,A326,A327,A328,A329,A329,A330,A331,A332,A333,A334,A335,A336,A337,A338,A339,A339,A340,A341,A342,A343,A344,A345,A346,A347,A348,A349,A349,A350,A351,A352,A353,A354,A355,A356,A357,A358,A359,A359,A360,A361,A362,A363,A364,A365,A366,A367,A368,A369,A369,A370,A371,A372,A373,A374,A375,A376,A377,A378,A379,A379,A380,A381,A382,A383,A384,A385,A386,A387,A388,A389,A389,A390,A391,A392,A393,A394,A395,A396,A397,A398,A399,A399,A400,A401,A402,A403,A404,A405,A406,A407,A408,A409,A409,A410,A411,A412,A413,A414,A415,A416,A417,A418,A419,A419,A420,A421,A422,A423,A424,A425,A426,A427,A428,A429,A429,A430,A431,A432,A433,A434,A435,A436,A437,A438,A439,A439,A440,A441,A442,A443,A444,A445,A446,A447,A448,A449,A449,A450,A451,A452,A453,A454,A455,A456,A457,A458,A459,A459,A460,A461,A462,A463,A464,A465,A466,A467,A468,A469,A469,A470,A471,A472,A473,A474,A475,A476,A477,A478,A479,A479,A480,A481,A482,A483,A484,A485,A486,A487,A488,A489,A489,A490,A491,A492,A493,A494,A495,A496,A497,A498,A499,A499,A500,A501,A502,A503,A504,A505,A506,A507,A508,A509,A509,A510,A511,A512,A513,A514,A515,A516,A517,A518,A519,A519,A520,A521,A522,A523,A524,A525,A526,A527,A528,A529,A529,A530,A531,A532,A533,A534,A535,A536,A537,A538,A539,A539,A540,A541,A542,A543,A544,A545,A546,A547,A548,A549,A549,A550,A551,A552,A553,A554,A555,A556,A557,A558,A559,A559,A560,A561,A562,A563,A564,A565,A566,A567,A568,A569,A569,A570,A571,A572,A573,A574,A575,A576,A577,A578,A579,A579,A580,A581,A582,A583,A584,A585,A586,A587,A588,A589,A589,A590,A591,A592,A593,A594,A595,A596,A597,A598,A599,A599,A600,A601,A602,A603,A604,A605,A606,A607,A608,A609,A609,A610,A611,A612,A613,A614,A615,A616,A617,A618,A619,A619,A620,A621,A622,A623,A624,A625,A626,A627,A628,A629,A629,A630,A631,A632,A633,A634,A635,A636,A637,A638,A639,A639,A640,A641,A642,A643,A644,A645,A646,A647,A648,A649,A649,A650,A651,A652,A653,A654,A655,A656,A657,A658,A659,A659,A660,A661,A662,A663,A664,A665,A666,A667,A668,A669,A669,A670,A671,A672,A673,A674,A675,A676,A677,A678,A679,A679,A680,A681,A682,A683,A684,A685,A686,A687,A688,A689,A689,A690,A691,A692,A693,A694,A695,A696,A697,A698,A699,A699,A700,A701,A702,A703,A704,A705,A706,A707,A708,A709,A709,A710,A711,A712,A713,A714,A715,A716,A717,A718,A719,A719,A720,A721,A722,A723,A724,A725,A726,A727,A728,A729,A729,A730,A731,A732,A733,A734,A735,A736,A737,A738,A739,A739,A740,A741,A742,A743,A744,A745,A746,A747,A748,A749,A749,A750,A751,A752,A753,A754,A755,A756,A757,A758,A759,A759,A760,A761,A762,A763,A764,A765,A766,A767,A768,A769,A769,A770,A771,A772,A773,A774,A775,A776,A777,A778,A779,A779,A780,A781,A782,A783,A784,A785,A786,A787,A788,A789,A789,A790,A791,A792,A793,A794,A795,A796,A797,A798,A799,A799,A800,A801,A802,A803,A804,A805,A806,A807,A808,A809,A809,A810,A811,A812,A813,A814,A815,A816,A817,A818,A819,A819,A820,A821,A822,A823,A824,A825,A826,A827,A828,A829,A829,A830,A831,A832,A833,A834,A835,A836,A837,A838,A839,A839,A840,A841,A842,A843,A844,A845,A846,A847,A848,A849,A849,A850,A851,A852,A853,A854,A855,A856,A857,A858,A859,A859,A860,A861,A862,A863,A864,A865,A866,A867,A868,A869,A869,A870,A871,A872,A873,A874,A875,A876,A877,A878,A879,A879,A880,A881,A882,A883,A884,A885,A886,A887,A888,A889,A889,A890,A891,A892,A893,A894,A895,A896,A897,A898,A899,A899,A900,A901,A902,A903,A904,A905,A906,A907,A908,A909,A909,A910,A911,A912,A913,A914,A915,A916,A917,A918,A919,A919,A920,A921,A922,A923,A924,A925,A926,A927,A928,A929,A929,A930,A931,A932,A933,A934,A935,A936,A937,A938,A939,A939,A940,A941,A942,A943,A944,A945,A946,A947,A948,A949,A949,A950,A951,A952,A953,A954,A955,A956,A957,A958,A959,A959,A960,A961,A962,A963,A964,A965,A966,A967,A968,A969,A969,A970,A971,A972,A973,A974,A975,A976,A977,A978,A979,A979,A980,A981,A982,A983,A984,A985,A986,A987,A988,A989,A989,A990,A991,A992,A993,A994,A995,A996,A997,A998,A999,A999,A1000,A1001,A1002,A1003,A1004,A1005,A1006,A1007,A1008,A1009,A1009,A1010,A1011,A1012,A1013,A1014,A1015,A1016,A1017,A1018,A1019,A1019,A1020,A1021,A1022,A1023,A1024,A1025,A1026,A1027,A1028,A1029,A1029,A1030,A1031,A1032,A1033,A1034,A1035,A1036,A1037,A1038,A1039,A1039,A1040,A1041,A1042,A1043,A1044,A1045,A1046,A1047,A1048,A1049,A1049,A1050,A1051,A1052,A1053,A1054,A1055,A1056,A1057,A1058,A1059,A1059,A1060,A1061,A1062,A1063,A1064,A1065,A1066,A1067,A1068,A1069,A1069,A1070,A1071,A1072,A1073,A1074,A1075,A1076,A1077,A1078,A1079,A1079,A1080,A1081,A1082,A1083,A1084,A1085,A1086,A1087,A1088,A1089,A1089,A1090,A1091,A1092,A1093,A1094,A1095,A1096,A1097,A1098,A1099,A1099,A1100,A1101,A1102,A1103,A1104,A1105,A1106,A1107,A1108,A1109,A1109,A1110,A1111,A1112,A1113,A1114,A1115,A1116,A1117,A1118,A1119,A1119,A1120,A1121,A1122,A1123,A1124,A1125,A1126,A1127,A1128,A1129,A1129,A1130,A1131,A1132,A1133,A1134,A1135,A1136,A1137,A1138,A1139,A1139,A1140,A1141,A1142,A1143,A1144,A1145,A1146,A1147,A1148,A1149,A1149,A1150,A1151,A1152,A1153,A1154,A1155,A1156,A1157,A1158,A1159,A1159,A1160,A1161,A1162,A1163,A1164,A1165,A1166,A1167,A1168,A1169,A1169,A1170,A1171,A1172,A1173,A1174,A1175,A1176,A1177,A1178,A1179,A1179,A1180,A1181,A1182,A1183,A1184,A1185,A1186,A1187,A1188,A1189,A1189,A1190,A1191,A1192,A1193,A1194,A1195,A1196,A1197,A1198,A1199,A1199,A1200,A1201,A1202,A1203,A1204,A1205,A1206,A1207,A1208,A1209,A1209,A1210,A1211,A1212,A1213,A1214,A1215,A1216,A1217,A1218,A1219,A1219,A1220,A1221,A1222,A1223,A1224,A1225,A1226,A1227,A1228,A1229,A1229,A1230,A1231,A1232,A1233,A1234,A1235,A1236,A1237,A1238,A1239,A1239,A1240,A1241,A1242,A1243,A1244,A1245,A1246,A1247,A1248,A1249,A1249,A1250,A1251,A1252,A1253,A1254,A1255,A1256,A1257,A1258,A1259,A1259,A1260,A1261,A1262,A1263,A1264,A1265,A1266,A1267,A1268,A1269,A1269,A1270,A1271,A1272,A1273,A1274,A1275,A1276,A1277,A1278,A1279,A1279,A1280,A1281,A1282,A1283,A1284,A1285,A1286,A1287,A1288,A1289,A1289,A1290,A1291,A1292,A1293,A1294,A1295,A1296,A1297,A1298,A1299,A1299,A1300,A1301,A1302,A1303,A1304,A1305,A1306,A1307,A1308,A1309,A1309,A1310,A1311,A1312,A1313,A1314,A1315,A1316,A1317,A1318,A1319,A1319,A1320,A1321,A1322,A1323,A1324,A1325,A1326,A1327,A1328,A1329,A1329,A1330,A1331,A1332,A1333,A1334,A1335,A1336,A1337,A1338,A1339,A1339,A1340,A1341,A1342,A1343,A1344,A1345,A1346,A1347,A1348,A1349,A1349,A1350,A1351,A1352,A1353,A1354,A1355,A1356,A1357,A1358,A1359,A1359,A1360,A1361,A1362,A1363,A1364,A1365,A1366,A1367,A1368,A1369,A1369,A1370,A1371,A1372,A1373,A1374,A1375,A1376,A1377,A1378,A1379,A1379,A1380,A1381,A1382,A1383,A1384,A1385,A1386,A1387,A1388,A1389,A1389,A1390,A1391,A1392,A1393,A1394,A1395,A1396,A1397,A1398,A1399,A1399,A1400,A1401,A1402,A1403,A1404,A1405,A1406,A1407,A1408,A1409,A1409,A1410,A1411,A1412,A1413,A1414,A1415,A1416,A1417,A1418,A1419,A1419,A1420,A1421,A1422,A1423,A1424,A1425,A1426,A1427,A1428,A1429,A1429,A1430,A1431,A1432,A1433,A1434,A1435,A1436,A1437,A1438,A1439,A1439,A1440,A1441,A1442,A1443,A1444,A1445,A1446,A1447,A1448,A1449,A1449,A1450,A1451,A1452,A1453,A1454,A1455,A1456,A1457,A1458,A1459,A1459,A1460,A1461,A1462,A1463,A1464,A1465,A1466,A1467,A1468,A1469,A1469,A1470,A1471,A1472,A1473,A1474,A1475,A1476,A1477,A1478,A1479,A1479,A1480,A1481,A1482,A1483,A1484,A1485,A1486,A1487,A1488,A1489,A1489,A1490,A1491,A1492,A1493,A1494,A1495,A1496,A1497,A1498,A1499,A1499,A1500,A1501,A1502,A1503,A1504,A1505,A1506,A1507,A1508,A1509,A1509,A1510,A1511,A1512,A1513,A1514,A1515,A1516,A1517,A1518,A1519,A1519,A1520,A1521,A1522,A1523,A1524,A1525,A1526,A1527,A1528,A1529,A1529,A1530,A1531,A1532,A1533,A1534,A1535,A1536,A1537,A1538,A1539,A1539,A1540,A1541,A1542,A1543,A1544,A1545,A1546,A1547,A1548,A1549,A1549,A1550,A1551,A1552,A1553,A1554,A1555,A1556,A1557,A1558,A1559,A1559,A1560,A1561,A1562,A1563,A1564,A1565,A1566,A1567,A1568,A1569,A1569,A1570,A1571,A1572,A1573,A1574,A1575,A1576,A1577,A1578,A1579,A1579,A1580,A1581,A1582,A1583,A1584,A1585,A1586,A1587,A1588,A1589,A1589,A1590,A1591,A1592,A1593,A1594,A1595,A1596,A1597,A1598,A1599,A1599,A1600,A1601,A1602,A1603,A1604,A1605,A1606,A1607,A1608,A1609,A1609,A1610,A1611,A1612,A1613,A1614,A1615,A1616,A1617,A1618,A1619,A1619,A1620,A1621,A1622,A1623,A1624,A1625,A1626,A1627,A1628,A1629,A1629,A1630,A1631,A1632,A1633,A1634,A1635,A1636,A1637,A1638,A1639,A1639,A1640,A1641,A1642,A1643,A1644,A1645,A1646,A1647,A1648,A1649,A1649,A1650,A1651,A1652,A1653,A1654,A1655,A1656,A1657,A1658,A1659,A1659,A1660,A1661,A1662,A1663,A1664,A1665,A1666,A1667,A1668,A1669,A1669,A1670,A1671,A1672,A1673,A1674,A1675,A1676,A1677,A1678,A1679,A1679,A1680,A1681,A1682,A1683,A1684,A1685,A1686,A1687,A1688,A1689,A1689,A1690,A1691,A1692,A1693,A1694,A1695,A1696,A1697,A1698,A1699,A1699,A1700,A1701,A1702,A1703,A1704,A1705,A1706,A1707,A1708,A1709,A1709,A1710,A1711,A1712,A1713,A1714,A1715,A1716,A1717,A1718,A1719,A1719,A1720,A1721,A1722,A1723,A1724,A1725,A1726,A1727,A1728,A1729,A1729,A1730,A1731,A1732,A1733,A1734,A1735,A1736,A1737,A1738,A1739,A1739,A1740,A1741,A1742,A1743,A1744,A1745,A1746,A1747,A1748,A1749,A1749,A1750,A1751,A1752,A1753,A1754,A1755,A1756,A1757,A1758,A1759,A1759,A1760,A1761,A1762,A1763,A1764,A1765,A1766,A1767,A1768,A1769,A1769,A1770,A1771,A1772,A1773,A1774,A1775,A1776,A1777,A1778,A1779,A1779,A1780,A1781,A1782,A1783,A1784,A1785,A1786,A1787,A1788,A1789,A1789,A1790,A1791,A1792,A1793,A1794,A1795,A1796,A1797,A1798,A1799,A1799,A1800,A1801,A1802,A1803,A1804,A1805,A1806,A1807,A1808,A1809,A1809,A1810,A1811,A1812,A1813,A1814,A1815,A1816,A1817,A1818,A1819,A1819,A1820,A1821,A1822,A1823,A1824,A1825,A1826,A1827,A1828,A1829,A1829,A1830,A1831,A1832,A1833,A1834,A1835,A1836,A1837,A1838,A1839,A1839,A1840,A1841,A1842,A1843,A1844,A1845,A1846,A1847,A1848,A1849,A1849,A1850,A1851,A1852,A1853,A1854,A1855,A1856,A1857,A1858,A1859,A1859,A1860,A1861,A1862,A1863,A1864,A1865,A1866,A1867,A1868,A1869,A1869,A1870,A1871,A1872,A1873,A1874,A1875,A1876,A1877,A1878,A1879,A1879,A1880,A1881,A1882,A1883,A1884,A1885,A1886,A1887,A1888,A1889,A1889,A1890,A1891,A1892,A1893,A1894,A1895,A1896,A1897,A1898,A1899,A1899,A1900,A1901,A1902,A1903,A1904,A1905,A1906,A1907,A1908,A1909,A1909,A1910,A1911,A1912,A1913,A1914,A1915,A1916,A1917,A1918,A1919,A1919,A1920,A1921,A1922,A1923,A1924,A1925,A1926,A1927,A1928,A1929,A1929,A1930,A1931,A1932,A1933,A1934,A1935,A1936,A1937,A1938,A1939,A1939,A1940,A1941,A1942,A1943,A1944,A1945,A1946,A1947,A1948,A1949,A1949,A1950,A1951,A1952,A1953,A1954,A1955,A1956,A1957,A1958,A1959,A1959,A1960,A1961,A1962,A1963,A1964,A1965,A1966,A1967,A1968,A1969,A1969,A1970,A1971,A1972,A1973,A1974,A1975,A1976,A1977,A1978,A1979,A1979,A1980,A1981,A1982,A1983,A1984,A1985,A1986,A1987,A1988,A1989,A1989,A1990,A1991,A1992,A1993,A1994,A1995,A1996,A1997,A1998,A1999,A1999,A2000,A2001,A2002,A2003,A2004,A2005,A2006,A2007,A2008,A2009,A2009,A2010,A2011,A2012,A2013,A2014,A2015,A2016,A2017,A2018,A2019,A2019,A2020,A2021,A2022,A2023,A2024,A2025,A2026,A2027,A2028,A2029,A2029,A2030,A2031,A2032,A2033,A2034,A2035,A2036,A2037,A2038,A2039,A2039,A2040,A2041,A2042,A2043,A2044,A2045,A2046,A2047,A2048,A2049,A2049,A2050,A2051,A2052,A2053,A2054,A2055,A2056,A2057,A2058,A2059,A2059,A2060,A2061,A2062,A2063,A2064,A2065,A2066,A2067,A2068,A2069,A2069,A2070,A2071,A2072,A2073,A2074,A2075,A2076,A2077,A2078,A2079,A2079,A2080,A2081,A2082,A2083,A2084,A2085,A2086,A2087,A2088,A2089,A2089,A2090,A2091,A2092,A2093,A2094,A2095,A2096,A2097,A2098,A2099,A2099,A2100,A2101,A2102,A2103,A2104,A2105,A2106,A2107,A2108,A2109,A2109,A2110,A2111,A2112,A2113,A2114,A2115,A2116,A2117,A2118,A2119,A2119,A2120,A2121,A2122,A2123,A2124,A2125,A2126,A2127,A2128,A2129,A2129,A2130,A2131,A2132,A2133,A2134,A2135,A2136,A2137,A2138,A2139,A2139,A2140,A2141,A2142,A2143,A2144,A2145,A2146,A2147,A2148,A2149,A2149,A2150,A2151,A2152,A2153,A2154,A2155,A2156,A2157,A2158,A2159,A2159,A2160,A2161,A2162,A2163,A2164,A2165,A2166,A2167,A2168,A2169,A2169,A2170,A2171,A2172,A2173,A2174,A2175,A2176,A2177,A2178,A2179,A2179,A2180,A2181,A2182,A2183,A2184,A2185,A2186,A2187,A2188,A2189,A2189,A2190,A2191,A2192,A2193,A2194,A2195,A2196,A2197,A2198,A2199,A2199,A2200,A2201,A2202,A2203,A2204,A2205,A2206,A2207,A2208,A2209,A2209,A2210,A2211,A2212,A2213,A2214,A2215,A2216,A2217,A2218,A2219,A2219,A2220,A2221,A2222,A2223,A2224,A2225,A2226,A2227,A2228,A2229,A2229,A2230,A2231,A2232,A2233,A2234,A2235,A2236,A2237,A2238,A2239,A2239,A2240,A2241,A2242,A2243,A2244,A2245,A2246,A2247,A2248,A2249,A2249,A2250,A2251,A2252,A2253,A
```

```

2980 '***** APERTURA DE ARCHIVOS DE DATOS *****'
2990 OPEN "C:\DATOS\091.DAT", 132
3000 '
3010 OPEN "C:\", "W", 15 AS Z1$, 3 AS ST, 15 AS Z2$, 3 AS CS, 15 AS Z3$, 78 AS RS
3030 '
3040 '***** LECTURA DE DATOS DEL ARCHIVO *****
3050 READ A1$(1), A2$(1), A3$(1)
3060 '
3070 '
3080 FOR I=1 TO (NEt/A)
3090 GET I,I
3100 LPRINT Z1$ + "Z2$" + Z3$,I
3110 A1$(I)=VAL(Z1$);A2$(I)=VAL(Z2$);A3$(I)=VAL(Z3$)
3120 HEX1
3130 CLOSE
3125 LPRINT CHR$(12)
3140 '
3150 '***** INICIO DEL PROCESO DE GRAFICACION DE LA VELOCIDAD *****
3160 READ A1$(1), A2$(1), A3$(1)
3170 LPRINT U0,A,K0,KC,KD,KE,KF,LTAE,ETAF,F0,P,T,N,SR,PO,G,NEt,DCT,RO*
3180 LPRINT U0,A,K0,KC,KD,KE,KF,LTAE,ETAF,F0,P,T,N,SR,PO,G,DEt,DFT,DCT,RO
3185 LPRINT
3190 FOR I=1 TO (NEt/A)
3200 IF A2$(I) > A1$(I) THEN A1$(I)=A2$(I)
3210 IF A3$(I) > A2$(I) THEN A2$(I)=A3$(I)
3220 NEXT
3230 PRINT A1$,A2$
3240 F1#=114/AUt;F2#=114/AUC
3250 INV=A1*(DEt/A)
3260 FOR I=(NEt/A) TO 2 STEP -1
3270 Y=INV-A1(I)
3280 COL1=F1#*A2$(I)
3290 H1=INT(COL1);H2=COL1-H1;IF H2 >=.5 THEN COL1=H1+1 ELSE COL1=H1
3300 IF COL1+6 > 120 THEN XX=120 ELSE XX=COL1+6
3310 LPRINT Y TAB(7) CHR$(179) TAB(XX) "$"
3320 NEXT
3330 '
3340 '***** FIN DE LA GRAFICACION DE LA VELOCIDAD Y ESCRITURA DE *****
3350 '***** EL EJE DE LAS X'S *****
3360 '
3370 '
3380 LPRINT STRING$(120,"-")
3390 LPRINT TAB(40) "+" TAB(80) "+" TAB(120) "+"
3410 LPRINT TAB(6) "0" TAB(38) USING "#";AUt/4; :;LPRINT TAB(78) USING "#"
3420 AUt=A1$/3;LPRINT TAB(118) USING "#";AUt
3430 LPRINT STRING$(120, ".")
3442 LPRINT CHR$(12)
3450 '
3460 '***** INICIO DEL PROCESO DE GRAFICACION DE LA PRESION *****
3470 '
3480 '
3490 LPRINT U0,A,K0,KC,KD,KE,KF,LTAE,ETAF,F0,P,T,N,SR,PO,G,NEt,DCT,RO*
3500 LPRINT U0,A,K0,KC,KD,KE,KF,LTAE,ETAF,F0,P,T,N,SR,PO,G,DEt,DFT,DCT,RO
3510 END I=(NEt/A) TO 2 STEP -1
3520 Y=INV-A1(I)
3530 COL2=F2#*A3$(I)
3540 S1=INT(COL2);S2=COL2-S1;IF S2 >=.5 THEN COL2=S1+1 ELSE COL2=S1
3550 IF COL2+6 > 120 THEN XX=120 ELSE XX=COL2+6
3560 LPRINT Y ;;LPRINT TAB(7) CHR$(179) ;;LPRINT TAB(XX) "$"
3570 NEXT
3580 '
3590 '***** FIN DE RUTINA DE GRAFICA DE PRESION E IMPRESION DEL EJE *****
3600 '
3610 LPRINT STRING$(120, "-")
3620 LPRINT TAB(40) "+" TAB(80) "+" TAB(120) "+"
3630 LPRINT TAB(6) "0" TAB(38) USING "#";AUt/4; :;LPRINT TAB(78) USING "#"
3640 AUt=A2$/3;LPRINT TAB(118) USING "#";AUt
3650 '
3660 '***** FIN DE RUTINA Y REGRESO AL MENU PRINCIPAL *****
3670 '
3684 LPRINT CHR$(12)
3690 END

```

# CAPITULO III

```

10 'PROGRAMA COLAPSO.BAS
20 WIDTH '1pt1',152
30 '***** PROGRAMA QUE RESUELVE LA ECUACION DE NAVIER-STOKES *****
40 '***** HEVANTEL EL METODO DE DIFERENCIAS FINITAS PARA UN *****
50 '***** FLUJO PIROCLASTICO QUE SE PROPAGA PARCIALMENTE HACIA *****
60 '***** AFUERA DEL CRATER *****
70 '***** 
80 '***** 
90 '
100 '***** 
110 '***** LECTURA DE DATOS *****
120 '***** 
130 '***** UNIDADES
140 ' G = GRAVEDAD m/seg      DRO = DIFERENCIA DE DENSIDADES Kg/m3
150 ' ALFA = INCLINACION EN RADIANES   NU = VISCOSIDAD CINEMATICA DEL
160 '                                GAS EN m3/seg
170 ' RO = DENSIDAD DE LA MEZCLA EN Kg/m3 KS = DIAMETRO DE LAS PARTICULAS EN *
180 ' HO = ESPESOR INICIAL DEL FLUJO * RO = DISTANCIA INICIAL DEL FLUJO AL
190 ' U0 = VELOCIDAD INICIAL m/seg    CRATER EN m
200 '***** 
210 READ G,ALFA,RO,H0,NU,KS
220 INPUT "HO,RO,U0";H0,RO,U0
230 INPUT "INTERVALO";R
240 INPUT "NUMERO DE PASOS";N
250 '
260 '
270 '***** ASIGNACION DE LA LONGITUD DE LOS ARREGLOS QUE SE USARAN *****
280 '***** U ES EL ARREGLO EN DONDE SE GUARDARA LAS VELOCIDADES *****
290 '***** TETA ES EL ARREGLO DONDE SE GUARDARA EL ESPESOR DE LA *****
300 '***** CAPA *****
310 '***** CF *****
320 '***** 
330 DIM U(N+1),TETA(N+1)
340 '
350 '***** 
360 '***** BLOQUE PRINCIPAL DE CALCULO *****
370 '***** 
380 U(0)=U0
400 CF=(1.0)/(2.3)*LOG(H0/KS)
410 FOR I=0 TO N
420 R=I+1
430 '***** CUANDO SE SUMA PASA UNA DISTANCIA DE 8 KM ALFA = 1 GRADO *****
440 IF R > 8000 THEN ALFA=(23.1416)/360
450 H=(U(I)*H0*2*PI)/(R*(I+1)^2)
460 CF=.04*((2.3)*LOG(H/KS))
450 U(I+1)=(K*R*ESIN(ALFA)*U(I))+(PDSU(I))
460 U(I+1)=U(I+1)-((.04)/((2.3)*LOG(U(KS)))*2*K*U(I)*U(I+1)*.5)/(R0*H0*U0)
470 U(I+1)=U(I+1)*U(I)
480 TETA(I)=-.36*PI*(U(I)*R/NU)*(-2)
490 NEXT I
500 '***** IMPRESION DE TABLA DE RESULTADOS *****
510 '***** 
520 PRINT "HO= " ;HO;" RO= " ;RO;" U0= " ;U0
530 FOR I=0 TO N
550 IF I MOD 2=0 THEN PRINT I+1,U(I+1),CF,TETA(I)
560 NEXT I
570 '***** IMPRESION DE LA GRFICA *****
580 '***** 
590 '***** 
600 FOR I=1 TO N
610 IF MAX < U(I) THEN MAX=U(I)
620 NEXT I
630 PRINT CHR$(12)
625 PRINT "HO= " ;HO;" RO= " ;RO;" U0= " ;U0
636 F1=120*(50/MAX);I1=120*(100/MAX);F3=120*(150/MAX);F4=120*(200/MAX);F5=120*(2
50/MAX);F6=120*(300/MAX)
637 PRINT TAB(I1-1) ."50" TAB(I2-1) ."100" TAB(I3-1) ."150" TAB(I4-1) ."200";
638 IF F5 < 130 THEN PRINT TAB(F5-1) ."250"; ELSE PRINT
639 IF F6 < 130 THEN PRINT TAB(F6-1) ."300" ELSE PRINT
640 PRINT STRING(120," ")
650 FOR I=1 TO N
655 H=120*(U(I)/MAX)
670 IF I MOD 2=0 THEN PRINT TAB(I) USING "##";I;TAB(HD) ##"
680 NEXT
682 PRINT CHR$(12)
690 COLOR 0,7;PRINT "OPRIMA CUALQUIER TECLA PARA REGRESAR A MENU PRINCIPAL."
692 COLOR 7,0
694 US=IN1US(1)
696 PAUSE "SISTEMA"

```

700 'XXXXXXXXXXXXXXXXXXXXXXXXXXXXXXXXXXXXXX  
710 'XXXXX DATOS XXXXXXXX  
720 'XXXXXXXXXXXXXXXXXXXXXXXXXXXXXXXXXXXXXX  
730 DATA 9.8,2418,1300,1298.7,.0000296,01

100 / PROGRAMA EXPRESA.DAC  
 100 / \*\*\*\*  
 100 / PROGRAMA QUE OBTIENE LA VARIACION DE PARAMETROS FISICOS  
 120 / (VELOCIDAD DE SALIDA RADIO Y TEMPERATURA DE LA COLUMNA, DENSIDAD DE LA  
 140 / MEZCLA) USANDO UN MODELO SIMPLE DE LA PARTE INFERIOR DE UNA COLUMNA  
 160 / DE ERUPCION MEDIANTE EL ESQUEMA DE DIFERENCIAS FINITAS.  
 180 / \*\*\*\*  
 200 / \*\*\*\*  
 220 / LOS DATOS SON LOS SIGUIENTES:  
 240 / U0 VELOCIDAD INICIAL DE LA COLUMNA A NIVEL DEL CRATER EN m/seg  
 260 / TE0 TEMPERATURA INICIAL DE LA COLUMNA EN GRADOS KELVIN  
 300 / N0 PORCENTAJE EN PESO DE VOLATILES (ADIMENSIONAL)  
 320 / R0 RADIO INICIAL DE LA COLUMNA DE ERUPCION EN METROS  
 340 / D0 DENSIDAD INICIAL DE LA COLUMNA EN Kg/m<sup>3</sup>  
 360 / CS CALOR ESPECIFICO DE LA ROCA EN J/K G  
 380 / CG CALOR ESPECIFICO DEL GAS VOLCANICO  
 400 / CA CALOR ESPECIFICO DEL AIRE  
 420 / RB CONSTANTE GASCO PARA EL GAS  
 440 / RA CONSTANTE GASCO PARA EL AIRE  
 460 / F FRACCION EN PESO DE HIDROCLASTOS (ADIMENSIONAL)  
 500 / TEA TEMPERATURA DEL AIRE EN K  
 520 / Q RAZON PROMEDIO DE LA VELOCIDAD DE LA COLUMNA A TRAVES DEL CHURRO A LA  
 530 / 2 COLUMNA CENTRAL (ADIMENSIONAL)  
 540 / G CONSTANTE DE LA ACCELERACION DE LA GRAVEDAD EN m/seg  
 560 / \*\*\*\*  
 580 / \*\*\*\*\* INICIO DEL PROGRAMA \*\*\*\*\*  
 600 / \*\*\*\* LECTURA DE DATOS  
 620 / INPUT "U0,N0":U0,N0  
 640 / READ R0,TE0,CS,CG,CA,RG,RA,F,TEA,G  
 660 /  
 720 / \*\*\*\* ELECCION DEL NUMERO DE PASOS Y EL INTERVALO ENTRE PASOS  
 740 / INPUT "NUMERO DE PASOS":J  
 760 / INPUT "TAMANIO DEL INTERVALO":H  
 780 /  
 790 / LOS ARREGLOS U1 Y S1 SE USARAN COMO AUXILIARES EN LA RUTINA DE GRAFICACION  
 792 / EL ARREGLO U1 CONTENDRA LAS VELOCIDADES EN CADA PASO DE TIEMPO  
 794 / R ES EL ARREGLO QUE CONTIENE EL RADIO DE LA COLUMNA EN CADA PASO  
 796 / P IGUALMENTE CONTENDRA LA PRESION DEL AIRE EN CADA PASO  
 798 / TE ES EL ARREGLO DE LAS TEMPERATURAS DE LA COLUMNA EN CADA PASO  
 800 / BE DENSIDADES  
 802 / AL DENSIDADES DEL AIRE  
 804 / DIM U1(4),S1(J),U(J+1),B(J+1),P(J+1),TE(J+1),BE(J+1),AL(J+1)  
 820 /  
 840 / \*\*\*\* ASIGNACION DE CONDICIONES INICIALES  
 860 / U(0)=0:B(0)=D0:TE(0)=TE0:BE(0)=R0  
 880 /  
 900 / \*\*\*\* ASIGNACION DE VALORES PARA LA DENSIDAD DEL AIRE A UNA ALTURA  
 920 / H DETERMINADA  
 940 /  
 960 / FOR T=0 TO J  
 1000 / AL(T)=-.000065\*T+H+1.2  
 1020 / NEXT T  
 1040 /  
 1060 / \*\*\*\* ASIGNACION DE LA PRESION PARA CUALQUIERA ALTURA H  
 1080 /  
 1100 / FOR I=0 TO J  
 1120 / P(I)=(-6.957\*I^2)+92000!  
 1140 / NEXT I  
 1150 / P0=P(0)  
 1160 /  
 1180 / \*\*\*\* IMPRESION DE LOS VALORES INICIALES  
 1200 / PRINT 0,U(0),B(0),TE(0),BE(0)  
 1220 / PRINT U R TE BE  
 1240 /  
 1260 / \*\*\*\*  
 1280 / \*\*\*\* BLOQUE PRINCIPAL DE CALCULO \*\*\*\*  
 1300 /  
 1320 /  
 1340 /  
 1360 / FOR I=0 TO J-1  
 1380 /  
 1400 / \*\*\*\* CALCULO E IMPRESION DE LA VELOCIDAD U EN CADA PASO  
 1420 /  
 1440 / U1=CS\*(1-(AL(I)/BE(I))):U2=U1/U(I):U=(U(I)/(R\*P(I)))-U2

```

140E PRINT TAB(10) H(711)
150C **** CALCULO E IMPRESION DEL RANGO DE LA COLUMNA EN CADA PASO DEL PROGRAMA ****
151C D1=H(85)*((M1/100)*((CR-(CA*RG/PA))/10)) A=A1+A2
152C D2=(CA*RG*CR)/((M1*PA)*D2)+(P1)*D2*((B0^2*X0)^2)-P2*TEA
153C PA=PROPTED((M1/100)*D2-P2*TEA)/100
154C R=D1*D2-(PA*RS)
155C =((CA*TEA*CR*PA*RS)/((M1/100)*D2*P1))^(1/2)
156C R=0.13
157C R1=((PA2-(4*RS*RS))^(1/2))
158C R2=R1+RS
159C R3=R1-RS
160C X1=R1*RS/2
161C X2=R2*RS/2
162C X3=R3*RS/2
163C
164C **** CALCULO DE LA TEMPERATURA DE LA COLUMNA PARA CADA ALTURA H
165C T1=((R(I+1))^2*TE0*(T11)*TE0)/(100*RA*RS):RE1=RE1+TEA
166C T2=T1*RS-(PA*RS)
167C CR=(CA*TEA*CR*PA*RS*(I+1))^2*P1/(100*RA*RS*RS)
168C P1=CR*P1
169C T11=((R(I+1))^2*(1-(1/(R(I+1))))^(1/2))
170C T22=((R(I+1))^2*(1-(1/(R(I+1))))^(1/2))
171C T3=((R(I+1))^2*(1-(1/(R(I+1))))^(1/2))
172C T4=((R(I+1))^2*(1-(1/(R(I+1))))^(1/2))
173C T5=((R(I+1))^2*(1-(1/(R(I+1))))^(1/2))
174C T6=((R(I+1))^2*(1-(1/(R(I+1))))^(1/2))
175C T7=((R(I+1))^2*(1-(1/(R(I+1))))^(1/2))
176C T8=((R(I+1))^2*(1-(1/(R(I+1))))^(1/2))
177C T9=((R(I+1))^2*(1-(1/(R(I+1))))^(1/2))
178C T10=((R(I+1))^2*(1-(1/(R(I+1))))^(1/2))
179C T11=((R(I+1))^2*(1-(1/(R(I+1))))^(1/2))
180C T12=((R(I+1))^2*(1-(1/(R(I+1))))^(1/2))
181C T13=((R(I+1))^2*(1-(1/(R(I+1))))^(1/2))
182C T14=((R(I+1))^2*(1-(1/(R(I+1))))^(1/2))
183C T15=((R(I+1))^2*(1-(1/(R(I+1))))^(1/2))
184C T16=((R(I+1))^2*(1-(1/(R(I+1))))^(1/2))
185C T17=((R(I+1))^2*(1-(1/(R(I+1))))^(1/2))
186C T18=((R(I+1))^2*(1-(1/(R(I+1))))^(1/2))
187C T19=((R(I+1))^2*(1-(1/(R(I+1))))^(1/2))
188C T20=((R(I+1))^2*(1-(1/(R(I+1))))^(1/2))
189C T21=((R(I+1))^2*(1-(1/(R(I+1))))^(1/2))
190C T22=((R(I+1))^2*(1-(1/(R(I+1))))^(1/2))
191C T23=((R(I+1))^2*(1-(1/(R(I+1))))^(1/2))
192C T24=((R(I+1))^2*(1-(1/(R(I+1))))^(1/2))
193C T25=((R(I+1))^2*(1-(1/(R(I+1))))^(1/2))
194C
195C **** CALCULO DE LA TEMPERATURA DE LA COLUMNA PARA CADA ALTURA H
196C T1=((R(I+1))^2*TE0*(T11)*TE0)/(100*RA*RS):RE2=RE2+TEA
197C T2=T1*RS-(PA*RS)
198C CR=(CA*TEA*CR*PA*RS*(I+1))^2*P1/(100*RA*RS*RS)
199C P1=CR*P1
200C T11=((R(I+1))^2*(1-(1/(R(I+1))))^(1/2))
201C T22=((R(I+1))^2*(1-(1/(R(I+1))))^(1/2))
202C T3=((R(I+1))^2*(1-(1/(R(I+1))))^(1/2))
203C T4=((R(I+1))^2*(1-(1/(R(I+1))))^(1/2))
204C T5=((R(I+1))^2*(1-(1/(R(I+1))))^(1/2))
205C T6=((R(I+1))^2*(1-(1/(R(I+1))))^(1/2))
206C T7=((R(I+1))^2*(1-(1/(R(I+1))))^(1/2))
207C T8=((R(I+1))^2*(1-(1/(R(I+1))))^(1/2))
208C T9=((R(I+1))^2*(1-(1/(R(I+1))))^(1/2))
209C T10=((R(I+1))^2*(1-(1/(R(I+1))))^(1/2))
210C T11=((R(I+1))^2*(1-(1/(R(I+1))))^(1/2))
211C T12=((R(I+1))^2*(1-(1/(R(I+1))))^(1/2))
212C T13=((R(I+1))^2*(1-(1/(R(I+1))))^(1/2))
213C T14=((R(I+1))^2*(1-(1/(R(I+1))))^(1/2))
214C T15=((R(I+1))^2*(1-(1/(R(I+1))))^(1/2))
215C T16=((R(I+1))^2*(1-(1/(R(I+1))))^(1/2))
216C T17=((R(I+1))^2*(1-(1/(R(I+1))))^(1/2))
217C T18=((R(I+1))^2*(1-(1/(R(I+1))))^(1/2))
218C T19=((R(I+1))^2*(1-(1/(R(I+1))))^(1/2))
219C T20=((R(I+1))^2*(1-(1/(R(I+1))))^(1/2))
220C T21=((R(I+1))^2*(1-(1/(R(I+1))))^(1/2))
221C T22=((R(I+1))^2*(1-(1/(R(I+1))))^(1/2))
222C T23=((R(I+1))^2*(1-(1/(R(I+1))))^(1/2))
223C T24=((R(I+1))^2*(1-(1/(R(I+1))))^(1/2))
224C T25=((R(I+1))^2*(1-(1/(R(I+1))))^(1/2))
225C PRINT TAB(40) TE(I+1)
226C
227C **** CALCULO DE BETA PARA CADA PASO
228C
229C D1=(R(I+1))^2*TE0*(P(I+1))/(100*TE(I+1)*RS)
230C D2=((M1*RS)/(100*RA))*D1-1
231C RE(I+1)=((RE*RS*RS)/(R(I+1))^2)*(1+D2)
232C PRINT TAB(55) RE(I+1)
233C
234C
235C **** FIN DEL ALGORITMO DE OBTENCION DE RESULTADOS *****
236C
237C L1S
238C
239C **** RUTINA DE GRAFICACION *****
240C
241C
242C
243C **** EL EJE DE LAS Y'S SERA LOGARITMICO CON LOS VALORES INICIALES EN LA UNIDAD
244C
245C
246C **** IMPRESION DEL EJE LOGARITMICO *****
247C
248C PRINT TAB(1) "01" TAB(25) "1" TAB(50) "1" TAB(75) "10"
249C FOR I=1 TO 3
250C PRINT STRING("A", "01" "1")
251C NEXT I
252C
253C
254C **** CALCULO LOGARITMICO DE LAS SELECCIONES PARA CADA VARIABLE
255C
256C FOR I=1 TO 4
257C U1(I)=LOG(U(I))/10:U1(1)=50-((M1/LG0(I,1))*25)
258C M1=LG0(I,1)/10:U1(2)=50-((M2/LG0(I,2))*25)
259C U1(3)=LG0(I,1)/10:U1(3)=50-((M3/LG0(I,3))*25)
260C M1=LG0(I,1)/10:U1(4)=50-((M4/LG0(I,4))*25)
261C U1(1)=U1(2)=U1(3)=U1(4)=50
262C
263C
264C
265C
266C
267C
268C
269C
270C
271C
272C
273C
274C
275C
276C
277C
278C
279C
280C
281C
282C
283C
284C
285C
286C
287C
288C
289C
290C
291C
292C
293C
294C
295C
296C
297C
298C
299C
300C
301C
302C
303C
304C
305C
306C
307C
308C
309C
310C
311C
312C
313C
314C
315C
316C
317C
318C
319C
320C
321C
322C
323C
324C
325C
326C
327C
328C
329C
330C
331C
332C
333C
334C
335C
336C
337C
338C
339C
340C
341C
342C
343C
344C
345C
346C
347C
348C
349C
350C
351C
352C
353C
354C
355C
356C
357C
358C
359C
360C
361C
362C
363C
364C
365C
366C
367C
368C
369C
370C
371C
372C
373C
374C
375C
376C
377C
378C
379C
380C
381C
382C
383C
384C
385C
386C
387C
388C
389C
390C
391C
392C
393C
394C
395C
396C
397C
398C
399C
400C
401C
402C
403C
404C
405C
406C
407C
408C
409C
410C
411C
412C
413C
414C
415C
416C
417C
418C
419C
420C
421C
422C
423C
424C
425C
426C
427C
428C
429C
430C
431C
432C
433C
434C
435C
436C
437C
438C
439C
440C
441C
442C
443C
444C
445C
446C
447C
448C
449C
450C
451C
452C
453C
454C
455C
456C
457C
458C
459C
460C
461C
462C
463C
464C
465C
466C
467C
468C
469C
470C
471C
472C
473C
474C
475C
476C
477C
478C
479C
480C
481C
482C
483C
484C
485C
486C
487C
488C
489C
490C
491C
492C
493C
494C
495C
496C
497C
498C
499C
500C
501C
502C
503C
504C
505C
506C
507C
508C
509C
510C
511C
512C
513C
514C
515C
516C
517C
518C
519C
520C
521C
522C
523C
524C
525C
526C
527C
528C
529C
530C
531C
532C
533C
534C
535C
536C
537C
538C
539C
540C
541C
542C
543C
544C
545C
546C
547C
548C
549C
550C
551C
552C
553C
554C
555C
556C
557C
558C
559C
559C
560C
561C
562C
563C
564C
565C
566C
567C
568C
569C
570C
571C
572C
573C
574C
575C
576C
577C
578C
579C
580C
581C
582C
583C
584C
585C
586C
587C
588C
589C
589C
590C
591C
592C
593C
594C
595C
596C
597C
598C
599C
599C
600C
601C
602C
603C
604C
605C
606C
607C
608C
609C
609C
610C
611C
612C
613C
614C
615C
616C
617C
618C
619C
619C
620C
621C
622C
623C
624C
625C
626C
627C
628C
629C
629C
630C
631C
632C
633C
634C
635C
636C
637C
638C
639C
639C
640C
641C
642C
643C
644C
645C
646C
647C
648C
649C
649C
650C
651C
652C
653C
654C
655C
656C
657C
658C
659C
659C
660C
661C
662C
663C
664C
665C
666C
667C
668C
669C
669C
670C
671C
672C
673C
674C
675C
676C
677C
678C
679C
679C
680C
681C
682C
683C
684C
685C
686C
687C
688C
689C
689C
690C
691C
692C
693C
694C
695C
696C
697C
698C
699C
699C
700C
701C
702C
703C
704C
705C
706C
707C
708C
709C
709C
710C
711C
712C
713C
714C
715C
716C
717C
718C
719C
719C
720C
721C
722C
723C
724C
725C
726C
727C
728C
729C
729C
730C
731C
732C
733C
734C
735C
736C
737C
737C
738C
739C
740C
741C
742C
743C
744C
745C
746C
747C
748C
749C
749C
750C
751C
752C
753C
754C
755C
756C
757C
758C
758C
759C
760C
761C
762C
763C
764C
765C
766C
767C
768C
769C
769C
770C
771C
772C
773C
774C
775C
776C
777C
778C
778C
779C
779C
780C
781C
782C
783C
784C
785C
786C
787C
787C
788C
789C
789C
790C
791C
792C
793C
794C
795C
796C
797C
797C
798C
799C
799C
800C
801C
802C
803C
804C
805C
806C
807C
808C
809C
809C
810C
811C
812C
813C
814C
815C
816C
817C
817C
818C
819C
819C
820C
821C
822C
823C
824C
825C
826C
827C
828C
829C
829C
830C
831C
832C
833C
834C
835C
836C
837C
837C
838C
839C
839C
840C
841C
842C
843C
844C
845C
846C
847C
848C
849C
849C
850C
851C
852C
853C
854C
855C
856C
857C
858C
858C
859C
860C
861C
862C
863C
864C
865C
866C
867C
868C
869C
869C
870C
871C
872C
873C
874C
875C
876C
877C
877C
878C
879C
879C
880C
881C
882C
883C
884C
885C
886C
887C
887C
888C
889C
889C
890C
891C
892C
893C
894C
895C
896C
897C
897C
898C
899C
899C
900C
901C
902C
903C
904C
905C
906C
907C
908C
909C
909C
910C
911C
912C
913C
914C
915C
916C
917C
917C
918C
919C
919C
920C
921C
922C
923C
924C
925C
926C
927C
928C
929C
929C
930C
931C
932C
933C
934C
935C
936C
937C
937C
938C
939C
939C
940C
941C
942C
943C
944C
945C
946C
947C
948C
948C
949C
950C
951C
952C
953C
954C
955C
956C
957C
958C
958C
959C
960C
961C
962C
963C
964C
965C
966C
967C
968C
969C
969C
970C
971C
972C
973C
974C
975C
976C
977C
977C
978C
979C
979C
980C
981C
982C
983C
984C
985C
986C
987C
987C
988C
989C
989C
990C
991C
992C
993C
994C
995C
996C
997C
998C
999C
999C

```

```
3140 IF L=5 THEN K=K11 ELSE 3100  
3160 IF K=4 THEN 3180 ELSE 3080  
3180 IF S1(1)=1 THEN Z1$="*" ELSE IF S1(1)=2 THEN Z1$="+" ELSE IF S1(1)=3 THEN Z1$="." ELSE IF S1(1)=4 THEN Z1$="%"  
3200 IF S1(2)=1 THEN Z2$="*" ELSE IF S1(2)=2 THEN Z2$="+" ELSE IF S1(2)=3 THEN Z2$="." ELSE IF S1(2)=4 THEN Z2$="%"  
3220 IF S1(3)=1 THEN Z3$="*" ELSE IF S1(3)=2 THEN Z3$="+" ELSE IF S1(3)=3 THEN Z3$="." ELSE IF S1(3)=4 THEN Z3$="%"  
3240 IF S1(4)=1 THEN Z4$="*" ELSE IF S1(4)=2 THEN Z4$="+" ELSE IF S1(4)=3 THEN Z4$="." ELSE IF S1(4)=4 THEN Z4$="%"  
3260 /  
3280 / **** IMPRESION DE LA GRFICA PARA CADA VARIABLE A UNA ALTURA H  
3300  
3320 PRINT TAB(U1(1)) Z1$ TAB(U1(2)) Z2$ TAB(U1(3)) Z3$ TAB(U1(4)) Z4$  
3340 NEXT  
3360 COLOR 0,7:PRINT "OPRECHA CUALQUIER TECLA PARA REGRESAR AL MENU PRINCIPAL"  
3380 COLOR 7,0  
3394 US=INPUT$(1)  
3396 RUN "SISTEMA"  
3400 /  
3400 / **** DATOS ****  
3420 / DATA 3300,1100,100,4215,2,3377,4/-307,-4,293,1,9,0
```

# CAPITULO V

```

10 'PROGRAMA MALISTY.BAS
20 '***** PROGRAMA QUE RESUELVE LAS ECUACIONES DE TRAYECTORIAS
30 '***** PROGRAMA QUE RESUELVE LAS ECUACIONES DE TRAYECTORIAS
49 '***** ESTADISTICAS PARA UN CUERPO EN UN CAMPO GRAVITACIONAL SUJETO
50 '***** A LA RESISTENCIA DEL AIRE EN UN SISTEMA DE COORDENADA U vs t
52 '***** ENCONTRANDO LAS ALTURAS, DISTANCIAS, ANGULOS Y VELOCIDADES EN
54 '***** CADA INSTANTE DE TIEMPO.
70 '
80 '***** ARREGLOS QUE SE USARAN Y LECTURA DE DATOS
92 '***** ARREGLOS QUE SE USARAN Y LECTURA DE DATOS
100 '***** IOPTS = ARREGLO AUXILIAR PARA LA GRAFICACION
110 '***** TH,H,LGT,V = ARREGLOS AUXILIARES EN NOMBRE SE GUARDARAN
120 '***** EL ANGULO,LA ALTURA,LA LONGITUD Y LA VELOCIDAD ALCANZADAS A
130 '***** UN TIEMPO DADO
140 '***** Y = ARREGLO EN DONDE SE GUARDARA LA VARIABLE EN FORMA TEMPORAL
150 '***** F = ARREGLO EN DONDE SE CALCULARA CADA PARAMETRO EN FORMA INS-
160 '***** TANTAS.
170 '***** VO = VELOCIDAD INICIAL EN M/SEG
180 '***** TETHAO = ANGULO INICIAL EN GRADOS
190 '***** DT = INTERVALO DE TIEMPO EN SEG
192 '***** S = COEFICIENTE PALESTICO EN M / KG
194 '***** G = FACTOR ADIMENSIOINAL
200 '***** HO = ALTURA INICIAL EN M
229 '***** IJ = INTERVALO AL CUAL SE IMPRIMIRAN LOS RESULTADOS
222 '***** GO = ACCELERACION DE LA GRAVEDAD A NIVEL DEL MAR EN M/SEG
224 '***** R = RADIO DE LA TIERRA EN M
226 '***** RH0A = DENSIDAD DEL AIRE EN KG/M
230 '
240 '
250 DIM IOPTS(6),TH(1000),H(1000),LGT(1000),V(1000),Y(4),F(4)
260 DATA SAIVE(50),PHI(50)
270 READ W,HO,BD,RH0A
272 INPUT 'W,G,TETHAO,S';W,G,TETHAO,S
273 INPUT 'INTERVALO DE TIEMPO';DT
272 INPUT 'CADA CUANTO SE IMPRIMEN DATOS?';IJ
280 PRINT W,HO,GO,IJ,RH0A,W,TETHAO,S,DT,IJ
290 '
300 '
310 '***** INICIALIZACION DE DATOS
320 '
330 '
340 ICNT=1
360 T=0
370 TETHAO=3.141592654*180/TETHAO/180
390 G=80
410 GGRW=G*G*RH0A/(W*W)
420 H(1)=HO
430 V(1)=VO
440 TH(1)=TETHAO
450 Y(1)=10
460 Y(2)=0
470 Y(3)=0
480 Y(4)=TETHAO
490 '
500 '
510 '***** BLOQUE PRINCIPAL DE CALCULO MEDIANTE RUNGE-KUTTA
520 '
530 N=1
540 N=4:X=T:H=DT:GOSUB 840
550 IF RUNGE > 1 THEN 650
560 '
570 '***** CALCULO DE LOS CUATRO PARAMETROS
580 '
590 F(1)=Y(3)+SIH(Y(4))
600 F(2)=Y(3)+COS(Y(4))+RA/(R*Y(1))
610 F(3)=-GGRW*(Z)*Y(3)-GSIH(Y(4))
620 F(4)=(-G/Y(3)+Y(3)/(R*Y(1)))*COS(Y(3))
630 H=H+1
640 GOTO 540
650 ICNT=ICNT+1
660 LGT(ICNT)=7(2)
670 H(ICNT)=Y(1)
680 V(ICNT)=Y(2)
690 TH(ICNT)=Y(4)
700 IF H(ICNT)<= DATUM THEN 720
710 G=60/((1+Y(1))/H)^2
720 GOTO 530
730 TIME=TIME-HI
740 PRINT TAB(25) "TIME=" TIME

```

```

750 FOR I=1 TO ICNT
760 IF I MOD 10=0 THEN 800 ELSE 810
770 '
780 '***** IMPRESION DE LAS CUATRO VARIABLES AL TIEMPO INSTIMO ***** 
790
800 PRINT USING "#####.## #####.## #####.##";TH(I),H(I),V(I)
810 LGT(I)
810 NEXT I
820 H1=ICNT;ITYPE=2160$SUB 1210
830 COLOR 0;PRINT "OPRIMA CUALQUIER TECLA PARA REGRESAR A MENU PRINCIPAL ";
832 COLOR 7;0
834 US=INH(1)
836 RUN "SISTEMA"
840 ON R GOTO 850,870,P50,1010,1080
850 RUNGE=1
860 RETURN
870 FOR J=1 TO N
880 SAVY(J)=Y(J)
890 PHI(J)=F(J)
900 Y(J)=SAVEY(J)+.5$H$F(J)
910 NEXT J
920 X=X+.5$H
930 RUNGE=1
940 RETURN
950 FOR J=1 TO N
960 PHI(J)=PHI(J)+2$T(J)
970 Y(J)=SAVEY(J)+.5$H$F(J)
980 NEXT J
990 RUNGE=1
1000 RETURN
1010 FOR J=1 TO N
1020 PHI(J)=PHI(J)+2$F(J)
1030 Y(J)=SAVEY(J)+$H$F(J)
1040 NEXT J
1050 X=X+.5$H
1060 RUNGE=1
1070 RETURN
1080 FOR J=1 TO N
1090 Y(J)=SAVEY(J)+(PHI(J)+F(J))*$H/6
1100 NEXT J
1110 RUNGE=0
1120 RETURN
1130 '
1140 '***** FIN DEL BLOQUE DE CALCULO MEDIANTE RUNGE-KUTTA *****
1150 '***** FIN DEL BLOQUE DE CALCULO MEDIANTE RUNGE-KUTTA *****
1160 '***** FIN DEL BLOQUE DE CALCULO MEDIANTE RUNGE-KUTTA *****
1170 '
1180 '***** FIN DEL BLOQUE DE CALCULO MEDIANTE RUNGE-KUTTA *****
1190 '***** RUTINA DE GRAFICACION *****
1200 '***** FIN DEL BLOQUE DE CALCULO MEDIANTE RUNGE-KUTTA *****
1210 DIM XX(13)
1220 IIS="";ISTAN="";IMARKS="";
1230 IF ITYPE <> 1 THEN 1270
1240 XMIN=-1
1250 XMAX=1
1260 GOTO 1360
1270 XMIN=H(1)
1280 XMAX=XMIN
1290 FOR II=1 TO NI
1300 IF H(II) < XMIN THEN XMIN=H(II)
1310 IF H(II) > XMAX THEN XMAX=H(II)
1320 NEXT II
1330 IF ITYPE <> 3 THEN 1360
1340 XMIN=-LOG(XMIN)/LOG(.1)
1350 XMAX=-LOG(XMAX)/LOG(.1)
1360 DM=XMAX-XMIN
1370 YXX=XMIN
1380 FOR II=1 TO J3
1390 XX(II)=XXX
1400 IF ITYPE=3 THEN XX(11)=10^XXX
1410 XXX=XXX/DM/12
1420 NEXT II
1430 PRINT
1440 PRINT " ";
1450 FOR II=2 TO 12
1460 IF II MOD 2=1 THEN 1490
1470 PRINT USING "###.###.###";XX(13)*(II-1)/12;
1480 NEXT II
1490 PRINT
1500 IF XC=1 THEN XC=0;RETURN
1510 PRINT " ";

```

```

1520 FOR II=1 TO 13
1530 IF II MOD 2=0 THEN 1550
1540 PRINT USING "#.###";XX(13)*(II-1)/12;
1550 NEXT I
1560 PRINT
1570 IF XC=1 THEN XC=0:RETURN
1580 PRINT " ";
1590 FOR KK=1 TO 12
1600 PRINT "#-----#";
1610 NEXT I
1620 PRINT "+"
1630 FOR II=1 TO N1
1640 FOR JJ=1 TO 61
1650 IF IJ$=""(JJ)=IBLANKS
1660 IJH$"(JJ)=II$
1670 NEXT J
1680 FOR JJ=1 TO 61
1690 IF JJ MOD 10 <> 1 THEN 1710
1700 IJH$"(JJ)=IJ$"
1710 NEXT J
1720 XXX=II$"(J1)
1730 IF ITYPE=3 THEN XXX=-LOG(XXX)/LOG(.1)
1740 IX=INT((XXX-XMIN)*84/UX)+1
1750 PRINT H(II),IAP(IX+11) "#"
1760 NEXT II
1770 PRINT " ";
1780 FOR KK=1 TO 12
1790 PRINT "#-----#";
1800 NEXT KK
1810 PRINT "+"
1820 XC=1:GOSUB 1910
1830 XC=1:GOSUB 1440
1840 RETURN
1850 '*****#
1860 '*****# DAT05
1870 '*****#*****#
1880 DATA 10,0,9.810001,6372000,1,22
1890 PRINT

```

A P E N D I C E - 2 -

Características de los depósitos, mecanismos de  
transporte y productos pirrolépticos.

Tabla 1. Algunas características de los principales tipos piroclásticos. (Tomada de Walker, 1981 )

- 
- 1.- Los depósitos de caída libre de piroclastos muestran:
    - a) Estratos en forma de mantos muy grandes.
    - b) Clasificación de bueno a moderada. Tamaño homogéneo.
    - c) Mediano decrecimiento exponencial en el espesor y tamaño de grano con la distancia al cráter.
    - d) Geometrías típicas de impacto.
  - 2.- Los depósitos de flujo piroclástico muestran:
    - a) Estancamiento en depresiones con un nivel cercano al tope de la superficie.
    - b) Variación irregular del espesor con la distancia al cráter.
    - c) Orden mínimo o baja estratificación interna.
    - d) Evidencia de ser calientes (es decir, soldadura de partículas, carbonización de plantas, coloración termal impregnada, dirección uniforme de la magnetización de los clastos contenidos).
  - 3.- Los depósitos de oleada piroclástica muestran:
    - a) Declive de la topografía.
    - b) Fluctuaciones rápidas e irregulares o periódicas en el espesor.
    - c) Decrecimiento general en el espesor y tamaño de grano con la distancia de la ventana.
    - d) Base comúnmente erosionada.
- Dos tipos de oleadas piroclásticas ocurren principalmente:
- A.- Oleadas basales frías o húmedas; los depósitos muestran:
- a) Buena estratificación interna o estratificación cruzada.
  - b) Grandes varisciones de tamaño de grano entre estratos continuos.
  - c) Evidencia de humedad.
  - d) Asociación con aberturas que contienen agua (lagos en cráteres).
- B.- Oleadas calientes o secas del tipo de nube ardiente; los depósitos muestran:
- a) Poca o nula estratificación interna.
  - b) Buen orden, deficiencia de partículas finas o ligeramente pesadas (pero éstas pueden ocurrir en un depósito de caída sobrepuerto).
  - c) Evidencias de ser calientes.

Tabla 2. Clasificación genética de flujos piroclásticos

Tabla 3. Descripciones resumidas de tipos de depósitos de flujo piroclástico.

depósito	descripción
ignimbrita pómez y ceniza	Depósitos de ceniza sin orden que contienen cantidades variables de pómez sálico "redondeado", lapilli y bloques de más de un m de diámetro. En unidades de flujo los fragmentos de pómez pueden ser graduados reversiblemente mientras los clastos líquidos pueden mostrar graduación normal, unidades de flujo no graduados son muy comunes. Una capa fina de grano basal se encuentra en el fondo de las unidades de flujo. Algunas veces contienen pipas de fumarolas fósiles y madera carbonizada. Los depósitos más pequeños usualmente forman valles cubiertos mientras los depósitos de volumen más grandes pueden formar grandes capas de ignimbrita. Algunas veces pueden mostrar una o más zonas de juntura.
escoria y ceniza	Depósitos de ceniza sin orden controlados topográficamente contenido de basalto a andesita vesicular lapilli y clastos de superficie escoriada cordada de más de 1 m de diámetro. Pueden en algunas circunstancias contener grandes clastos líquidos no vesiculares similares. Capas finas de grano basal son encontradas en el fondo de unidades de flujo. Pipas de fumarolas fósiles y madera carbonizada pueden también estar presentes. La presencia de diques, canales y frentes de flujo empinados que indican un alto esfuerzo producido mediante el transporte de flujos piroclásticos en movimiento.
andesita vesicular y ceniza	Depósitos de ceniza sin orden topográficamente controlados contenido lapilli, andesita vesicular media (entre pómez) y clastos juveniles no vesiculares, bloques y bombas. Capas bajas de grano fino, pipas de fumarolas fósiles y madera carbonizada pueden estar presentes.
bloques y ceniza	Depósitos de ceniza sin orden topográficamente controlados contenido un gran ensamblaje generalmente no vesicular, bloques líticos afines, los cuales pueden exceder los 5 m de diámetro. De nuevo pueden contener pipas de fumarolas fósiles y madera carbonizada. La superficie manifiesta la presencia de frentes de flujo empinados y la presencia de bloques de superficie grandes; todos los cuales de nuevo indican un gran esfuerzo realizado durante el transporte del flujo.

Tabla 4. Resumen de los componentes en depósitos piroclásticos.

A. Flujos piroclásticos y surgencias.

Tipo de flujo u oleada	Componentes esenciales	Otros componentes
	Vesicular no vesicular	
Flujo de poméz/oleada	Poméz Cristales	Líticos secundarios y accidentales
Flujo de escoria/oleada		Afines secundarios y accidentales.
Flujos de desechos de lava/oleada	Clastos líticos afines y cristales de poméz.	Líticos accidentales
Nubes Ardientes.	brecha amontonante.	

B. Caida piroclástica

Tamaño tipo de grano predomina-	Componentes esenciales	Otros componentes.
minante.	Vesicular no vesicular	*
> 64mm aglomerada poméz/escoria		líticos afines y secundarios.
brecha	líticos afines y secundarios.	
> 2mm depósito poméz/ de lapilli escoria	líticos afines y secundarios.	cristales
< 2mm depósito de ceniza	líticos afines y secundarios.	

\* dependiendo del tipo de depósito

## A P E N D I C E 3 .

---

Esta sección se ha anexado para explicar el uso general del sistema que consiste de 4 programas diferentes contenidos en un disco flexible.

### USO GENERAL DEL SISTEMA .

---

Una vez que se coloca el disco con el sistema general se debe de escribir estando en A> la siguiente palabra:

SISTEMA

seguido de la tecla ENTER .

Entonces aparece el menú principal:

#### MENU PRINCIPAL

- 1 CONDUCTO VOLCANICO
- 2 COLAPSO DE UNA COLUMNA ERUPTIVA
- 3 ERUPCIONES VOLCANICAS
- 4 BALISTICA EXTERNA DE EXPLOSIONES VOLCANICAS
- 5 FIN DE SESION

Cada opción se explica en su capítulo correspondiente.  
Para terminar solo hay que oprimir la opción 5.

A P E N D I C E 4 .

Solución a la ecuación:

$$n' = \sqrt{P_f} + \frac{(x/(1-x)) P_f / RT}{\sigma_r + (x/(1-x)) P_f / RT} \quad \dots \quad (15)$$

Para resolver esta ecuación se debe de tomar en cuenta la ecuación (13)

$$n = n' - n_d \quad \dots \quad (13)$$

$$n' = n_d + n \quad \dots \quad (13a)$$

Comparando las ecuaciones (13) y (15) es fácil ver que ,

$$n = \frac{(x/(1-x)) P_f / RT}{\sigma_r + (x/(1-x)) P_f / RT}$$

resolviendo para Pf

$$P_f = \frac{(1-x)n\sigma_r RT}{x(1-n)}$$

Asignando valores para n, encontramos los valores de Pf. La tabla siguiente muestra los valores obtenidos para Pf para un amplio rango de valores de n.

n	Pf (bars)
0.01	40.612
0.02	82.053
0.03	124.348
0.04	167.525
0.05	211.611
0.06	256.639
0.07	302.626
0.08	349.618
0.09	397.692
0.10	446.734
0.11	496.928
0.12	548.264

La fig. (3) muestra la variación de la presión del gas al nivel de fragmentación con el peso por ciento de gas total exsuelto para agua.

Usando ahora los valores para Pf encontrados se calculan los valores de n' con la ecuación (15), obteniendo una tabla completa para n, n' y Pf.

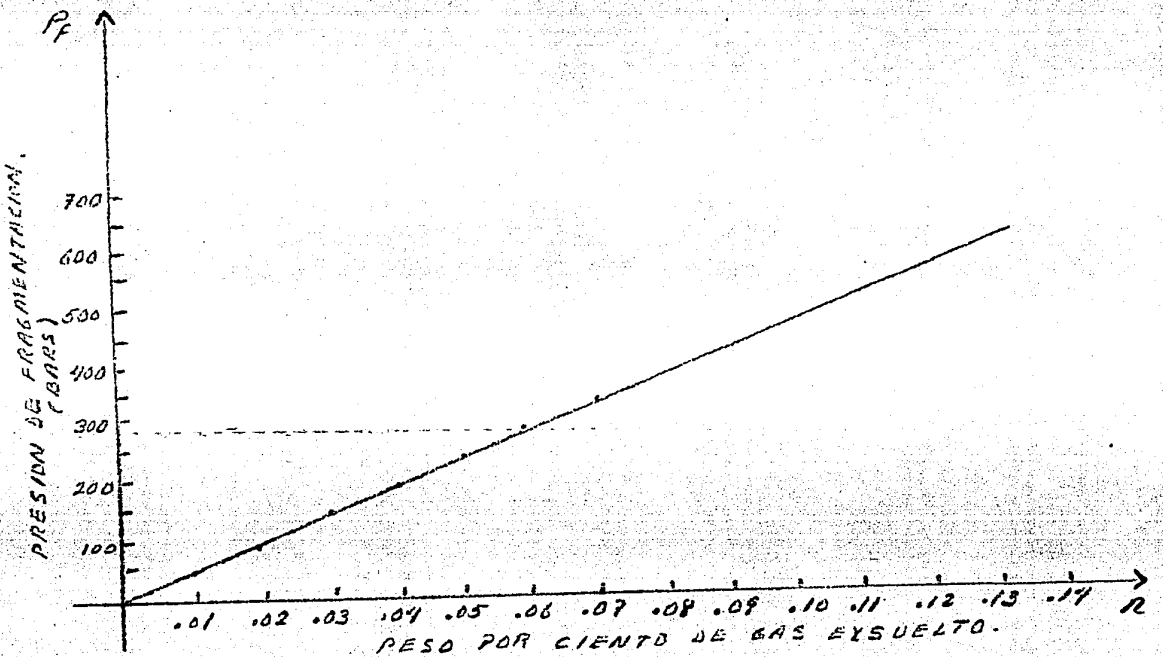


Fig. 3

$n$	$P_f$	$n'$
0.01	40.612	0.018
0.02	82.053	0.032
0.03	124.348	0.044
0.04	167.525	0.057
0.05	211.611	0.069
0.06	256.634	0.081
0.07	302.626	0.093
0.08	349.618	0.104
0.09	397.642	0.116
0.10	446.734	0.128
0.11	496.928	0.139
0.12	548.264	0.150